

รายงานการวิจัย

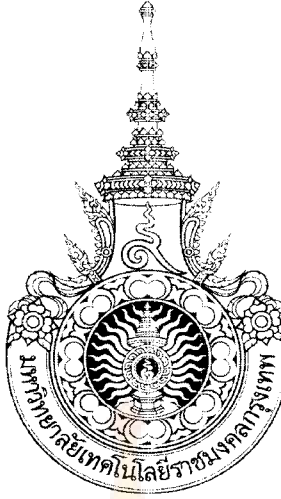
การประยุกต์ใช้ nano ไฟเบอร์ในระบบบำบัดน้ำเสียแบบเมมเบรนจนดัว
เพื่อการนำกลับมาใช้ใหม่ของน้ำทิ้งชุมชน

**Application of Nanofibers in Submerged Membrane Wastewater
Treatment for Recycling of Domestic Wastewater**

ผู้วิจัย

นางสาวมนีรัตน์ ติรนันทกุล

โครงการวิจัยทุนสนับสนุนงานวิจัยมหาวิทยาลัยเทคโนโลยีราชมงคลกรุงเทพ
งบประมาณแผ่นดิน ปี พ.ศ. 2555
มหาวิทยาลัยเทคโนโลยีราชมงคลกรุงเทพ



รายงานการวิจัย

การประยุกต์ใช้ nano ไฟเบอร์ในระบบบำบัดน้ำเสียแบบเมมเบรนจมตัว
เพื่อการนำกลับมาใช้ใหม่ของน้ำทิ้งชุมชน

**Application of Nanofibers in Submerged Membrane Wastewater
Treatment for Recycling of Domestic Wastewater**

ผู้วิจัย

นางสาวมณีรัตน์ ติรนันทกุล

โครงการวิจัยทุนสนับสนุนงานวิจัยมหาวิทยาลัยเทคโนโลยีราชมงคลกรุงเทพ
งบประมาณแผ่นดิน ปี พ.ศ. 2555
มหาวิทยาลัยเทคโนโลยีราชมงคลกรุงเทพ

บทคัดย่อ

ศึกษาความเป็นไปได้และปัจจัยที่มีผลต่อการประยุกต์ใช้ nano ไฟเบอร์เพื่อลดการอุดตันของเมมเบรนในถังปฏิกรณ์ชีวภาพสำหรับการบำบัดน้ำเสียเพื่อการนำกลับมาใช้ใหม่ของน้ำทิ้งชุมชน ทางผลการทดลองพบว่า ระยะเวลาการดำเนินงานเพิ่มขึ้นจะทำให้สารโพลีเมอร์ชีวภาพละลายน้ำ และสารโพลีเมอร์ชีวภาพตรึงเซลล์ประเภทโปรตีนและประเภทคาร์โบไฮเดรตเพิ่มขึ้นมากกว่าเท่าตัว และพบว่าการเพิ่มขึ้นของความเข้มข้นจุลินทรีย์จะส่งผลให้ความต้านทานภายนอกของเมมเบรนอย่างระบบมีค่าเพิ่มขึ้น อีกทั้งการเปลี่ยนแปลงของความเข้มข้นของปริมาณสารแขวนลอยที่เพิ่มขึ้นจะส่งผลอย่างมากต่อการอุดตันของเมมเบรนและส่งผลให้ความต้านทานภายนอกของรูกรองเมมเบรนเพิ่มขึ้นแบบเอกซ์โปเนนเชียล การเพิ่มขึ้นของปริมาณโพลีเมอร์ชีวภาพละลายน้ำในระบบที่มีแล็คไม่มีการเติม nano ไฟเบอร์ในระบบจะมีค่าไกล์เดย์กันแท้ในระบบที่มีการเติม nano ไฟเบอร์จะมีการอุดตันของเมมเบรนต่ำกว่าระบบควบคุมที่ไม่มีการเติม nano ไฟเบอร์อยู่โดยเฉลี่ย 9% ในทำนองเดียวกัน การเพิ่มขึ้นของปริมาณโพลีเมอร์ชีวภาพตรึงเซลล์ในระบบที่มีแล็คไม่มีการเติม nano ไฟเบอร์ในระบบจะมีค่าไกล์เดย์กันและในระบบที่มีการเติม nano ไฟเบอร์จะมีค่าการอุดตันของเมมเบรนต่ำกว่าระบบควบคุมที่ไม่มีการเติม nano ไฟเบอร์อยู่โดยเฉลี่ย 16% การเพิ่มปริมาณการเติม nano ไฟเบอร์ระหว่าง 0 - 10 กรัม/กรัมของตะกอนจุลินทรีย์ จะส่งผลให้เกิดการยึดเกาะของปริมาณสารโพลีเมอร์ชีวภาพบนผิวน้ำเมมเบรนลดลงเป็นอย่างมากกว่า 50% การเพิ่มขึ้นของค่าศักย์ไฟฟ้าในระบบจะทำให้เกิดการเพิ่มขึ้นของปริมาณสารโพลีเมอร์ชีวภาพบนผิวน้ำเมมเบรน โดยการค่าศักย์ไฟฟ้าในระบบระหว่าง 712 – 1,136 ไมโครซิเมนต์ จะส่งผลให้เกิดการยึดเกาะของปริมาณสารโพลีเมอร์ชีวภาพบนผิวน้ำเมมเบรนเพิ่มขึ้นกว่า 45% การกรองที่สภาวะไม่มีการเติม nano ไฟเบอร์ในระบบจะมีค่าความต้านทานการกรองโดยรวมสูงมากกว่าระบบควบคุม 44% เนื่องจากการลดลงของการอุดตันภายนอกเป็นสาเหตุหลัก การวิเคราะห์คุณลักษณะการอุดตันของเมมเบรนทางภายนอกโดยภาพถ่าย SEM พบว่าในระบบที่มีการเติม nano ไฟเบอร์มีรูกรองบางส่วนมีลักษณะอุดตันอยู่น้อยกว่ารูกรองเมมเบรนที่สภาวะไม่มีการเติม nano ไฟเบอร์ การศึกษาคุณลักษณะการบำบัดน้ำเสียในระบบถังปฏิกรณ์ชีวภาพเมมเบรน พบว่าน้ำขาออกที่ผ่านการบำบัดจะมีพื้นอุปสรรคระหว่าง 7.08 – 6.73, อุณหภูมิอยู่ระหว่าง 25.1 – 29.5 องศาเซลเซียส, ปริมาณของออกซิเจนละลายน้ำ 2.72 – 3.52 มิลลิกรัมต่อลิตร, ความเข้มข้นจุลินทรีย์เป็นศูนย์, ความเข้มข้นแอมโมเนียม-ไนโตรเจนมีค่าต่ำกว่า 1 มิลลิกรัมต่อลิตร, ประสิทธิภาพการกำจัดฟอสฟेट – ฟอสฟอรัสของระบบมีค่าเฉลี่ยประมาณ 14% ประสิทธิภาพการกำจัดซีโอดีของระบบมีค่าเฉลี่ยประมาณ 81% จากผลการบำบัดที่ได้พบวามีค่าวางเป็นไปได้ในการนำกลับมาใช้ใหม่ของน้ำทิ้งชุมชนที่ผ่านการบำบัดด้วยระบบถังปฏิกรณ์ชีวภาพเมมเบรนแบบเติม nano ไฟเบอร์

ABSTRACT

This research project was to study feasibility of using nanofiber to reduce membrane fouling in membrane bioreactor (MBR) for wastewater treatment. The results showed that when the operation time increased, the extra-cellular polymeric substances (EPS) in both soluble and bound forms were increased. Gaining of MLSS affected on higher membrane fouling resistance. Also, there was an exponential relationship between colloidal concentration and fouling resistance. With nanofiber addition, a reduction 9 % and 16% of membrane fouling due to soluble EPS and bound EPS were observed. Moreover, nanofiber addition in the range of 0-1 g/g MLSS would help to decrease membrane fouling upto 50%. Increase of conductivity from 712 μS to 1,136 μS affected on 45% fouling resistance increasing. Application of nanofiber would help to reduce cake fouling in the system upto 44%. The SEM examination showed that far less cake fouling on membrane surface in the added chitosan MBR. Characteristics of domestic wastewater treatment from this MBR system were as well examined. The treated permeate illustrated pH 7.08 – 6.73, temperature 26.7 – 28.3 0C, dissolved oxygen 2.72 – 3.52 mg/L, zero biomass concentration and ammonia-nitrogen concentration below 1 mg/L. Efficiency of phosphate-phosphorous removal was around 14% and COD removal was 81% by average. From the treated quality of permeate, the domestic wastewater could be possible reclaimed and reused by this MBR technology.



กิตติกรรมประกาศ

ขอขอบคุณมหาวิทยาลัยเทคโนโลยีราชมงคลกรุงเทพ ที่ได้สนับสนุนทุนวิจัยเงินงบประมาณ
แผ่นดิน ประจำปี 2555 มหาวิทยาลัยเทคโนโลยีราชมงคลกรุงเทพ ขอขอบคุณสาขาวิชาศึกษา^{เคมี} คณะวิศวกรรมศาสตร์ มหาวิทยาลัยเทคโนโลยีราชมงคลกรุงเทพ ที่เอื้อเพื่อสถานที่ทำการ
ทดลอง และท้ายสุดขอขอบคุณ สถาบันวิจัยและพัฒนา (สวพ.) มหาวิทยาลัยเทคโนโลยีราชมงคล
กรุงเทพ ที่อำนวยความสะดวกในการทำงานเล่มงานวิจัย



สารบัญ

หน้า

บทคัดย่อ

ABSTRACT

กิตติกรรมประกาศ

สารบัญ

บทที่ 1 บทนำ

- | | | |
|-----|--------------------------------|---|
| 1.1 | ความเป็นมาและความสำคัญของปัญหา | 1 |
| 1.2 | วัตถุประสงค์ของงานวิจัย | 2 |
| 1.3 | ขอบเขตของงานวิจัย | 2 |
| 1.4 | ประโยชน์ที่คาดว่าจะได้รับ | 3 |

บทที่ 2 วารสารปริทัศน์

- | | | |
|-----|------------------|----|
| 2.1 | การตรวจสอบเอกสาร | 5 |
| 2.2 | น้ำเสีย | 8 |
| 2.3 | การบำบัดน้ำเสีย | 13 |
| 2.4 | เทคโนโลยีเมมเบรน | 19 |
| 2.5 | นาโนไฟเบอร์ | 27 |

บทที่ 3 วิธีดำเนินการวิจัย

- | | | |
|-----|---|----|
| 3.1 | วิธีการดำเนินการวิจัย | 39 |
| 3.2 | วัสดุและอุปกรณ์ที่ใช้ในการทดลอง | 42 |
| 3.3 | ขั้นตอนและวิธีการวิเคราะห์ค่าต่างๆ ในการทดลอง | 43 |

บทที่ 4 ผลการทดลอง

- | | | |
|-------|--|----|
| 4.1 | ผลการหาค่าความด้านทานของเมมเบรนในน้ำทะเล | 52 |
| 4.2 | ผลการจับตัวของนาโนไฟเบอร์กับสารโพลีเมอร์ชีวภาพ | 53 |
| 4.3 | ผลการศึกษาตัวแปรที่มีอิทธิพลต่อกระบวนการอุดตันของเมมเบรน | 56 |
| 4.3.1 | ผลของความเข้มข้นตะกอนจุลินทรีย์ | 56 |
| 4.3.2 | ผลของความเข้มข้นของสารแขวนลอย | 57 |
| 4.3.3 | ชนิดและปริมาณของสารโพลีเมอร์ชีวภาพ | 58 |
| 4.4 | ผลการศึกษาประสิทธิภาพและปัจจัยที่มีต่อการเติมนาโนไฟเบอร์ | 59 |
| 4.5 | คุณลักษณะการอุดตันของเมมเบรนที่ใช้ในระบบถังปฏิกรรณ์ชีวภาพ | 61 |
| 4.5.1 | การวิเคราะห์คุณลักษณะการอุดตันของเมมเบรนโดยการพิจารณาความด้านทานเชิงกลศาสตร์ | 61 |
| 4.5.2 | การวิเคราะห์คุณลักษณะการอุดตันของเมมเบรนทางกายภาพโดยภาพถ่าย SEM | 63 |

สารบัญ

หน้า

4.6	คุณลักษณะการบำบัดน้ำเสียในระบบถังบภีกรณ์ชีวภาพเมมเบรน	64
4.6.1	พีเอช	64
4.6.2	อุณหภูมิ	65
4.6.3	ปริมาณของออกซิเจนละลายน้ำ	66
4.6.4	ค่าการนำไฟฟ้า	67
4.6.5	ค่าศักย์รีดกซั่น-ออกซิเดชั่น	68
4.6.6	ปริมาณความเข้มข้นเอมโมเนีย - ในโตรเจน	69
4.6.7	ปริมาณความเข้มข้นไนโตรที - ในโตรเจน	70
4.6.8	ปริมาณความเข้มข้นฟอสฟे�ต - ฟอสฟอรัส	71
4.6.9	ปริมาณความต้องการออกซิเจนทางเคมี	72
บทที่ 5	สรุปผล	74
บรรณานุกรม		76
ภาคผนวก		80



บทที่ 1

บทนำ

1.1 ความเป็นมาและความสำคัญของปัจจุห

การใช้ทรัพยากรน้ำในด้านต่างๆ นั้นจะมีการปล่อยน้ำเสียลงสู่แหล่งน้ำ จะส่งผลทำให้แหล่งน้ำเกิดการเน่าเสีย เป็นพิษ มีสิ่งเจือปนสูง และเป็นมลภาวะทางน้ำ จึงต้องนำน้ำเสียเหล่าน้ำมามาผ่านกระบวนการบำบัดน้ำเสียเพื่อลดปริมาณของเสีย สารแขวนลอย และความเป็นพิษของน้ำให้ลดลง ก่อนปล่อยลงสู่แหล่งธรรมชาติ ในกระบวนการบำบัดน้ำเสียในปัจจุบันมีระบบการบำบัดที่มากมายใน การบำบัดน้ำทั้งจากแหล่งอุตสาหกรรมและบ้านเรือน ระบบที่มีความนิยมสำหรับการบำบัดน้ำเสียจะเป็น ระบบบำบัดน้ำเสียแบบแยกตัวเต็ดสลัด (Jacketed sludge) ระบบแยกตัวเต็ดสลัดนี้จะมีประสิทธิภาพในการบำบัดสูง แต่การใช้ระบบบำบัดแบบแยกตัวเต็ดสลัดนี้จะมีข้อเสียคือ คุณภาพน้ำที่ได้รับมีสารแขวนลอย ปนเปื้อนอยู่ในน้ำมาก และระบบนี้ต้องใช้พื้นที่ในการบำบัดมาก

ในปัจจุบันเทคโนโลยีเมมเบรนเป็นเทคโนโลยีที่มีความทันสมัย เนื่องจากคุณสมบัติของ เมมเบรนจะมีเยื่อรองขนาดเล็ก มีความละเอียดในการกรอง สามารถกรองสารแขวนลอยที่มีขนาดเล็กได้ และกำจัดเชื้อโรคได้อย่างมีประสิทธิภาพ ในระบบบำบัดน้ำเสียได้มีการนำถังปฏิกิริยาระบบ เมมเบรน (Membrane bioreactor: MBR) เข้ามาประยุกต์ใช้กับระบบบำบัดน้ำเสียแบบแยกตัวเต็ดสลัด (Jacketed sludge) ใน การบำบัดน้ำเสียโดยระบบถังปฏิกิริยาระบบเมมเบรน จะเกิดสารโพลิเมอร์ชีวภาพ (Extracellular polymeric substances: EPS) สารโพลิเมอร์ชีวภาพในระบบบำบัดน้ำเสียจะมีลักษณะในรูปของสารละลายและสารแขวนลอย สารโพลิเมอร์ชีวภาพจะเพิ่มปริมาณมากขึ้นในระบบแยกตัวเต็ดสลัดนี้ เมื่อความเข้มข้นของตะกอนในน้ำเสียกับอายุสลัดนี้เพิ่มขึ้น (Anja, Chung and Matthias, 2006) สารโพลิเมอร์ชีวภาพเกิดสร้างจากการสังเคราะห์ของแบคทีเรียที่อาศัยอยู่รวมกัน โดยมีโครงสร้างที่ยึดเกาะจับตัวกันสารโพลิเมอร์ชีวภาพที่แบคทีเรียสังเคราะห์ขึ้นจะมีหน้าที่ปกป่องขึ้นผิวแบคทีเรีย และสร้างสภาวะที่เหมาะสมในการเจริญเติบโตของแบคทีเรีย (สมบูรณ์. ม.ป.ป.) ลักษณะของสารโพลิเมอร์ชีวภาพที่แบคทีเรียสังเคราะห์ขึ้นจะมีส่วนรูปแบบ คือ รูบแบบแคปซูล (Capsule) มีลักษณะเป็นแคปซูลห่อหุ้มบริเวณตัวเซลล์ และรูปแบบเยื่อเมือก (Slime) มีลักษณะคล้ายของเหลวละลายตัวในน้ำ (ศิริพร และคณะ, 2549) ซึ่งจะเกาะตระวงบริเวณผิวเมมเบรน ทำให้เกิดการอุดตัน สารโพลิเมอร์ชีวภาพจะอุดตันบนผิวของเมมเบรนทำให้ประสิทธิภาพในการกรองของเมมเบรนลดลง

การอุดตันของเมมเบรน (Fouling) อันเนื่องมาจากอนุภาคจุลทรีย์สร้างโพลิเมอร์สะสมตัวอยู่บนผิวหน้าของเมมเบรนและปิดกั้นรูพรุน ทำให้ความสามารถในการกรองผ่านลดลง ซึ่งส่งผลต่อค่าใช้จ่ายในการดำเนินการของระบบ ค่าการล้างย้อนเมมเบรน และประสิทธิภาพของระบบ

งานวิจัยครั้งนี้จึงสนใจศึกษาความเป็นไปได้ ในการประยุกต์ใช้นาโนไฟเบอร์เพื่อบังกันก่อตัวของโพลีเมอร์ชีวภาพที่เกิดจากจุลินทรีย์บนผิวน้ำแม่เมรน ซึ่งคาดว่าจะส่งผลให้การอุดตันของแม่น้ำเมรนเกิดช้าลง รวมถึงศึกษาคุณภาพและความเป็นไปได้ในการนำกลับมาใช้ใหม่ของน้ำทึบชุมชน เพื่อเป็นอีกแนวทางหนึ่งที่จะช่วยลดปัญหามลภาวะ รักษาคุณภาพสิ่งแวดล้อม และเป็นข้อมูลบรรประกอบการตัดสินใจในการเลือกแนวทางใหม่ของระบบบำบัดให้เหมาะสมกับน้ำทึบชุมชนในอนาคต

1.2 วัตถุประสงค์ของโครงการ

งานวิจัยนี้มีจุดประสงค์เพื่อศึกษาความเป็นไปได้และปัจจัยที่มีผลต่อการประยุกต์ใช้นาโนไฟเบอร์เพื่อลดการอุดตันของแม่น้ำเมรนในลังปฏิกรณ์ชีวภาพสำหรับการบำบัดน้ำเสียจากการนำกลับมาใช้ใหม่ของน้ำทึบชุมชน

1.3 ขอบเขตของโครงการ

1.3.1 ศึกษาคุณลักษณะเฉพาะของนาโนไฟเบอร์กับการจับตัวและพฤติกรรมการสร้างสารโพลีเมอร์ชีวภาพที่จุลินทรีย์ในระบบผลิตได้ (Extracellular polymeric substances: EPS) ได้แก่ Bound EPS และ Soluble EPS เป็นต้น

1.3.2 เพื่อศึกษาตัวแปรที่มีอิทธิพลต่อกระบวนการอุดตันของแม่น้ำเมรนในระบบบำบัดน้ำเสีย ได้แก่ ความเข้มข้นของสารแขวนลอย (Colloidal concentration) ความเข้มข้นของตะกรاثน้ำจุลินทรีย์ (Mixed liquor suspended solid: MLSS) ปริมาณและชนิดของสารโพลีเมอร์ชีวภาพ

1.3.3 ศึกษาประสิทธิภาพและปัจจัยทางสิ่งแวดล้อมที่มีผลกระทบต่อการจับตัวกันของโพลีเมอร์ชีวภาพบนผิวน้ำแม่เมรนเมื่อมีการประยุกต์ใช้นาโนไฟเบอร์ในระบบ ได้แก่ ปริมาณการรีเมนนาโนไฟเบอร์ ค่า pH และค่าศักยไฟฟ้า เป็นต้น

1.3.4 ศึกษาเปรียบเทียบลักษณะการอุดตันของแม่น้ำเมรน เมื่อมีและการเติมน้ำเสียเบอร์ด้วยเทคนิคทางเคมีและทางกายภาพ ได้แก่ Scanning Electronmicroscope (SEM) การเปลี่ยนแปลงของความดันตกคล่อม (Pressure drop) และการเปลี่ยนแปลงของความต้านทานการกรอง (Filtration resistance) เป็นต้น

1.3.5 ศึกษาคุณภาพของน้ำทึบที่ผ่านกระบวนการกรอง การบำบัดแบบบล็อกปฏิกรณ์ชีวภาพเมื่อนำเมื่อมีและไม่มีการรีเมนนาโนไฟเบอร์ โดยการวิเคราะห์เบรียบเทียบคุณภาพของน้ำเสียที่เข้าและออกจากระบบบำบัด ได้แก่ ค่า COD ค่าปริมาณธาตุอาหาร เช่น เออมโมเนียม ไนโตรเจน พอสฟอรัส เป็นต้น

1.4 ประโยชน์ที่คาดว่าจะได้รับจากการวิจัยนี้

1.4.1 ทราบถึงคุณลักษณะเฉพาะของนานาโนไฟเบอร์กับการจับตัวและพฤติกรรมการสร้างสารโพลีเมอร์ชีวภาพที่จุลินทรีย์ในระบบผลิตได้ (Extracellular polymeric substances: EPS) ได้แก่ Bound EPS และ Soluble EPS เป็นต้น

1.4.2 ทราบตัวแปรที่มีอิทธิพลต่อระบบน้ำดั้นของเมมเบรนในระบบบำบัดน้ำเสีย ได้แก่ ความเข้มข้นของสารแขวนลอย (Colloidal concentration) ความเข้มข้นของตะกอนจุลินทรีย์ (Mixed liquor suspended solid: MLSS) ปริมาณและชนิดของสารโพลีเมอร์ชีวภาพ

1.4.3 ทราบถึงปัจจัยทางสิ่งแวดล้อมที่มีผลกระทบต่อการจับตัวกันของโพลีเมอร์ชีวภาพบนผิวนานาเมมเบรนเมื่อมีการประยุกต์ใช้ nano ไฟเบอร์ในระบบ ได้แก่ ปริมาณการเติมนานาโนไฟเบอร์ ค่า pH และค่าศักย์ไฟฟ้า เป็นต้น

1.4.4 ทราบลักษณะการอุดตันของเมมเบรน เมื่อมีและไม่มีการเติมนานาโนไฟเบอร์ด้วยเทคโนโลยีทางเคมีและทางกายภาพ ได้แก่ Scaning Electronmicroscope (SEM) การเปลี่ยนแปลงของความดันตกคลื่น (Pressure drop) และการเปลี่ยนแปลงของความต้านทานกรอง (Filtration resistance) เป็นต้น

1.4.5 ทราบถึงคุณภาพของน้ำทึ้งที่ผ่านกระบวนการรับประทานแบบถังปฏิกรณ์ชีวภาพเมมเบรน เมื่อมีและไม่มีการเติมนานาโนไฟเบอร์ โดยการวิเคราะห์เปรียบเทียบคุณภาพของน้ำเสียที่เข้าและออกจากระบบ ได้แก่ ค่า COD ค่าปริมาณธาตุอาหาร เช่น แอมโมเนียม ในต่อเจน พอสฟอรัส เป็นต้น

1.4.6 เพื่อเป็นต้นแบบและเป็นข้อมูลประกอบการตัดสินใจในการเลือกแนวทางใหม่ของระบบบำบัดให้เหมาะสมกับน้ำทึ้งชุมชน

1.4.7 ลดปัญหามลภาวะ และรักษาคุณภาพสิ่งแวดล้อม โดยการเพิ่มโอกาสและความเป็นไปได้ในการนำกลับมาใช้ใหม่ของน้ำทึ้งชุมชน

1.4.8 สามารถนำความรู้ไปเผยแพร่/ถ่ายทอดให้แก่ชุมชนและผู้สนใจ

1.5 ประมวลคัพท์และคำย่อ

MBR = Membrane bioreactor คือ ระบบบำบัดน้ำเสียแบบถังปฏิกรณ์ชีวภาพเมมเบรนเป็นการทำงานร่วมกันของถังปฏิกรณ์ชีวภาพกับเมมเบรน

MLSS = Mixed liquor suspended solids คือ ปริมาณหรือความเข้มข้นโดยประมาณของจุลินทรีย์ในถังปฏิกรณ์ มีหน่วยเป็น มิลลิกรัมต่อลิตร

DO = Dissolved Oxygen คือปริมาณออกซิเจนที่ละลายในน้ำ มีหน่วยเป็นมิลลิกรัมต่อลิตร

COD = Chemical oxygen demand คือ ปริมาณออกซิเจนที่จุลินทรีย์ใช้ในการย่อยสลายสารอินทรีย์ชนิดที่ย่อยสลายได้ด้วยวิธีทางเคมี มีหน่วยเป็นมิลลิกรัมต่อลิตร

BOD₅ = Biochemical oxygen demand คือ ปริมาณออกซิเจนที่จุลินทรีย์ใช้ในการย่อยสลายสารอินทรีย์ ชนิดที่ย่อยสลายได้ด้วยวิธีทางชีวภาพ มีหน่วยเป็นมิลลิกรัมต่อลิตร

- NH₄⁺-N = Ammonia-nitrogen คือปริมาณแอมโมเนีย-ไนโตรเจน มีหน่วยเป็นมิลลิกรัมต่อลิตร
- NO₂-N = Nitrite คือ บริมาณไนโตรที่ มีหน่วยเป็น มิลลิกรัมต่อลิตร
- P = Phosphorus คือ ปริมาณฟอสฟอรัส มีหน่วยเป็น มิลลิกรัมต่อลิตร
- EPS = Extracellular polymeric substance คือ สารประกอบที่จุลินทรีย์ปล่อยออกมานอกเซลล์และเกิดจากของแข็งแขวนลอย



บทที่ 2

สารสารปริทัศน์

บทนี้กล่าวถึงทฤษฎีและบทความเกี่ยวข้องกับการบำบัดน้ำเสียชุมชนและการประยุกต์ใช้เทคโนโลยีเมมเบรนที่เกี่ยวข้องการบำบัดน้ำเสียชุมชนด้วยเมมเบรน

2.1 การตรวจสอบเอกสาร

Dhermendra K และคณะ (2008) ได้ศึกษาการนำเทคโนโลยีมาใช้ในการทำน้ำให้สะอาด เนื่องจากมีประสิทธิภาพในการกำจัดสารพิษ และเชื้อโรค ในปัจจุบันพบว่าได้มีการใช้ อนุภาค นาโนเมมเบรน และนาโนชนิดผง มาใช้ในการบำบัดโดยมีการควบคุมด้วยกระบวนการทางเคมีและชีววิทยา สารโลหะที่พบ ได้แก่ แคนเดเมียม ทองแดง ตะกั่ว ปรอท นิเกลและสังกะสี สารอาหารที่มีอยู่ได้แก่ พอสเพส แอมโมเนียม ในtered และในtered ไซยาไนด์ สารอินทรีย์ และแบคทีเรียที่เป็นพิษ ได้แก่ ไวรัส แบคทีเรีย ปรสิต เทคนิคขั้นพื้นฐานของวัสดุในระดับนาโนมี 4 ระดับ สำหรับวัสดุที่ในการทำน้ำให้บริสุทธิ์ ได้แก่ อนุภาคนาโนที่เป็นโลหะ คาร์บอน วัสดุนาโน และซีโอลิท โดยการบอนนาโนทิวป์และนาโนไฟเบอร์ได้แสดงผลลัพธ์ในด้านบวก วัสดุนาโนได้แสดงผลที่ดีมาก สำหรับเทคนิคที่ใช้ในการบำบัดน้ำเสีย เนื่องจากมีอัตราส่วนพื้นที่ผิวต่อบริมารถ สูง การนำเสนอในครั้งนี้สามารถนำไปใช้ในการทำน้ำให้สะอาด โดยการบำบัด colloiformที่แบคทีเรียสร้างขึ้น ด้วยวิธีชาร์ริงส์ และอัลตราโซนิก โดยใช้ระยะเวลาในการบำบัดที่น้อย การใช้อนุภาคนาโนที่ความเข้มข้นต่ำสามารถ จะช่วยป้องกันแบคทีเรีย ในอนาคตวินี้อาจเป็นทางเลือกเหมาะสมสำหรับการบำบัดน้ำเสีย

Guoqiang Liu และคณะ (2011) ได้ศึกษาการใช้อุปกรณ์ในระบบบำบัดน้ำเสียในอนาคตมีแนวโน้มเพิ่มขึ้น การศึกษาศักยภาพของอนุภาคนาโนในกระบวนการแยกตัวออกตัวเดียว สลัดด์ โดยการศึกษาลักษณะการไหลของน้ำ ความเป็นพิษของอนุภาคซิงค์นาโนในการกระตันระบบแยกตัวเดียวตัวเดียว สลัดด์ เพื่อทำการย่อยสลาย BOD และในไตรฟิล์เซ่น พฤติกรรมของความเป็นพิษของอนุภาค อนุภาคซิงค์นาโน และ ซิงค์ไอโอน (อนุภาคซิงค์นาโน ที่ละลายน้ำ) ที่ใช้ศึกษาลักษณะของอนุภาคซิงค์นาโน ทั้งสามชนิดจะมีผลกระบทต่อการดำเนินชีวิตของจุลินทรีย์ในแยกตัวเดียวตัวเดียว สลัดด์ อนุภาคซิงค์นาโน ที่ละลายน้ำจะเป็นพิษสูง ผลของอนุภาคซิงค์นาโน และ กลุ่มก้อนอนุภาคซิงค์นาโน ในระบบแยกตัวเดียว สลัดด์ อนุภาคซิงค์นาโนที่ละลายน้ำจะส่งผลให้เกิดการแตกตัวของอนุภาค โดยมีค่า IC_{50} ของซิงค์ที่ละลายน้ำในการดำเนินชีวิตของจุลินทรีย์ในระบบแยกตัวเดียวตัวเดียว สลัดด์ การย่อยสลาย BOD แอมโมเนียม และในไตร์ที่ 2.2, 1.3, 0.8, และ 7.3 mg-Zn/L ตามลำดับ เป็นขั้นตอนแรกของปฏิกิริยาในไตรฟิล์เซ่นในการตอบสนองของซิงค์

Anja และคณะ (2006) พบว่า EPS ที่ละลายน้ำเป็นสารแขวนลอย ที่ทำให้เมมเบรนเกิดการอุดตันในถังปฏิกรณ์ชีวภาพเมมเบรนโดยมีปัจจัยต่างๆ ของน้ำเสีย ได้แก่ อัตราการบ่อนลอกสิ่งสกปรก ของสิ่งสกปรก ความเข้มข้นของตะกอนจุลินทรีย์ในน้ำ ความเค็น ความเครียด และระยะเวลาเจริญเติบโตของ จุลินทรีพมีผลต่อความเข้มข้นของ EPS ในสภาพไม่คงที่ ระยะเวลาเจริญเติบโตของ EPS เพิ่มขึ้น โดยเปรียบเทียบกับรูดแบบของการอุดตัน ได้แก่ ความเข้มข้นของตะกอนจุลินทรีย์ ขนาดของการอุดตันของสิ่งสกปรก และความเข้มข้นของ EPS ที่ละลายน้ำ ผลและการวิเคราะห์ค่าต่างๆ ในการทดสอบจะมีผลที่ส้างกัน ในบทความนี้จะตรวจสอบจากแหล่งต่างๆ ในห้องปฏิบัติการที่เกี่ยวข้องกับการทำหน้าที่ของ EPS ในการ อุดตันของเมมเบรน

Babara และคณะ (2009) พบว่า EPS จากแบคทีเรียที่ผลิตสารโพลิเมอร์ชีวภาพของแบคทีเรียจะประกอบด้วยคาร์บอไฮเดรต โปรตีน กรดนิวคลีอิก ลิพิด และเอิมิเด EPS ที่สร้างขึ้นในเซลล์แบคทีเรียมีโครงสร้างเป็นก้อนของใบโพลิเมอร์ EPS มีหน้าที่เป็นตัวกลางในการยึดเกาะระหว่างเซลล์กับพื้นผิว เพื่อป้องกันอันตรายจากความเค็น ความเครียด และความแห้งของตัวเซลล์ จุดประสงค์เพื่อเป็นพื้นฐานในการค้นหาหน้าที่ของ EPS ในแบคทีเรียที่อยู่ในรูปของใบโพลิเมอร์ซึ่งมีผลต่อ กระบวนการทางชีววิทยา เทคโนโลยีชีวภาพ อุตสาหกรรม เภสัชกรรม วิศวกรรมอาหาร ศัลยศาสตร์โครงสร้างที่แปรผันของ EPS ที่ผลิตจากแบคทีเรีย จะมีผลหลายอย่างกับตัวอย่างที่ใช้ใน การประยุกต์ใบโพลิเมอร์ และจะทำการวัดค่าถึงขั้นตอนสุดท้ายของเทคนิคแบบใหม่ๆ ที่ศึกษาลักษณะจำเพาะของใบโพลิเมอร์ในโพลิแซคาริด

Tae-Hyun Bae and Tae-Moon Tak (2005) กล่าวว่าถังปฏิกรณ์ชีวภาพเมมเบรน (MBR) นิยมใช้มากในกระบวนการบำบัดน้ำเสีย ระบบถังปฏิกรณ์ชีวภาพเมมเบรนจะมีปัญหาในการอุดตัน เมมเบรน ระบบมีการศึกษาที่น้อยในการลดการอุดตัน การกรองแบบอัลตราไฟเบอร์ชั้น (TiO_2 เป็นติดเมมเบรน) เป็นการกรองและตีเส้นสิ่งสกปรกในการลดการอุดตัน ประสิทธิภาพเมมเบรนจะเปลี่ยนแปลงโดยการเพิ่ม TiO_2 อนุภาคนาโน TiO_2 แบบติดเมมเบรน จะแสดงการหลอมน้ำที่ดี ที่เปรียบเทียบกับความสามารถของเมมเบรน การเติมอนุภาคนาโนจะลดการอุดตัน แต่จะมีข้อ不便ในการเติม การเติมมากเกินจะไม่ส่งผลกระทบการลดการอุดตัน การอุดตันของเมมเบรนจะลดลง TiO_2 เมมเบรนที่มี TiO_2 จะลดการอุดตันเมื่อเทียบกับ TiO_2 ที่ติดกับเมมเบรน ขนาดที่ใหญ่กว่าอนุภาคนาโนจะอยู่บนพื้นผิวของเมมเบรน มีวิธีมากมายสำหรับการลดการอุดตันในถังปฏิกรณ์ชีวภาพเมมเบรน

Magara และ Itoh (1991) และ Manem และ Sanderson (1996) พบว่า การเพิ่มน้ำของความเข้มข้นของตะกอนชีวภาพ (MLSS) ส่งผลต่อแนวโน้มการอุดตันสูงขึ้นของเมมเบรน ในขณะที่ Defrance และ Jaffrin, 1999 และ Lee (2001) รายงานกลับกันถึงแนวโน้มการอุดตันที่น้อยลงของเมมเบรนเมื่อมีการเพิ่มขึ้นของความเข้มข้นของตะกอนชีวภาพ

Wisniewski และ Grasmick (1998) ได้แยกองค์ประกอบในกระบวนการบำบัดแบบถังปฏิกรณ์ชีวภาพเมมเบรนออกเป็นสามส่วนคือ ตะกอนชีวภาพ สารแขวนลอย และสารละลายน้ำ และพบว่า องค์ประกอบของเฟสของเหลวส่งผลต่อความด้านท่านการกรองของเมมเบรนในอัตราส่วน 76% ที่มาจากการแขวนลอยและสารละลายน้ำ 24% และ 52% ตามลำดับ โดยมีผลของตะกอนชีวภาพเพียง 24% สอดคล้องกับการรายงานของ Bouhabila และคณะ (2001) ในขณะที่ Defrance และคณะ (2000) และ Lee และคณะ (2001) กลับพบว่าเฟสสารละลายน้ำจะส่งผลต่อการอุดตันของเมมเบรน เพียง 35 และ 37% ตามลำดับและยังถือเป็นสัดส่วนที่น้อยกว่าผลของตะกอนชีวภาพมาก (63-65%)

Nagaoka และคณะ (1998); Chang และ Lee, (1998); Rosenberger และ Kraume, (2003); และ Hernandez Rojas และคณะ (2005) ร่วมกันรายงานว่า สารโพลีเมอร์ชีวภาพ (EPS) ซึ่งผลิตจากจุลินทรีย์ที่มีอยู่ในระบบจะมีผลเป็นอย่างมากต่อการเกิดและการควบคุมการอุดตันของเมมเบรน โดยสารโพลีเมอร์ชีวภาพนี้สามารถเปลี่ยนแปลงได้เป็นสองแบบ คือ สารโพลีเมอร์ชีวภาพที่มีอยู่ในตะกอนแขวนลอย และสารโพลีเมอร์ชีวภาพที่จุลินทรีย์ปล่อยออกมายังในรูปของสารละลายน้ำ

Lee และคณะ (2003) พบว่า สัดส่วนของโพลีเอติลีนต่อสารโพลีเมอร์ชีวภาพมีความสำคัญต่อการอุดตันของเมมเบรนมากกว่าความเข้มข้นรวมของโพลีเมอร์ชีวภาพ รวมถึงคันพะวง องค์ประกอบของสารโพลีเมอร์ชีวภาพนี้แม้ส่วนเกี่ยวข้องกับผลการอุดตันของเฟสของเหลวจะสูงมาก แต่ในขณะที่ Hernandez Rojas และคณะ (2005) รายงานว่า สารโพลีเมอร์ชีวภาพที่มีอยู่ในตะกอนแขวนลอยไม่มีผลต่อการเปลี่ยนแปลงความด้านท่านการกรอง และเฉพาะสารโพลีเมอร์ชีวภาพที่คล้ายอยู่ในเฟสสารละลายน้ำเท่านั้นที่สัมพันธ์โดยตรงกับการอุดตันของเมมเบรน

Li และคณะ (1984) ให้เหตุการณ์เป็นไปได้ในการใช้เมมเบรนในถังปฏิกรณ์ชีวภาพแบบเรียกากาศ (Membrane anaerobic reactor system) สำหรับบำบัดน้ำเสียจากทางนมหวาน (sweet whey) ในแบบจำลอง (pilot scale) มีค่าซีโอดี 5 60,000 และ 35,000 มิลลิกรัม/ล. ตามลำดับ ในการศึกษานี้ได้มีการแปรผันค่าภาระบรรทุกสารอินทรีย์ 8 – 16 kg.COD/m³.day และ SRT 25 – 50 วัน พบร่วมระบบสามารถกำจัดซีโอดีได้ 95% ที่ค่าภาระบรรทุกสารอินทรีย์ 16 kg.COD/m³.day ของแข็งแขวนลอยในกระแส流ล่อออกต่ำกว่า 10 มิลลิกรัม/ล. ในขณะที่น้ำเชื้อมีค่าของแข็งแขวนลอย 13,000 มิลลิกรัม/ล. ระบบสามารถดำเนินการได้ในช่วงมวลชีวภาพระหว่าง 0.06 – 0.12 kg.VSS/kg.COD removed ความเข้มข้นของของแข็งแขวนลอยจะหายใจในถังปฏิกรณ์มีค่าระหว่าง 22,000 – 26,000 มิลลิกรัม/ล. ผลิตกําซมีเทน 0.28 – 0.34 m³/kg.COD removed ที่ความดันและอุณหภูมิมาตรฐาน ขึ้นอยู่กับชนิดของน้ำเสีย

Sopajaree (1989) รายงานว่าที่ค่าอายุสัตดิจไม่จำกัด ค่าซีโอดีในน้ำข้าอกไม่ขึ้นกับความลึกในการจมตัวของเมมเบรน ภาระบรรทุกสารอินทรีย์ 0.15 – 0.35 kg.COD/m³.day มี

ประสิทธิภาพการกำจัดชีโอดี 90 – 98% ปฏิกิริยาในตริฟิคเข็นเกิดได้กว่า 90% แต่จะต้องเป็น 78% ที่เวลาถูกเก็บตัว และเมมเบรนอยู่สูงจากกันถังจนเกิดการตกตะกอน ซึ่งค่าสลัดจัดจุลชีพในเขตเติมอากาศมีค่าน้อย ความดันส่งผ่านจะมีค่าต่ำสุดที่ค่าฟลักซ์เท่ากัน การเพิ่มอัตราไหลของอากาศจะลดการอุดตันและค่าความดันส่งผ่านเมมเบรนลงได้

อรุยะ (2543) ใช้ไมโครฟิลเตอร์ชั้นเมมเบรนติดตั้งจมตัวในถังปฏิกิริยาระบบที่มีอากาศเป็นช่วงๆ พบร้า ที่รอบเวลาการเติมอากาศ 120 นาที เกิดปฏิกิริยาในตริฟิคเข็น 94 – 98% และดีไมตริฟิคเข็น 41 – 93 % ระบบสามารถกำจัดความชื้น และของแข็งแขวนลอยได้มากกว่า 99 % กำจัดชีโอดีได้ 90 % และในไตรเจน 40 – 90% ตันทุนในการบำบัดต่อหน่วยมีค่าสูง เนื่องจากคิดราคาเมมเบรนต่อหน่วยการบำบัดตลอดอายุการใช้งาน และอุปกรณ์ประกอบมีต้นทุนแรกเริ่มสูงไม่ได้สัดส่วนกับกำลังผลิต ตันทุนค่าพลังงานของระบบเติมอากาศเป็นช่วงๆ มีค่าสูง แต่มีต้นทุนค่าสารเคมีต่ำกว่าหلامยเท่าตัว เมื่อเปรียบเทียบกับระบบเติมอากาศต่อเนื่อง

ณัฐพันธ์ (2545) ทำการศึกษาประสิทธิภาพ และกลไกในการกำจัดชีโอดี ในไตรเจน และพอสฟอรัสของระบบถังปฏิกิริยามเมมเบรนชีวภาพ แบบแอนนอกซิก-แอนแอโรบิก-แอโรบิก โดยใช้น้ำเสียสังเคราะห์ มีอัตราการป้อนน้ำเสียเฉลี่ย 96 ลิตรต่อวัน ค่าชีโอดี 325 มก./ล. ค่าฟอสฟอรัส ทั้งหมด 7.9 มก./ล. และในไตรเจน 35.8 มก.TKN/l. จากผลการทดลองพบว่า อัตราการเบนซ์น้ำเสียไม่มีผลต่อการกำจัดชีโอดี ในไตรเจน พอสฟอรัส เนื่องจากในไตรเจนที่มีภูมิภาคต่างๆ ออกซิเจนของระบบมีค่าต่ำ ค่าอายุสลัดจ์ที่เพิ่มขึ้นก็ไม่มีผลต่อการกำจัดสารมลภาวะ แต่อยุสลัดจ์ที่เพิ่มขึ้นทำให้ขนาดอนุภาคฟลักซ์ในระบบมีขนาดใหญ่ขึ้น ระบบมีประสิทธิภาพในการกำจัดชีโอดีสูงกว่า 97% ประสิทธิภาพในการกำจัดที่เคอีนสูงกว่า 95% ประสิทธิภาพในการกำจัดฟอสฟอรัลสูงกว่า 80% โดยมีค่าใช้จ่ายในการบำบัดน้ำเสียตัวยระบบเท่ากับ 171 บาท/ลบ.ม

นัทกาญจน์, 2546 ศึกษาการใช้ระบบถังปฏิกิริยามเมมเบรนชีวภาพ แบบแอนนอกซิก-แอนแอโรบิก-แอโรบิก บำบัดน้ำเสียจากศูนย์การค้า ผลการทดลองพบว่า ระบบมีประสิทธิภาพในการกำจัดชีโอดี 92-95 % ประสิทธิภาพในการกำจัดที่เคอีน 86-91 % ประสิทธิภาพในการกำจัดฟอสฟอรัส 62-92% โดยมีค่าใช้จ่ายในการบำบัดน้ำเสียตัวยระบบเท่ากับ 182 บาท/ลบ.ม

2.2 น้ำเสีย

น้ำเสีย คือ ของเสียที่อยู่ในสภาพของเหลว ที่เกิดจากการการอุบゴคบริโภคในชีวิตประจำวัน ของมนุษย์ ซึ่งจะทำให้คุณลักษณะของน้ำเปลี่ยนไปจากเดิมเนื่องจากมีสิ่งสกปรกต่างๆ ทั้งสารอินทรีและอนินทรี ถ่ายเทเงื่อนลงในน้ำนั้นในปริมาณสูงจนกระทั่งกล้ายเป็นน้ำที่ไม่สามารถใช้ประโยชน์ได้อีก (สุบัณฑิต, 2548) และมีลักษณะเน่าเสีย เป็นพิษ ถ้าปล่อยลงสู่แหล่งน้ำตามธรรมชาติ ก็จะทำให้

เกิดการเน่าเสียของแหล่งน้ำได้ การเจือปนน้ำทำให้เกิดการเปลี่ยนแปลงทางกายภาพของน้ำและเกิดความเป็นพิษต่อสิ่งแวดล้อม

2.2.1 ลักษณะของน้ำเสีย ที่เกิดจากกิจกรรมต่างๆ ในชีวิตประจำวัน แบ่งออกเป็น 3 ประเภท คือ

2.2.1.1 ลักษณะน้ำเสียทางกายภาพ (Physical characteristics) เป็นลักษณะของ สภาวะมลพิษทางน้ำที่สามารถรับรู้ได้ แบ่งได้สามชนิด คือ

1) อุณหภูมิ (Temperature) เป็นระดับความร้อนที่ส่งผลต่อสิ่งมีชีวิตในน้ำ อุณหภูมิในแหล่งน้ำโดยปกติจะประมาณ 20 – 30 องศา อุณหภูมิจะมีผลต่อการเปลี่ยนแปลงระดับของออกซิเจนในน้ำ เมื่ออุณหภูมิเพิ่มขึ้นส่งผลให้ออกซิเจนลดลง

2) สี (Color) ลักษณะสีของน้ำเสียจะมีสีขุ่น คล้ำ ตามสีที่บันเบี้ยนในน้ำ เสียน้ำ สีของน้ำจะบ่งบอกการปนเปื้อนของน้ำที่มาจากการหลังต่างๆ ที่ทำการปล่อยทิ้ง

3) กลิ่น (Odor) จะมาจากการน้ำเสียที่มีการปนเปื้อนจากสารเคมี สารอินทรีย์ ที่อยู่ในน้ำเสียใช้ปั๊งชีสภาวะของน้ำเสีย ส่วนมากจะเกิดจากก้าชที่เกิดจากการย่อยสลายของสารอินทรีย์ในน้ำเสีย (สรุสรักดี, 2541)

4) ปริมาณของแข็งที่ละลายน้ำ (Total Dissolved Solids; TDS) บ่งบอกถึงสิ่งที่เจือปนในน้ำ หรือสารที่แขวนลอยอยู่ในน้ำ อาจเป็นสารอินทรีย์ หรือสารประกอบต่างๆ ที่อยู่ในน้ำ

5) ค่าการนำไฟฟ้า (Conductivity) เป็นค่าที่บ่งบอกถึงสภาพการน้ำที่พื้นที่ความสามารถในการนำไฟฟ้านั้นจะขึ้นอยู่กับสารประกอบที่มีคุณสมบัติในการนำไฟฟ้า เช่น สารอินทรีย์ กรด ด่าง และเกลือ (วังรี, 2540)

2.2.1.2 ลักษณะน้ำเสียทางเคมี เกิดจากสารเคมีที่ถูกปล่อยทิ้งลงในแหล่งน้ำ สารโลหะหนักต่าง ๆ ที่มีความเป็นพิษในน้ำสูง ทำให้สิ่งมีชีวิตไม่สามารถดำรงอยู่ได้ เช่น ความเป็นพิษในน้ำเสียนิยมทำการตรวจวัดปริมาณสารอินทรีย์ เช่น BOD, COD, และ TOC และสารอินทรีย์ (inorganic) เช่น ค่าพีอีอี คลอไรด์ ความเป็นกรด-ด่าง ในโทรศัพท์ พอสฟอรัส โลหะหนัก และแก๊สละลายน้ำ

2.2.1.3 ลักษณะน้ำเสียทางชีวภาพ เป็นน้ำเสียที่มีส่วนประกอบทางชีวภาพ ที่มาจากการแยกตัวเรีย จุลินทรีย์ สาหร่าย โพธิ์ชาและเชื้อรา ที่มีอยู่ในแหล่งน้ำเสีย สิ่งมีชีวิตเหล่านี้จะเป็นผู้ย่อยสลายในแหล่งน้ำ

2.2.2 องค์ประกอบของน้ำเสีย เป็นองค์ประกอบของสารหรือสิ่งเจือปนปะบันอยู่ในน้ำเสีย สามารถแบ่งได้เป็น 10 ชนิด ได้แก่

2.2.2.1 สารอินทรีย์ (Organic matter)

เป็นการย่อยสลายอินทรีย์ในน้ำโดยใช้จุลทรีย์และออกซิเจนในน้ำในการทำการย่อยสลายสารอินทรีย์ที่ปะปนอยู่ในน้ำ ได้แก่ คาร์บอไฮเดรต โปรตีน ไขมัน เศษอาหาร หีบหักต่างๆ ในการย่อยสลายนี้จะทำให้ออกซิเจนในน้ำลดระดับลงจะทำให้สภาพน้ำเสีย น้ำมีความสกปรกและมีกลิ่นเน่าเหม็น

2.2.2.2 สารอนินทรีย์ (Inorganic matter)

อาจอยู่ในรูปของแร่ธาตุ หรือของเสียงทางอุตสาหกรรม ได้แก่ แร่ธาตุต่างๆ สารจำพวกโลหะหนัก ที่เกิดอันตรายต่อสิ่งมีชีวิตในน้ำ

2.2.2.3 โลหะหนักและสารพิษ (Heavy metals)

โลหะหนักที่อยู่ในรูปของสารอินทรีย์หรือสารอนินทรีย์ สามารถสะสมอยู่ใน wang จรออาหารเกิดเป็นอันตรายต่อสิ่งมีชีวิต เช่น protox โครเมียม ทองแดง ส่วนมากจะอยู่ในรูปของน้ำเสียจากโรงงานอุตสาหกรรม (กรมควบคุมมลพิษ, 2545)

2.2.2.4 สารแขวนลอย (Suspended solid)

สารแขวนลอยเป็นสารที่มีการสลายตัวแล้วเกิดกลิ่น เช่น น้ำมัน ไขมัน สารเหล่านี้จะปิดกั้นแสงแดดไม่ให้ผ่านสู่น้ำ เป็นอุปสรรคต่อการเจริญเติบโตของสิ่งมีชีวิต และสารบางชนิดเป็นอันตรายต่อสัตว์น้ำ (วชรี, 2540)

2.2.2.5 ของแข็ง (Solids)

ของแข็งเมื่อจมลงสู่น้ำจะทำให้เกิดความดันน้ำด้านล่างจะมีออกซิเจนน้อย มีความชื้นสูง ส่งผลต่อสิ่งมีชีวิตในน้ำ ได้แก่ ของแข็งที่จมตัวได้ ของแข็งที่ละลายน้ำทึบหมด ของแข็งแขวนลอย และของแข็งที่ระเหยง่าย

2.2.2.6 สารทำให้เกิดฟอง (Foaming)

ฟองของสารจะทำให้ออกซิเจนไม่สามารถระบายตัวจากอากาศสู่น้ำได้ส่งผลต่อสิ่งมีชีวิตในน้ำ สารทำให้เกิดฟองได้แก่ ผงซักฟอก สนบุรี

2.2.2.7 จุลินทรีย์ (Microorganism)

จุลินทรีย์ที่มาจากการปล่อยน้ำเสียจากแหล่งต่างๆ เช่น น้ำเสียจากโรงพยาบาล โรงเรือนสัตว์ โรงงานอาหารกระป๋อง จุลินทรีย์เหล่านี้จะใช้ออกซิเจนในการดำรงชีวิต และจะทำให้ออกซิเจนในน้ำลดระดับลง จะทำให้น้ำเกิดสภาพเน่าเหม็น จุลินทรีย์บางชนิดอาจเกิดอันตรายต่อมนุษย์ เช่น จุลินทรีย์ในน้ำเสียจากโรงพยาบาล (กรมควบคุมมลพิษ, 2545)

2.2.2.8 สี และความชื้น (Color Turbidity)

สี และความชื้นเป็นตัวกันแสงไม่ให้ผ่านลงสู่น้ำ ทำให้ออกซิเจนในน้ำลดลง ทำให้สิ่งมีชีวิตไม่สามารถดำรงชีวิตอยู่ได้ น้ำจึงเกิดการเน่าเสียเมื่อน้ำเสียที่ถูกปล่อยมาก

แหล่งกำเนิดในระยะแรกจะมีสีเทาปนน้ำตาลอ่อนๆ และเมื่อระยะเวลามากขึ้นโดยน้ำไม่ได้ทำการบำบัด จะทำให้กลายเป็นสีเทาหรือเทาเข้ม และสุดท้ายน้ำจะเป็นสีดำหรือเรียกว่าน้ำเน่า

2.2.2.9 ธาตุอาหาร (Nutrients)

ธาตุอาหารที่มีอยู่ในน้ำเสีย ได้แก่ โนโตรเจน และฟอสฟอรัส ที่มีมากเกินไป จะทำให้สาหร่ายในน้ำเติบโตมากกว่าปกติและเพิ่มปริมาณอย่างรวดเร็ว (Algae Bloom) การเพิ่มปริมาณอย่างรวดเร็วนี้ ทำให้ปริมาณออกซิเจนในน้ำลดลง

2.2.2.10 อุณหภูมิ และความร้อน (Temperature)

อุณหภูมิจะส่งผลต่อสิ่งมีชีวิต และการเจริญเติบโตของสิ่งมีชีวิตในน้ำ อุณหภูมิจะส่งผลทำให้เกิดการเร่งปฏิกิริยาในการใช้อกซิเจนของจุลินทรีย์ ออกซิเจนในน้ำลดระดับลง ความร้อนอาจทำให้แบคทีเรียและจุลินทรีย์ในน้ำเสียตาย จะทำให้เกิดการเน่าเสียของน้ำมากขึ้น เมื่อ น้ำนั้นมีระดับของอุณหภูมิที่สูง

2.2.3 สาเหตุของการเกิดน้ำเสีย

สาเหตุของการเกิดน้ำเสียเกิดจากการนำน้ำไปใช้ประโยชน์ในด้านต่างๆ ทั้งบ้านเรือน ชุมชน การเกษตรกรรม การเลี้ยงสัตว์ และโรงงานอุตสาหกรรม เมื่อใช้แล้วถูกปล่อยทิ้งโดยไม่ดำเนินการบำบัด น้ำที่ปล่อยทิ้งนั้นจะมีสิ่งสกปรกเจือบปนในน้ำสูง เช่น สิ่งปฏิกูล โลหะหนัก และสารเคมี ซึ่งจะส่งผลให้แหล่งน้ำที่ถูกปล่อยทิ้งนั้นเน่าเสีย แหล่งน้ำไม่สามารถปรับสภาพได้ทันจึงเกิดการเน่าเสียเป็นแหล่งสะสมของสารพิษ ทำให้สิ่งมีชีวิตไม่สามารถดำรงชีวิตอยู่ได้ และไม่สามารถดำเนินการแหล่งน้ำนั้นมาอุปโภคบริโภคได้

2.2.4 แหล่งที่มาของน้ำเสีย

2.2.4.1 แหล่งธรรมชาติ

น้ำเสียจากแหล่งธรรมชาติ เกิดจากสิ่งมีชีวิตไม่ว่าจะเป็นพืช หรือสัตว์ที่ตายน้ำลงในน้ำ จากนั้นจะถูกผู้อยู่อาศัยโดยผู้อยู่อาศัยอินทรียสาร ได้แก่ แบคทีเรียที่มีอยู่ในแหล่งน้ำธรรมชาติ

2.2.4.2 แหล่งบ้านเรือนชุมชน

น้ำเสียจากแหล่งบ้านเรือนและชุมชน ส่วนใหญ่เป็นการดำเนินชีวิตประจำวันของมนุษย์ ที่มาจากการบ้านเรือน อาคาร ที่พักอาศัย ตลาดสด ศูนย์การค้า โรงพยาบาล สถานที่ราชการ เป็นต้น ที่ถูกระบายน้ำแหล่งน้ำ น้ำเสียในแหล่งชุมชนจะเป็นอันตรายมากเนื่องจากไม่มีการบำบัดน้ำก่อนปล่อยทิ้งสู่แหล่งธรรมชาติ เนื่องจากขาดการควบคุมดูแลในด้านการจัดการ และหน่วยงานที่รับผิดชอบในการดำเนินงาน (วัชรี, 2540)

2.2.4.3 โรงงานอุตสาหกรรม

เกิดจากกระบวนการต่างๆ ในโรงงานอุตสาหกรรม ที่ลักษณะล่ออน้ำเสียสารเคมี โลหะหนักลงในน้ำ ทำให้น้ำเกิดการปนเปื้อน ส่งผลให้สิ่งมีชีวิตไม่สามารถดำรงชีวิตอยู่ได้น้ำที่ปนเปื้อนจากอินทรีย์สารของกระบวนการในโรงงานอุตสาหกรรม สามารถก่อให้เกิดผลกระทบต่อมนุษย์และสิ่งมีชีวิต น้ำเสียจากแหล่งอุตสาหกรรม ได้แก่ อุตสาหกรรมโลหะหนัก อุตสาหกรรมอิเล็กทรอนิกส์ โรงงานขุบโลหะ โรงงานมักกากาน้ำตาล โรงงานกลั่นน้ำมัน และโรงงานผลิตยา น้ำที่รังจากแหล่งอุตสาหกรรมต่างๆ เหล่านี้ทำให้แหล่งน้ำไม่สามารถใช้อุปโภคบริโภคได้ซึ่งเป็นสาเหตุของโรคผู้หนังเป็นอันตรายต่อร่างกาย อันตรายต่อพืชและสัตว์น้ำซึ่งจะส่งผลให้จำนวนพืชและสัตว์ในแหล่งน้ำลดลง และน้ำเกิดการเน่าเสีย

2.2.4.4 เกษตรกรรมและการเลี้ยงสัตว์

น้ำเสียที่มาจากการเกษตรกรรมและการเลี้ยงสัตว์ จะมาจากสารเคมีในการเลี้ยงสัตว์ ปุ๋ยเคมี สารเคมีป้องกันศัตรูพืช การปล่อยมูลสัตว์และเศษของเสียต่างๆ ในโรงเลี้ยงสัตว์ ที่เกิดตอกด้วยบริเวณดิน หรือบริเวณที่ใช้สารเคมี เมื่อถูกชะล้างลงสู่แหล่งน้ำ จะส่งผลต่อสิ่งมีชีวิตในน้ำ จะทำให้เกิดการปนเปื้อนของสารเคมี และจะเกิดการสะสมของสารเคมีในสิ่งมีชีวิต สารเคมีที่พบในแหล่งธรรมชาติ เช่น ตีดีที ตีลอดริน และเอนดริล

2.2.5 ลักษณะของน้ำเสียที่สำคัญในการนำมารวจวิเคราะห์

2.2.5.1 ค่า pH (pH)

เป็นค่าที่บ่งบอกถึงความเป็นกรดเป็นด่างของน้ำเสีย โดยทั่วไปสิ่งมีชีวิตจะสามารถในสภาพที่เป็นกลาง คือช่วง pH ประมาณ 6-8 (กรมควบคุมมลพิษ, 2545)

2.2.5.2 ค่าบีโอดี (Biochemical Oxygen Demand; BOD)

เป็นค่าที่บอกถึงปริมาณออกซิเจนในแบคทีเรีย ที่ใช้ในการย่อยสลายสารอินทรีย์เป็นมาตรฐานกำหนดคุณภาพของน้ำทึ้ง ถ้าค่าบีโอดีสูงกว่า 10 mg/L น้ำนั้นถือว่าเป็นน้ำเสีย ถ้าค่าสูงมากๆ แสดงว่ามีความต้องการออกซิเจนสูง เนื่องจากน้ำนั้นมีความสกปรกหรือสารอินทรีย์เจือปนในน้ำสูง ตามพิษพิษบัญญัติที่มีในโรงงานอุตสาหกรรมได้กำหนดไว้ในอุตสาหกรรมปล่อยน้ำได้ แต่ต้องมีค่าบีโอดีไม่เกิน 20 mg/L

2.2.5.3 ค่าซีโอดี (Chemical Oxygen Demand; COD)

เป็นค่าที่บอกถึงปริมาณออกซิเจนที่ใช้ในการย่อยสลายสารอินทรีย์ตัวเดียว ทางเคมี โดยทำให้ออกซิเจนออกซิไดซ์สารอินทรีย์ในน้ำให้กลায์เป็นคาร์บอนไดออกไซด์และน้ำหลักในการหาค่า COD และ BOD จะคล้ายกันโดย COD จะทำให้สารอินทรีย์ในน้ำถูกออกซิไดซ์ จนได้คาร์บอนไดออกไซด์ กับน้ำแต่ BOD จะต้องใช้แบคทีเรียในการย่อยสลาย ส่วน COD ใช้ตัวเติมออกซิเจน (วัชรี, 2540) โดยการวัดค่า COD: BOD จะต่างกันประมาณ 2-4 เท่า

2.2.5.4 ปริมาณออกซิเจนที่ละลายในน้ำ (Dissolved oxygen: DO)

เป็นค่าที่บ่งบอกถึงปริมาณออกซิเจนที่ละลายอยู่ในน้ำ ปริมาณของออกซิเจนในน้ำจะผกผันกับอุณหภูมิ ถ้าอุณหภูมิในน้ำเพิ่มขึ้น ทำให้ปริมาณออกซิเจนในการละลายในน้ำลดลง (สูตรสักดิ์, 2541) น้ำในธรรมชาติทั่วไป ปกติจะมีค่าดีโอประมาณ 5-7 mg/L ถ้าค่าดีโอต่ำกว่า 3 mg/L จะด้วน้ำในแหล่งน้ำนั้นเน่าเสีย

2.2.5.5 ปริมาณของแข็ง (Solids)

เป็นปริมาตรสารแขวนลอยที่ละลายและไม่ละลาย น้ำ และบางชนิดก็แขวนลอยในน้ำ ของแข็งมีน้ำหนักมากจะจมตัวสู่ด้านล่าง ถ้า漂浮อยู่ทึ่งไว้จะทำให้เกิดความชื้นเขื่อน และความสกปรกในแหล่งน้ำ

2.2.5.6 ไนโตรเจน (Nitrogen)

เป็นธาตุที่มีความสำคัญในการสร้างเซลล์ของสิ่งมีชีวิต ในไนโตรเจนจะเปลี่ยนสภาพเป็นแอมโมเนียม ถ้าในแหล่งน้ำมีปริมาณออกซิเจนเพียงพอ ออกซิเจนนี้จะถูกย่อยสลายเป็นไนโตรต์และไนโตรฟิล์ การปล่อยน้ำเสียที่มีปริมาณไนโตรเจนสูง จะทำให้แหล่งน้ำมีระดับออกซิเจนลดลง (กรมควบคุมมลพิษ, 2545)

2.2.5.7 ไขมันและน้ำมัน (Fat, Oil, and Grease)

ไขมันและน้ำมัน จะเป็นน้ำมันและไขมันจากพืชและลักษณะมีน้ำหนักเบาและสามารถถูกย่อยสลายได้

2.2.5.8 ความเข้มข้นของตะกอนจุลินทรีย์ (Mixed Liquid Suspended Solids: MLSS) (mg/L)

ค่าความเข้มข้นโดยประมาณของจุลชีพในถังเติมอากาศในระบบ แอคติโนเติดสลัดจ์ เป็นค่าที่ใช้วัดความเข้มข้นของน้ำเสียในระบบบำบัดน้ำเสียแบบแอคติโนเติดสลัดจ์ (สพพนพช., ม.บ.ป.)

น้ำเสียจากแหล่งต่างๆ ก่อนการปล่อยทั้งลงสู่แหล่งน้ำตามธรรมชาติไม่ว่าจะเป็นน้ำเสียจากแหล่งอุตสาหกรรม แหล่งบ้านเรือนชุมชน หรือแหล่งใดได้ก็ตามต้องผ่านการบำบัดน้ำให้น้ำมีคุณภาพที่ดีก่อนที่จะทำการปล่อยทิ้ง เพื่อสามารถนำน้ำจากแหล่งน้ำมาอุปโภคบริโภคได้ ในการบำบัดน้ำเสียมีวิธีมากมายหลากหลายในหัวข้อต่อไป

2.3 การบำบัดน้ำเสีย (Wastewater Treatment)

ความสำคัญของการบำบัดน้ำเสีย เป็นการบำบัดน้ำหลังจากการที่นำน้ำไปใช้ในกิจกรรมต่างๆ ในชีวิตประจำวัน ในโรงงานอุตสาหกรรม การเกษตรกรรม มาปรับสภาพน้ำให้ดีขึ้นก่อนปล่อยน้ำเหล่าน้ำสู่แหล่งธรรมชาติ การเลือกระบบบำบัดน้ำเสียขึ้นกับปัจจัยต่างๆ ได้แก่ ลักษณะของน้ำเสีย

ระดับการบำบัดน้ำเสียที่ต้องการ สภาพทั่วไปของน้ำเสีย ค่าการบำรุงรักษา และขนาดของท่อตันที่ใช้ เพื่อให้ระบบบำบัดน้ำเสียที่ต้องการมีความเหมาะสมในสภาพแวดล้อมที่ต้องการการบำบัด

2.3.1 การบำบัดน้ำเสียสามารถแบ่งได้ตามวิธีที่ใช้ในการกำจัดสิ่งเจือปนในน้ำเสียได้ 3 ทางคือ

2.3.1.1 การบำบัดทางกายภาพ (Physical Treatment) เป็นวิธีการแยกออก สิ่งเจือปนออกจากน้ำเสีย เช่น ของแข็งขนาดใหญ่ กระดาษ พลาสติก เศษอาหาร กรวด หิน และน้ำมัน โดยใช้อุปกรณ์ในการบำบัดทางกายภาพ คือ ตะแกรงดักขยะ และถังตقطกตอน ซึ่งจะเป็นการลดปริมาณของแข็งทั้งหมดที่มีในน้ำเสีย

2.3.1.2 การบำบัดทางเคมี (Chemical Treatment) เป็นวิธีการบำบัดน้ำเสียโดยใช้กระบวนการทางเคมี เพื่อทำปฏิกิริยากับสิ่งที่เจือปนในน้ำเสีย วิธีการนี้จะใช้กับน้ำเสียที่มีส่วนประกอบของโลหะหนัก ค่าพีเอชที่สูง ต่ำเกินไป ไขมันและน้ำมัน (กรมควบคุมมลพิษ, 2545)

2.3.1.3 การบำบัดทางชีวภาพ (Biological Treatment) เป็นการบำบัดน้ำเสียโดยใช้กระบวนการทางชีวภาพ โดยใช้จุลินทรีย์และแบคทีเรียในการกำจัดสิ่งเจือปน โดยเฉพาะสารคาร์บอนอินทรีย์ ในไตรเจน และฟอสฟอรัส โดยความสกปรกเหล่านี้จะถูกใช้เป็นอาหาร และเป็นแหล่งพลังงาน

ของจุลินทรีย์ในรังสียังเชื้อเพื่อการเจริญเติบโต ทำให้น้ำเสียมีค่าความสกปรกลดลงโดยจุลินทรีย์เหล่านี้อาจเป็นแบบใช้ออกซิเจน (Aerobic) หรือไม่ใช้ออกซิเจน (Anaerobic)

2.3.1.4 การบำบัดทางกายภาพเคมี (Physiochemical Unit Processes) เป็นวิธีการบำบัดน้ำเสียที่อาศัยทั้งเทคนิคทางกายภาพและทางเคมีร่วมกัน เพื่อใช้ในการกำจัดทั้งสารอินทรีย์และสารอินทรีย์ที่ละลายอยู่ในน้ำเสีย เช่น ระบบ Ion exchange, Carbon adsorption และ Reverse osmosis

2.3.2 ขั้นตอนการบำบัดน้ำเสีย สามารถแบ่งตามขั้นตอนได้ดังนี้

2.3.2.1 การบำบัดขั้นต้น (Preliminary Treatment) เป็นการบำบัดขั้นต้น เป็นการบำบัดเพื่อคัดแยกหราย หิน กรวด และของแข็งที่มีขนาดใหญ่ออกจากน้ำเสีย โดยใช้เครื่องจักร ได้แก่ ตะแกรงหยาบ (Coarse Screen) ถังตقطกตอนเบื้องต้น (Primary Sedimentation Tank) และ ตะแกรงละเอียด (Fine Screen) ในการบำบัดขั้นต้นสามารถกำจัดอนุภาคที่แขวนลอยในน้ำเสียจนได้ใหญ่ได้ (กรมควบคุมมลพิษ, 2545)

2.3.2.2 การบำบัดขั้นที่สอง (Secondary Treatment) เป็นการบำบัดน้ำเสียที่ผ่านกระบวนการบำบัดขั้นต้น แต่ยังคงมีของแข็งและอนุภาคเล็กและสารอินทรีย์ที่ละลาย และไม่ละลายในน้ำเสียเหลือค้างอยู่ การบำบัดขั้นที่สอง เรียกว่าการบำบัดทางชีวภาพ (Biological Treatment) จะอาศัยหลักการเลี้ยงจุลินทรีย์ในระบบภายใต้สภาวะที่สามารถควบคุมได้ เพื่อเพิ่ม

ประสิทธิภาพในการย่อยสลายสารอินทรีย์ได้วัดเร็วกว่าที่เกิดขึ้นตามธรรมชาติ (สูรศักดิ์, 2541) และแยกตะกอนจุลินทรีย์ออกจากน้ำทึบโดยใช้ถังตะกอน (Secondary Sedimentation Tank) ทำให้น้ำทึบมีคุณภาพดีขึ้น จากนั้นจึงผ่านเข้าระบบฆ่าเชื้อโรค (Disinfection) เพื่อลดสารบนเบื้องก่อนปล่อยน้ำทึบลงสู่แหล่งน้ำธรรมชาติ หรือนำกลับไปใช้ประโยชน์ใหม่ได้

2.3.2.3 การบำบัดขั้นสูง (Advanced Treatment หรือ Tertiary Treatment) การบำบัด ขั้นสูงนี้เป็นกระบวนการในการกำจัดสารอาหารจำพวก สี สารเ化วนโลย ในடรเจน และฟอสฟอรัสในการบำบัดจะช่วยลดความเน่าเสียการจริญเติบโตผิดปกติของสาหร่าย โดยที่การบำบัดขั้นที่สองไม่สามารถทำได้ การบำบัดขั้นสูงจะสามารถปรับปรุงคุณภาพน้ำให้ดีขึ้น และสามารถนำน้ำนั้นกลับมาใช้ใหม่ได้ (สุรีย์ และคณะ, 2551)

2.3.3 กระบวนการในการบำบัดน้ำเสียสามารถแบ่งได้ 2 กระบวนการ คือ

2.3.3.1 การบำบัดน้ำเสียแบบใช้อากาศ (Aerobic Process) เป็นวิธีการบำบัดน้ำเสีย ในทางกระบวนการทางชีวภาพโดยมีการติดต่อออกซิเจนลงในน้ำเสีย จุลินทรีย์จะบำบัดปฏิริยาชีวเคมี ทำให้จุลินทรีย์เกิดการย่อยสลายสารอินทรีย์ในน้ำเสีย (ปราสาท, ม.ป.บ.)

2.3.3.2 การบำบัดน้ำเสียแบบไม่ใช้อากาศ สารอินทรีย์ในน้ำเสียจะถูกย่อยสลายโดยจุลินทรีย์กลุ่มที่ไม่ใช้ออกซิเจน (กรรน ควบคุมมลพิษ, 2546)

2.3.4 ระบบบำบัดน้ำเสียแบบแอคตีเวเต็ดสลัดจ์

ระบบแอคตีเวเต็ดสลัดจ์(Activated Sludge: AS) เป็นวิธีบำบัดน้ำเสียตัวริเริ่มการทางชีววิทยา โดยใช้แบคทีเรียที่เรียกว่าที่ใช้ออกซิเจน (Aerobic Bacteria) เป็นตัวหลักในการย่อยสลายสารอินทรีย์ในน้ำเสีย ระบบแอคตีเวเต็ดสลัดจ์เป็นระบบบำบัดน้ำเสียที่นิยมใช้กันอย่างแพร่หลาย สามารถบำบัดได้ทั้งน้ำเสียชุมชนและน้ำเสียจากโรงงานอุตสาหกรรม (สุรีย์ และคณะ, 2551) ที่ต้องมีการควบคุมสภาวะแวดล้อมให้เหมาะสมแก่การบำบัดน้ำเสียเพิ่มประสิทธิภาพสูงสุด (รูปที่ 1)



รูปที่ 1 การบำบัดน้ำเสียในระบบแอคตีเวเต็ดสลัดจ์ (ที่มา: www.web.ku.ac.th : ออนไลน์)

2.3.4.1 ประเภทของระบบแอกติเวเต็ดสลัดจ์ในลักษณะต่างๆ

1) ระบบแอกติเวเต็ดสลัดจ์แบบกวนสมบูรณ์ (Completely Mixed Activated Sludge: CMAS) หลักการทำงานของระบบนี้ จะเป็นระบบที่มีการเติมอากาศ และกวนน้ำ เสียให้เป็นเนื้อเดียวกัน

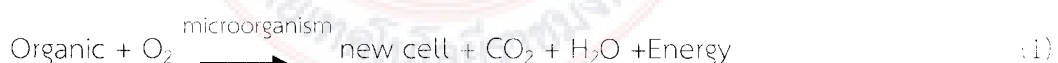
2) ระบบแอกติเวเต็ดสลัดจ์แบบปรับเสถียรสัมผัส (Contact Stabilization Activated Sludge: CSAS) หลักการทำงานระบบนี้จะมีถังเติมอากาศ 2 ถัง มีถังสัมผัส และถังย่อยสลาย โดยตะกอนน้ำเสียจะถูกส่งมาสู่ถังย่อยสลายเพื่อเติมอากาศ และส่งต่อมาที่ถังสัมผัสเพื่อย่อยสลายสารอินทรีย์ในน้ำเสีย (กรมควบคุมมลพิษ, 2546)

3) ระบบบำบัดน้ำเสียแบบระบบคลองวีน (Oxidation Ditch: OD) หลักการทำงานของระบบนี้ลักษณะของถังเติมอากาศ จะเป็นวงกลม ทำให้น้ำมีการไหลเวียนอยู่ตลอดเวลา

4) ระบบบำบัดน้ำเสียแบบอสบีอาร์ (Sequencing Batch Reactor) หลักการทำงานของระบบนี้จะแตกต่างจากรอบอื่น เป็นระบบแอกติเวเต็ดสลัดจ์ประเภทเติมถังเข้าออก ในการบำบัดน้ำเสียโดยการเติมอากาศ..และการตักตะกอนจะดำเนินการตามลำดับ และทำปฏิกิริยาภายในถังเดียวกัน (กรมควบคุมมลพิษ, 2546)

2.3.4.2 หลักการทำงานของระบบแอกติเวเต็ดสลัดจ์

หลักการทำงานของระบบแอกติเวเต็ดสลัดจ์จะประกอบด้วย ถังเติมอากาศ (Aeration Tank) และถังตักตะกอน (Sediment Tank) ในระบบบำบัดน้ำเสียแบบแอกติเวเต็ดสลัดจ์ จะใช้อากาศเป็นตัวเอื้ออำนวย ในการเจริญเติบโตของจุลินทรีย์ โดยจุลินทรีย์จะทำการย่อยสลายสารอินทรีย์ในน้ำเสีย โดยสารอินทรีย์ที่ใช้เป็นอาหารและแหล่งพลังงาน ในระบบแอกติเวเต็ดสลัดจ์จะมีปฏิกิริยาทางชีวเคมี สามารถเขียนได้ดังสมการต่อไปนี้ (ทุติยาภรณ์, 2548)



น้ำเสียที่ผ่านการบำบัดแล้วจะไหลต่อไปยังถังตักตะกอนเพื่อแยกสลัดจ์ออกจากน้ำใส สลัดจ์ที่แยกตัวจะตกอยู่ที่ก้นถังตักตะกอน ส่วนหนึ่งจะถูกสูบปืนกลับเข้าไปในถังเติมอากาศใหม่เพื่อให้สลัดจ์มีความเข้มข้น และอีกส่วนหนึ่งจะเป็นสลัดจ์ส่วนเกินที่ต้องนำไปกำจัดต่อไป สำหรับน้ำใส ส่วนบนจะเป็นน้ำทึบที่สามารถปล่อยทิ้งสู่สิ่งแวดล้อมได้ (กรมควบคุมมลพิษ, 2545)

2.3.4.3 จุลินทรีย์ในแอคติเวเต็ดสลัดเจอร์ จะสามารถแบ่งได้เป็น 4 ประเภทคือ

- 1) จุลินทรีย์ที่สร้างฟลอก (Floc Former) จุลินทรีย์ในกลุ่มนี้ส่วนใหญ่เป็นแบคทีเรียที่เรียกว่าสัมภาระ แก่ค์ที่เรียกว่าสามารถจับตัวกันเป็นกลุ่มฟลอก และตกตะกอนได้ดี
- 2) Saprophyte จุลินทรีย์ในกลุ่มนี้ส่วนใหญ่จะเป็นแบคทีเรียที่ทำหน้าที่ย่อยสลายสารอินทรีย์ บางชนิดก็จะทำหน้าที่สร้างฟลอกด้วย
- 3) จุลินทรีย์ทำลาย (Predator) จุลินทรีย์ในกลุ่มนี้ประกอบด้วยเบร์เตซัว (Protozoa) อเมeba (Amoeba) โรติเฟอร์ (Rotifer) ทำหน้าที่กินจุลินทรีย์ที่มีขนาดเล็กกว่าเป็นอาหาร
- 4) จุลินทรีย์ก่อภัย (Nuisance Microorganisms) เป็นพวกที่ก่อภัยจากการทำงานของระบบ เช่น แบคทีเรียที่เป็นเส้นใย (Filamentous Bacteria) ซึ่งทำให้เกิดตะกอนไม่รวมตัว (Bulkin Sludge)

2.3.4.4 ขั้นการเกิดของระบบแอคติเวเต็ดสลัดเจอร์ มีสามขั้นตอนดังนี้

- 1) ขั้นส่งถ่าย (Transfer Step) สารอินทรีย์ในน้ำเสียจะถูกจุลินทรีย์ดูดมาติดที่ผนังเซลล์และส่งน้ำย่อยออกมาย่อยสลายจนสารอินทรีย์เปลี่ยนไปอยู่ในรูปของโมเลกุลที่เล็ก พอที่จะซึมผ่านเข้าข้างในเซลล์เพื่อใช้เป็นสารอาหารได้ ในขั้นตอนนี้จะใช้เวลาประมาณ 15 ถึง 30 นาทีจุลินทรีย์จะผลิตน้ำย่อยขึ้นมาไว้ภายในเซลล์และในน้ำที่อยู่รอบตัวของมันสารอินทรีย์แต่ละชนิดต้องใช้อ่อนไขม์เฉพาะอย่างในการย่อย จุลินทรีย์จึงต้องปรับตัวและผลิตเอนไซม์อย่างมาใช้ให้เหมาะสมกับชนิดของน้ำเสียต่างๆโดยเฉพาะในช่วงเริ่มการทำงานของระบบบำบัดน้ำเสีย

- 2) ขั้นเปลี่ยนรูป (Conversion Step) ขั้นที่สองเมื่อจุลินทรีย์ถูกย่อยแล้ว โมเลกุลเล็ก และสามารถถ่ายน้ำผ่านเข้าไปในเซลล์ได้แล้ว ก็จะถูกจุลินทรีย์ทำการเปลี่ยนรูปโดยกระบวนการสังเคราะห์ (Synthesis) ซึ่งหมายถึง การสร้างเซลล์ใหม่ และกระบวนการออกซิเดชัน (Oxidation) เป็นปฏิกิริยาที่มีการเติมออกซิเจนแล้วได้กําชကาร์บอนไดออกไซด์ น้ำ และพลังงาน

- 3) ขั้นรวมตะกอน (Flocculation Step) ขั้นที่สามเป็นการรวมตัวของตะกอนเร่งโดยจุลินทรีย์จะถูกกระบวนการสมกันอยู่ในถังเติมอากาศเมื่อมาชนกันก็จะจับรวมตัวกันเป็นตะกอนที่ใหญ่ขึ้นเรียกว่า ฟลอก (Floc) หรือตะกอนเร่ง (Activated Sludge) ตะกอนที่รวมตัวกันจะเป็นสารแขวนลอยและมีขนาดเล็กลงและหายไปจากน้ำเพื่อจะให้จุลินทรีย์ทำการย่อยในขั้นต่อไป

2.3.4.5 ปัจจัยสำคัญต่อการทำงานของระบบแอคติเวเต็ดสลัดเจอร์ มีดังนี้

- 1) อายุตะกอน (Sludge Age) เป็นระยะเวลาเฉลี่ยที่ตะกอนดูดซึ่งบริโภคหมุนเวียน อยู่ในถังเติมอากาศการควบคุมกระทำได้โดยการนำตะกอนส่วนเกินออกจากระบบ. ถังนี้จะจึงสามารถควบคุมให้มีค่าคงที่ได้ตามต้องการ โดยทั่วไปจะควบคุมให้มีระบบอายุตะกอนประมาณ 5-15 วัน

2) อัตราส่วนอาหารต่อจุลินทรีย์ (F/M ratio) เป็นอัตราส่วนของน้ำหนักสารอินทรีย์ในน้ำเสียที่เข้ามาระบบท่อน้ำหนักตองกอน จุลินทรีย์ โดยที่จะควบคุมให้ระบบมีค่า F/M ratio ระหว่าง 0.1-0.4 ต่อวัน คุณสมบัติของน้ำเสีย มักมีการเปลี่ยนแปลงอยู่ตลอดเวลาทั้งอัตราการไหลและความเข้มข้นของสารอินทรีย์ ที่เข้าสู่ระบบโดยใช้ F/M ratio ในการควบคุมระบบจะกระทำได้ยาก และมีความไม่แน่นอน ในทางปฏิบัติจึงนิยมใช้การควบคุมระบบโดยอายุตองกอน (สุรีรัตน์ และคณะ, 2551)

3) อาหารเสริม (Nutrient) อาหารเสริมของจุลินทรีย์ที่ต้องการ มีในโครงเเจน แอมโมเนีย และฟอสฟอรัส โดยจุลินทรีย์จะนำสารอาหารมาดำรงชีวิต ถ้าบริโภคสารอาหารในน้ำเสียมีอยู่น้อยเกินไปจุลินทรีย์จะเติบโตได้ไม่ดี (อภิชญา, 2548)

4) เวลาในการบำบัด (Retention time) ระยะเวลาในการบำบัดน้ำเสีย ผลต่อการบำบัดแบบแอคติเวเต็ดสลัดจ์ถ้ามีระยะเวลาในการบำบัดน้อยเกินไป จะทำให้ประสิทธิภาพในการบำบัดน้ำได้ไม่ดี จุลินทรีย์ไม่สามารถถ่ายสารอินทรีย์ในน้ำเสียได้หมด ถ้าเวลาในการบำบัดน้ำที่น้อยไป

5) ออกซิเจนละลายน้ำมีผลต่อการดำรงชีวิตของสิ่งมีชีวิต ในกระบวนการแอคติเวเต็ดสลัดจ์จะมีค่าออกซิเจนละลายน้ำอยู่ในช่วง 1-2 มิลลิกรัมต่อลิตร เมื่ออุณหภูมิในกระบวนการแอคติเวเต็ดสลัดจะสูงขึ้นจะทำให้ออกซิเจนที่ละลายน้ำลดลง

6) สารเป็นพิษ (Toxic Substance) ถ้ามีสารเป็นพิษปนเข้าสู่ในระบบ แอคติเวเต็ดสลัดจ์ จะทำให้จุลินทรีย์ที่อยู่ในระบบแอคติเวเต็ดสลัดจ์ตายหมด สารที่จะทำลายเซลล์จุลินทรีย์ ได้แก่ สารโลหะหนักต่างๆ

2.3.4.6 ปัญหาในการควบคุมระบบแอคติเวเต็ดสลัดจ์

1) การลอยตัวของตองกอนในถังตองกอน (Rising Sludge) ปัญหาการเกิดตองกอนลอยยกตัวในถังตองกอน เป็นปัญหาอีกอย่างหนึ่งที่ทำให้ระบบแอคติเวเต็ดสลัดจ์ล้มเหลว สาเหตุของการเกิดปัญหาดังกล่าว มาจากน้ำเสียที่มีปริมาณในโครงเเจนสูง โดยที่ในโครงเเจนที่อยู่ในรูบของแอมโมเนียในโครงเเจนถูกบำบัดด้วย (พนาลี, 2010) กระบวนการในตระพิเศษนี้ เกิดจากตองกอนที่อยู่ในกันถังตองกอนนานเกินไปจนทำให้เกิดปฏิกิริยาชีวเเคมีเปลี่ยนสารประกอบ ในโครงเเจนและในต่อตเป็นกําชีในโครงเเจน กําชีที่เกิดขึ้นจะอยู่ในตองกอนถ้ามีมากจะพาตองกอนลอยขึ้นสู่ผิวน้ำ

2) ตองกอนเบาไม่จมตัว (Bulking Sludge) ในระบบแอคติเวเต็ดสลัดจ์ที่มีประสิทธิภาพการบำบัดสูงตองกอนจุลินทรีย์ในถังเติมอากาศจะมีสีน้ำตาลแก่จับกันเป็นก้อนใหญ่และจมตัวได้อย่างรวดเร็ว ในกรณีที่เกิดตองกอนเบานี้จะเป็นตองกอนละเอียดจมตัวได้ช้า สาเหตุมีสองประการคือ อาจเกิดจากเชื้อรากที่เป็นเส้นใย หรืออาจเกิดจากมีน้ำอยู่ในตองกอนระหว่างเซลล์ของ

จุลินทรีย์มากทำให้ตากอน มีความหนาแน่นเกือบเท่ากับน้ำจึงจะมตัวได้ลำบาก (กรมควบคุมมลพิษ, 2546)

ในการบำบัดน้ำเสียในระบบแอกติเวเต็ดสลัดเจร์ ในการบำบัดน้ำจะมีคุณภาพในการบำบัดน้ำเสีย ที่มาจากการแหล่งต่างๆ ได้ด้วยการบำบัดน้ำเสียโดยระบบแอกติเวเต็ดสลัดเจร์ มีข้อเสียคือ ใช้พื้นที่ในการบำบัดมากต้องสร้างบ่อบำบัดขนาดใหญ่ คุณภาพน้ำที่ผ่านการบำบัดมีคุณภาพที่ไม่ค่อยดีนัก จึงต้องมีการนำเทคโนโลยีในการบำบัดน้ำเสียที่มีความทันสมัยมาบรรยุกต์ใช้กับระบบแอกติเวเต็ดสลัดเจร์ เพื่อให้น้ำที่ผ่านการบำบัดดีขึ้น และลดสารแขวนลอยที่ปะปนในน้ำที่ผ่านการบำบัด เทคโนโลยีที่นำมาบรรยุกต์ คือ เทคโนโลยีเมมเบรนจะกล่าวรายละเอียดในข้อต่อไป

2.4 เทคโนโลยีเมมเบรน (Membrane technology)

เทคโนโลยีเมมเบรน เป็นเทคโนโลยีขั้นสูงในการกรองที่นิยมใช้ในปัจจุบัน สามารถกรองสารแขวนลอยที่มีขนาดเล็กได้โดยอาศัยเยื่อของเมมเบรนที่มีขนาดเล็ก และมีบทบาทมากมายในด้านโรงงานอุตสาหกรรมในด้านต่างๆ เช่นอุตสาหกรรมการทำน้ำดื่ม อุตสาหกรรมการทำน้ำผลไม้ อุตสาหกรรมการทำไวน์ และการบำบัดน้ำเสีย เนื่องจากในปัจจุบันมีความต้องการลดปริมาณของเสีย หรือความต้องการนำน้ำที่ผ่านกระบวนการต่างๆ นำกลับมาใช้ใหม่ เพื่อให้น้ำนั้นมีคุณภาพที่ดีจึงมีการนำเทคโนโลยีเมมเบรน เทคโนโลยีนี้จะใช้พลังงานที่ต่ำ พื้นที่ที่ใช้ในการวางระบบน้อยจ่ายในการสร้างระบบ เพื่อจะได้น้ำที่มีคุณภาพที่ดีมาใช้ (ศักดิ์สิทธิ์, 2551)

2.4.1 กระบวนการเมมเบรน

เมมเบรน คือ แผ่นฟิล์มบางๆ ของสารอินทรีย์ หรือสารอินทรีย์ ที่ทำให้เกิดการแยกตัวอย่างละเอียดในอนุภาคในของเหลว ซึ่งในของเหลวจะมีทั้งที่เป็นก้าช และของเหลวเมมเบรนที่มีอยู่ทั่วไปมีหลากหลายชนิด ตามความสามารถในการกรองของเมมเบรน (ทุติยาภรณ์, 2548)

2.4.2 การกรองเมมเบรนโดยทั่วไปสามารถแบ่งออกเป็น 4 ชนิด ได้แก่

2.4.2.1 ไมโครฟิวเตอร์ชั้น (Microfiltration Membrane: MF)

เป็นเทคโนโลยีการกรองด้วยเมมเบรนที่มีขนาดรูพรุนขนาด 0.1 ไมครอน ทำให้สามารถกรองสารปนเปื้อนที่มีขนาดใหญ่กว่า 0.1-10 ไมครอน ได้แก่ คอลลอยด์ ทราม สารแขวนลอย และแบคทีเรียต่างๆ ได้เกือบหมด อีกทั้งยังสามารถกรองไวรัสได้บางส่วน Microfiltration Membrane (MF) นี้สามารถบรรยุกต์ใช้กับ การบำบัดน้ำทั้ง อุตสาหกรรมเครื่องดื่ม ได้แก่ ไวน์ น้ำผลไม้

2.4.2.2 อัลตราฟิวเตอร์ชั้น (Ultrafiltration Membrane: UF)

เป็นเทคโนโลยีการกรองด้วยเมมเบรนที่มีรูพรุนขนาด 0.01 ไมครอน ทำให้สามารถกรองสารปนเปื้อนที่มีขนาดใหญ่กว่า 0.01 ไมครอนได้ มีขนาดละเอียดมากกว่าการกรองด้วย

ระบบ Micro Filtration (MF) ทำให้สามารถกรอง ทรัพย์ สารเขวนโลย และแบคทีเรีย ไวรัส และสารอินทรีย์ได้ การประยุกต์ใช้ Ultrafiltration Membrane (UF) จะใช้กับอุตสาหกรรมน้ำ ผลไม้ และการบำบัดน้ำทิ้งจากอุตสาหกรรม

2.4.2.3 นาโนพิวเตอร์ชั่น (Nanofiltration Membrane: NF)

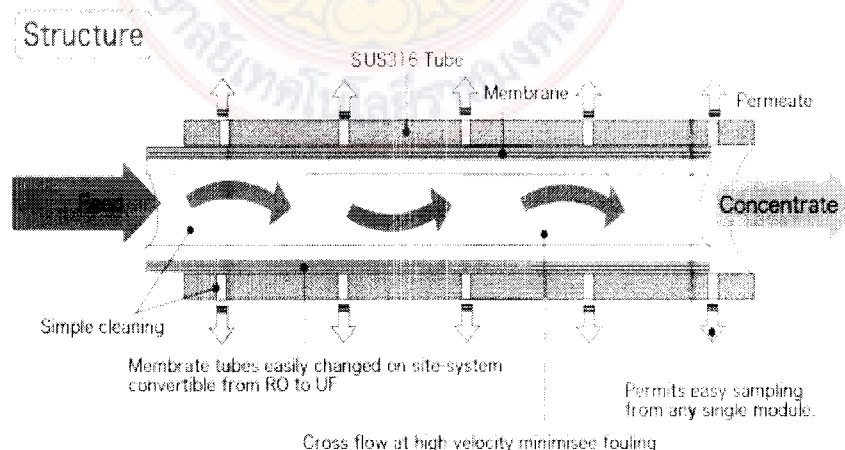
นาโนพิลเตอร์ชั่นจะอยู่ในช่วงระหว่างอัลตราพิลเตอร์ชั่นและօสโมซิสผ่านกลับ นาโนพิวเตอร์ชั่นเมมเบรนแต่เดิมถูกเรียกว่า օสโมซิสผ่านกลับแบบหลุมหรือ օสโมซิสผ่านกลับแบบความดันต่ำ นาโนพิวเตอร์ชั่นได้พัฒนาขึ้นเพื่อแยกสารในช่วงมวลโมเลกุลต่ำกว่า 300 การแยกสารต่ำกว่า օสโมซิสผ่านกลับ สามารถแยกแบคทีเรีย ไวรัส และเกลือได้ การประยุกต์ใช้ Nanofiltration Membrane (NF) ส่วนมากใช้ในการบำบัดน้ำทิ้งจากอุตสาหกรรม และการแยกเกลือออกจากน้ำทะเล

2.4.2.4 օสโมซิสผ่านกลับ (Reverse Osmosis Membrane: RO)

เป็นเทคโนโลยีการกรองด้วยเมมเบรนที่มีรูพรุนขนาด 0.001 ไมครอน ทำให้สามารถกรองสารปนเปื้อนที่มีขนาดใหญ่กว่า 0.001 ไมครอน ระบบการกรองด้วย Reverse Osmosis (RO) สามารถกรอง แบคทีเรีย ไวรัส และสารละลายน้ำได้แก่ ปรอท ตะกั่ว โลหะหนักชนิดต่างๆ ที่เจือปนอยู่ในน้ำ การประยุกต์ใช้ในการแยกเกลือจากน้ำทะเล อุตสาหกรรมนม และการบำบัดน้ำทิ้งจากโรงงานอุตสาหกรรม

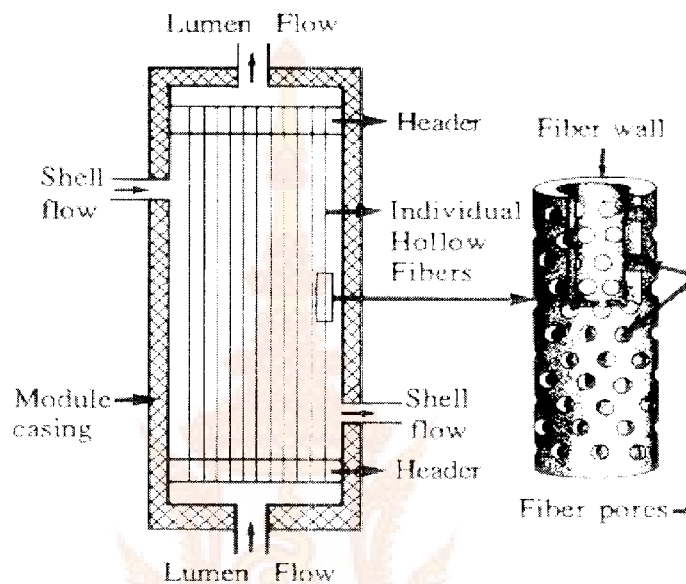
2.4.3 ประเภทของเมมเบรนสามารถแบ่งออกเป็น 4 ประเภทคือ

2.4.3.1 เมมเบรนชนิดท่อ (Tubular Module) เป็นวิธีการที่ม้วนเมมเบรนให้เป็นหลอดหรือท่อขนาดเล็ก โดยท่อจะทำด้วยไฟเบอร์กลาสหรือสแตนเลส เมมเบรนชนิดนี้มีข้อดีคือสามารถทำความสะอาดง่าย (รูปที่ 2)



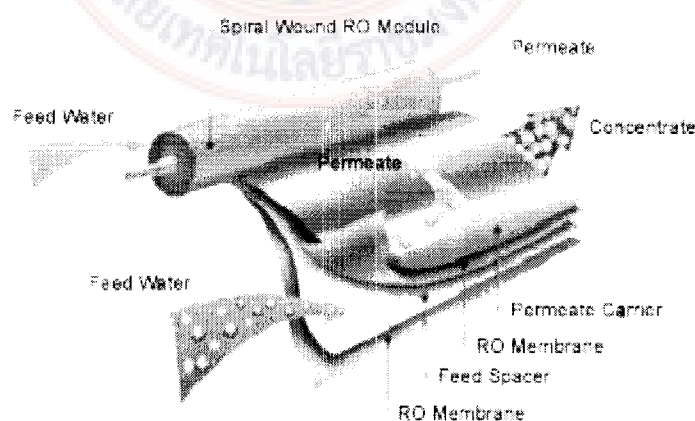
รูปที่ 2 เมมเบรนชนิดท่อ (ที่มา: www.tske.co.jp)

2.4.3.2 เมมเบรนแบบเส้นไอกลวง (Hollow Fiber Module) เป็นการนำเมมเบรนแบบเส้นไอกลวงมาทำการมัดรวมกัน โดยใช้ปลายของเมมเบรนยึดติดกับด้านใดด้านหนึ่ง เมมเบรนชนิดเส้นไอกลวงนี้เหมาะสมสำหรับบำบัดน้ำที่มีสิ่งเสื่อมมาก (รูปที่ 3)



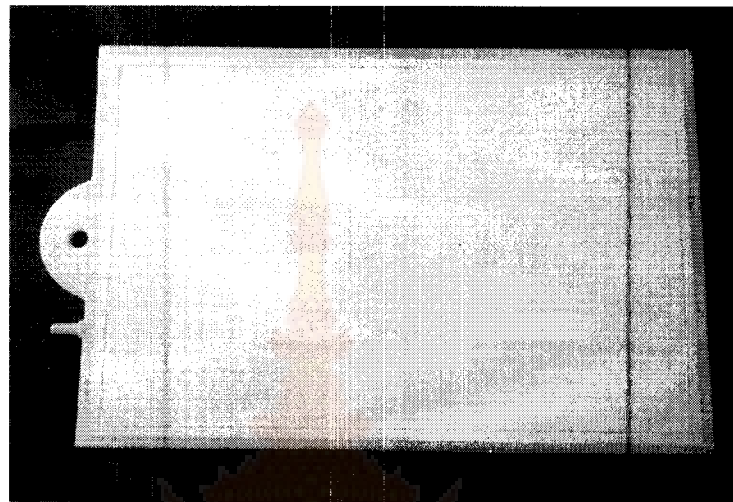
รูปที่ 3 เมมเบรนแบบเส้นไอกลวง (ที่มา: www.rpi.edu)

2.4.3.3 เมมเบรนแบบม้วน (Spiral wound Module) ไม่คลุกเคละน้ำซึ่งจะทำให้เมมเบรนสองแผ่นมาวางช้อนกัน โดยมีวัสดุที่มีรูพรุนวางตรงกลางระหว่างเมมเบรนทั้งสอง แล้วม้วนแผ่นเมมเบรนรอบท่อที่มีการเจาะรู เพื่อบังคับให้น้ำไหลผ่านตามรูของท่อ (รูปที่ 4)



รูปที่ 4 เมมเบรนแบบม้วน (ที่มา: www.aquaaccess.com/services.html)

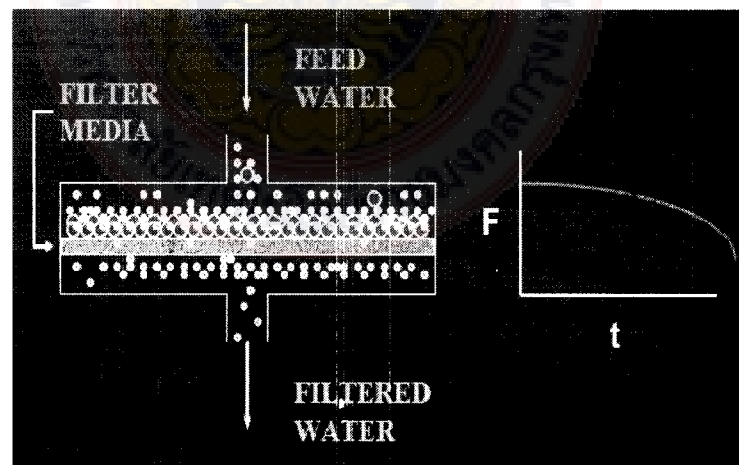
2.4.3.4 เมมเบรนแบบแผ่น (Plate and fame Module) เป็นโมดูลที่มีแผ่นเมมเบรนวางต่อกัน ในการจัดเมมเบรนจะมีลักษณะคล้าย filter press (รูปที่ 5)



รูปที่ 5 เมมเบรนแบบแผ่น

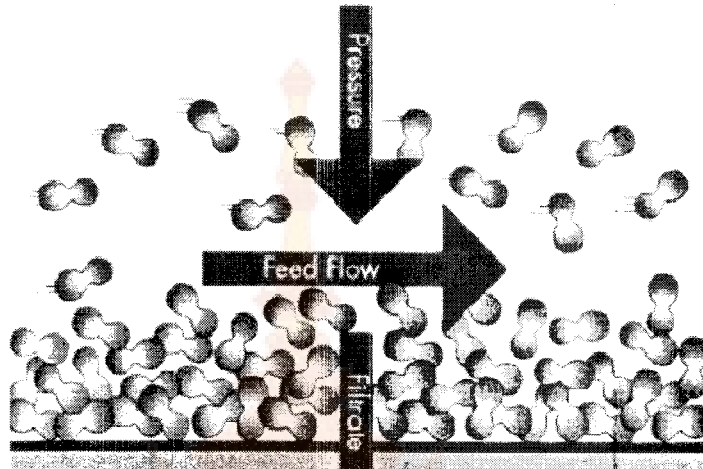
2.4.4 ชนิดการกรองของเมมเบรน สามารถแบ่งได้ 2 ชนิด คือ

2.4.4.1 การกรองแบบไฟลทางเดียว (Dead end filtration) การกรองแบบไฟลทางเดียว จะเกิดการอุดตันบนพื้นผิวของเมมเบรนได้ง่ายขึ้น ส่วนมากการกรองแบบนี้จะใช้เป็นแบบ (รูปที่ 6)



รูปที่ 6 การกรองแบบไฟลทางเดียว (Dead end filtration) (ที่มา: Pornsak, 2001)

2.4.4.2 การกรองแบบไอลตัดขวาง (Cross-Flow Filtration) การอุดตันบันทีที่ผิดของเมมเบรนจะอุดตันข้ากว่า การกรองแบบไอลทางเดียว รักษาระดับค่าฟลักซ์การกรองได้ดี มีประสิทธิภาพในการควบคุมได้ดีกว่า การกรองแบบไอลทางเดียว (รูปที่ 7)



รูปที่ 7 การกรองแบบไอลตัดขวาง (ที่มา: คณะวิศวกรรมศาสตร์ มหาวิทยาลัยอุบลราชธานี)

2.4.5 คุณสมบัติของระบบเมมเบรน

เมมเบรนจะมีคุณสมบัติในการกำจัดสารแขวนลอยและเชื้อโรคไม่ให้หลุดไปกันน้ำที่กรองได้ การใช้ระบบเมมเบรนเป็นระบบที่มีการแยกอย่างสมบูรณ์ มีการย่อยสลายทางชีวภาพ ระหว่างการใช้เมมเบรนในการกรอง ความเข้มข้นของจุลินทรีย์จะสูงกว่าระบบบำบัดน้ำเสียแบบเดิม เมื่อเทียบกับระบบที่ใช้เมมเบรน คุณภาพน้ำหลังผ่านการบำบัดด้วยระบบเมมเบรนจะมีความสะอาดสูง

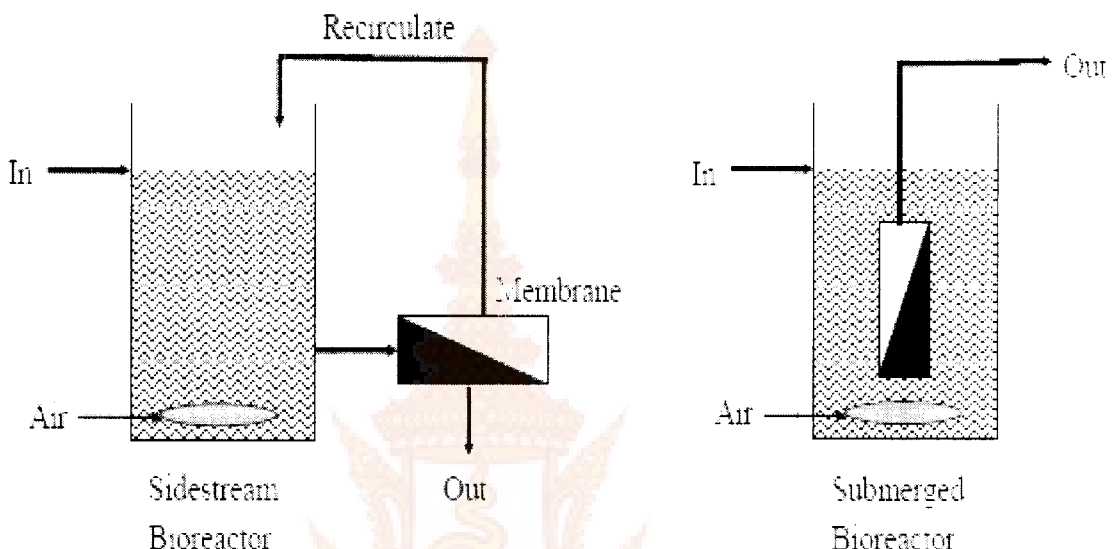
2.4.6 ถังปฏิกรณ์ชีวภาพเมมเบรนในการบำบัดน้ำเสีย

ถังปฏิกรณ์ชีวภาพเมมเบรนเป็นระบบบำบัดน้ำเสีย ที่ปรับเปลี่ยนมาจากระบบแอลติเวเต็ดสลัดจ์โดยอาศัยการทำงานร่วมกันของการบำบัดทางชีวภาพ และการบำบัดทางชีวภาพ (ศุภลักษณ์, 2552) โดยใช้เมมเบรนเป็นตัวกลางในการกรอง ระหว่างของเหลวจึงเกิดกระบวนการแยกสารเมมเบรนมีรูพรุนที่มีขนาดเล็กระดับไมโครพิวเตชัน ทำให้สารบางชนิดผ่านได้

2.4.6.1 หลักการทำงานของถังปฏิกรณ์ชีวภาพเมมเบรน

หลักการทำงานโดยมีสารป้อน (Feed) เข้าด้านหนึ่งของเมมเบรน ด้านข้าออกที่ผ่านเมมเบรน เรียกว่า เพอเมอท (Permeate) ส่วนของสารป้อนที่ไม่สามารถผ่านเมมเบรนเรียกว่า รีเทนเทท (Retentate) ภายใต้การเดินระบบด้วยแรงดันขึ้น (Pressure driving force) ที่ทำให้เกิดการถ่ายเทมวล (จันทร์ทรงกลด, 2550)

2.4.6.2 รูปแบบของถังปฏิกรณ์ชีวภาพเมมเบรน มีอยู่ 2 แบบ ได้แก่ เมมเบรนอยู่นอกถังปฏิกรณ์ (External membrane bioreactor, EMBR) และเมมเบรนที่จมตัวในถังปฏิกรณ์ (Submerge membrane bioreactor, SMBR) ดังรูปที่ 8 (ศุภลักษณ์, 2552)



รูปที่ 8 รูปซ้าย เมมเบรนที่อยู่นอกถังปฏิกรณ์ รูปขวา เมมเบรนที่อยู่ในถังปฏิกรณ์ (ที่มา: Paul T. Bolger และคณะ, 1938)

ในการแยกสารในระดับอัลตราฟิวเตอร์ชั้นและไมโครฟิวเตอร์ชั้น จะประเมินสมรรถนะของเมมเบรนจากค่าฟลักซ์ในการกรองของเมมเบรน สมการค่าฟลักซ์ของเมมเบรน คือ

$$J = \Delta P / \mu R_t \quad (2)$$

J = ค่าฟลักซ์ของเมมเบรน(หน่วย $m^3/m^2.s$ หรือ $L/m^2.h$)

ΔP = แรงขับดัน (หน่วย Pa)

μ = ความหนืด (หน่วย Pa.s)

R_t = ค่าความต้านทานรวม (หน่วย m^{-1})

สมการความต้านทานรวม จะเป็นผลบวกของความต้านทานย่อย มีความต้านทานของเมมเบรน (R_m) ค่าความต้านทานการเกิดฟาวลิ่งที่ผ่านกลับได้ (R_{re}) และความต้านทานการเกิดฟาวลิ่งที่ผ่านกลับไม่ได้ (R_{irr}) (ศุภลักษณ์, 2552)

$$R_t = R_m + R_{re} + R_{irr} \quad (3)$$

R_t = ความต้านทานรวม (หน่วย m^{-1})

R_m = ความต้านทานของเมมเบรน (หน่วย m^{-1})

R_{rf} = ค่าความต้านทานการเกิดฟาวลิ่งที่ผันกลับได้ (หน่วย m^{-1})

R_{rr} = ความต้านทานการเกิดฟาวลิ่งที่ผันกลับไม่ได้ (หน่วย m^{-1})

2.4.7 ปรากฏการณ์อุดตัน (Fouling phenomena)

เป็นปรากฏการณ์ปฏิกิริยาทางเคมีซึ่วภาพระหว่างโน้แลกุลกับอนุภาคของเหลว ขณะทำการกรองด้วยเมมเบรน เกิดจากสารละลายหรือสารแขวนลอยสะสมบนพื้นผิวของเมมเบรน (จันทร์ ทรงกลด, 2550) ทำให้ประสิทธิภาพในการกรองของเมมเบรนลดลง ระยะเวลาในการใช้เมมเบรน ต่ำลง เนื่องจากเกิดการสะสมของสารแขวนลอยบนพื้นผิวหรือรูพรุนของเมมเบรน ทำให้ฟลักช์ไฮล์ ผ่านเมมเบรนลดลง สามารถส่งผลต่ออายุการใช้งานของเมมเบรน โดยฟลักช์ที่ลดลงจะขึ้นอยู่กับปัจจัยต่าง เช่น อุณหภูมิ ความดัน ความเข้มข้น และความเร็วของสารที่ทำการป้อน(ฐานี, 2548) ปรากฏการณ์ อุดตันแบ่งได้สองแบบ คือ อุดตันแบบพื้นสภาพได้ (Reversible fouling) และ อุดตันที่พื้นสภาพไม่ได้ (Irreversible fouling) (ศุภลักษณ์, 2552)

2.4.7.1 การอุดตันแบบพื้นสภาพได้ (Reversible fouling)

เกิดจากการสะสมอุดตันของตะกอนแข็งที่ผิวของเมมเบรน การอุดตันนี้เป็นชนิดที่ใช้วิธีการทางไฮโดรไดนามิกส์ โดยการใช้ความ basınบวนการใช้แรงเฉือนผิวน้ำ และการล้างย้อนเมมเบรน (จันทร์ ทรงกลด, 2550)

2.4.7.2 การอุดตันที่พื้นสภาพไม่ได้ (Irreversible fouling)

เป็นชนิดของการอุดตันที่ต้องพื้นสภาพด้วยสารเคมี เนื่องจากจุลินทรีย์ในน้ำเสียมีการปล่อยสารประกอบออกไซล์ (Extracellular polymeric substance; EPS) โดยจะมีลักษณะเป็นเยื่อเมือกเกาะบริเวณผิวของเมมเบรน หรือดูดติดบนผิวของเมมเบรน ทำให้รูของเมมเบรนมีขนาดที่เล็กลง กีดขวางทางไฟล์ และล้างทำความสะอาดได้ยากปรากฏการณ์ดังกล่าว เรียกว่า ไบโอฟาวลิ่ง (Biofouling) ปรากฏการณ์นี้จะทำให้ประสิทธิภาพในการกรองของเมมเบรนลดลงสิ้นเปลืองพลังงานในการเดินระบบ และล้างย้อนเมมเบรน (ศุภลักษณ์, 2552)

2.4.8 สาเหตุของการเกิดการอุดตัน เกิดจากการย่อยั่งยืนของจุลินทรีย์ การแตกตัวของขนาด พลอกันเนื่องจากระบบที่มีอากาศ การเกิดในสภาพทางกายภาพ-เคมี ทำให้เกิดการตกลงกลับบนพื้นผิวของเมมเบรน (จันทร์ ทรงกลด, 2550)

2.4.9. การอุดตันสามารถแบ่งได้เป็น 2 ชนิดคือ การอุดตันภายใน จากการที่มีการสะสมของวัสดุอินทรีย์ในรูโครงสร้างของเมมเบรน และการอุดตันภายนอก เกิดจากการสะสมของชั้นเค็กบนผิวน้ำของเมมเบรน (ธนาวุฒิ, 2546)

2.4.10 ปัจจัยที่ส่งผลต่อการอุดตัน

ปัจจัยที่ส่งผลต่อการอุดตันได้แก่ คุณสมบัติของเมมเบรน ขนาดของสารแขวนลอย ในน้ำที่จะทำการบำบัด ลักษณะของน้ำที่ป้อนเข้าเมมเบรน และความเข้มข้นของสารโพลิเมอร์ชีวภาพ ปัจจัยในการดำเนินการ

2.4.10.1 คุณสมบัติของน้ำ (Hydrophilicity)

เกิดจากการที่เมมเบรนสัมผัสกับน้ำ และแสดงการตอบสนองของเมเลกุลน้ำในลักษณะชอบโดยการสร้างพันธะกับเมเลกุลน้ำ และไม่ชอบน้ำโดยการหลักเมเลกุลน้ำให้ห่างออกไป คุณสมบัติการชอบน้ำจะส่งผลต่อการอุดตันตรงรูของเมมเบรน (จันทร์ทรงกลด, 2550)

2.4.10.2 คุณสมบัติของสารป้อน

การอุดตันของเมมเบรนเกิดจากการกระทำระหว่างของเมมเบรนกับสารป้อน คุณสมบัติของสารป้อนจะเกิดจากองค์ประกอบต่างๆ เช่น โปรตีน จะส่งผลในการอุดตันหรือเปลี่ยนแปลงกระทำต่อเมมเบรนส่งผลทำให้ฟลักซ์ลดลง เกลือ จะเกิดเป็นตะกอนแขวนลอยทำให้เกิดความต้านทานการไหลของน้ำเพomoริเอทเพิ่มขึ้น (รูปนี้, 2548) อัตราการไหลหรือลักษณะของการไหลจะส่งผลต่อการเพิ่มขึ้นของฟลักซ์ และลดการเกิดการอุดตันของเมมเบรน

2.4.10.3 ขนาดของรูพรุนของเมมเบรน (Pore size)

ขนาดของรูพรุนมีผลต่อการอุดตันของเมมเบรน เนื่องจากขนาดรูพรุนที่ใหญ่การอุดตันจะเกิดได้น้อยกว่า รูพรุนที่มีขนาดเล็ก ขนาดของรูพรุนจะเป็นหนึ่งในปัจจัยที่ส่งผลต่อการอุดตันของเมมเบรน ทำให้ประสิทธิภาพในการกรองด้วยเมมเบรนลดลง

2.4.11 การพื้นสภาพเมมเบรน

การล้างเมมเบรน (Membrane cleaning) เป็นการล้างด้วยสารเคมีที่เหมาะสมที่ให้ฟลักซ์ของเมมเบรนกลับมาเท่าเดิม สารเคมีจะเป็นตัวช่วยในการเปลี่ยนแปลงทางกายภาพ ทำให้สารที่อุดตันหลุดออกมานอก (จันทร์ทรงกลด, 2550) โดยทั่วไปจะใช้กรดซีตริกและโซเดียมไฮโป-คลอไรด์ในการล้างเมมเบรน เพราะโซเดียมไฮโปคลอไรด์มีผลยับยั้งการเปลี่ยนแปลงของขนาด ก้อนของตะกอนจุลินทรีย์ (ศุภลักษณ์, 2552) การล้างเมมเบรนเพื่อที่จะลดการอุดตันสามารถ ทำให้ประสิทธิภาพในการกรองที่ดี การใช้เมมเบรนในการบำบัดน้ำเสีย น้ำที่ผ่านการบำบัดจะมีประสิทธิภาพที่ดี แต่ในการใช้เมมเบรนต่อเนื่องเป็นเวลานานจะทำให้เมมเบรนเกิดการอุดตันจากของแข็ง สารแขวนลอยต่างๆ ที่มีอยู่ในน้ำจึงทำให้ประสิทธิภาพในการกรองลดลง ทำให้ต้องเสียเวลาในการล้างย้อนเมมเบรน เพื่อลดปัญหาในการอุดตันของเมมเบรน จึงมีการประยุกต์นำอนุภาคนาโนซึ่งเป็นเทคโนโลยีสมัยใหม่เข้ามาใช้ร่วมกับระบบบำบัดน้ำเสียแบบถังปฏิกรณ์ชีวภาพเมมเบรน เพื่อจะให้ออนุภาคนาโนมาลดการอุดตันของเมมเบรน ทำให้ประสิทธิภาพในการกรองดีขึ้น และลดเวลาการล้างย้อนเมมเบรน

2.5 นาโนไฟเบอร์ (Nano fibers)

นาโนไฟเบอร์ ประกอบด้วยคำสองคำคือ นาโน และ ไฟเบอร์ เมื่อกล่าวถึง คำว่า “ไฟเบอร์” ในทางพฤษศาสตร์ จะหมายถึง ผนังเซลล์พืชที่ให้ความแข็งแรงและเสริมสร้างความแข็งแกร่งในเนื้อเยื่อพืช ทางด้านกายวิภาคศาสตร์ ไฟเบอร์ คือเส้นใยที่เป็นส่วนประกอบของ extracellular matrix ในเนื้อเยื่อเกี้ยวพัน หรือเซลล์ที่มีรูปร่างยาว เช่น เซลล์กล้ามเนื้อ หรือเซลล์ประสาท ในด้านอุตสาหกรรมสิ่งทอ ไฟเบอร์ คือเส้นใยจากธรรมชาติหรือเส้นใยสังเคราะห์ เช่น ฝ้ายและไนлонในด้านชีวิตพยา ไฟเบอร์ คือส่วนของพืชที่มีนุ่มยื่นอยู่ไม่ได้ เช่น สารกลุ่มเซลลูโลส โดยสรุปแล้วไฟเบอร์ หมายถึง ของแข็งที่มีรูปร่างเรียวและมีความยาว ส่วนคำว่า “นาโน” เป็นคำนำหน้าที่มาจากการภาษากรีก หมายถึง 10-9 ในหน่วยของ ความยาว ความกว้าง เวลา น้ำหนัก ประจุ เป็นต้น ซึ่งในที่นี้ นาโน ไฟเบอร์ หมายถึง เส้นใยที่มีขนาดเส้นผ่าศูนย์กลางอยู่ในระดับนาโนเมตร โดยทั่วไป nano fiber จะกำหนดให้มีเส้นผ่าศูนย์กลาง ไม่เกิน 100 นาโนเมตร โดยทั่วไปจะผลิตขึ้นจากพอลิเมอร์ชนิดต่างๆ



รูปที่ 9 แสดงลักษณะของนาโนไฟเบอร์(ซ้าย) และนาโนไฟเบอร์เมื่อส่องผ่านกล้องจุลทรรศน์ อิเล็กตรอน (ขวา)3

คุณสมบัติที่ได้เด่นของ นาโนไฟเบอร์ได้แก่นี้
มีพื้นที่ผิวต่อปูริมาตราสูง
มีรูขนาดเล็กและมีความพรุนสูง
มีค่าแรงต้านทานแรงดึงตามยาวสูง ตัวอย่างเช่น คาร์บอนนาโนไฟเบอร์

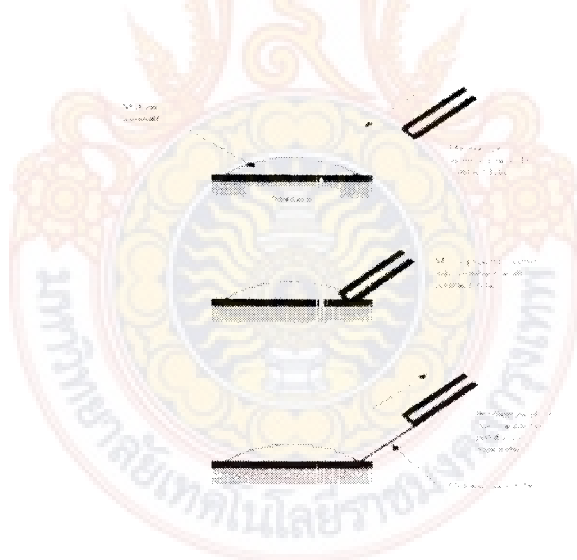
ตัวยลักษณะและคุณสมบัติทั้งกล่าวจะมีการนำนาโนไฟเบอร์ไปประยุกต์ใช้ในด้านต่างๆ มากมาย เช่น เป็นวัสดุในการกรองสาร วัสดุวิเคราะห์เนื้อเยื่อ วัสดุควบคุมการนำเสนอส่งยาและ

เครื่องสำอาง สิ่งตกแต่งแพล วัสดุเสริมความแข็งแรง ตัวนำไฟฟ้าในอุปกรณ์อิเล็กทรอนิก ใช้เป็นส่วนประกอบของเสื้อผ้า ใช้ควบคุมการปลดปล่อยยาฆ่าแมลงในเกษตรกรรม เป็นต้น

2.5.1 กระบวนการผลิต

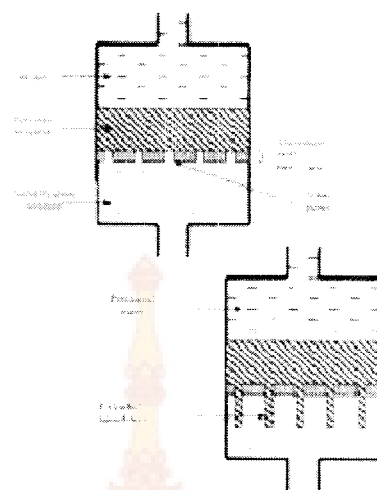
การผลิตนาโนไฟเบอร์มีด้วยกันหลายกระบวนการ ขึ้นอยู่กับลักษณะการนำไปใช้ประโยชน์ สามารถแบ่งกระบวนการผลิตนาโนไฟเบอร์ได้ดังนี้

Drawing เป็นกระบวนการผลิตนาโนไฟเบอร์ที่ค้นพบโดย Ondarcuhu and Joachim ในปี 1998 วิธีการคือ หยดสารละลายของ sodium citrate ใน chroloauric acid ในขนาดไมโครเมตรเข้าไปในโคลบีเปต จุ่มลงในหยดของสารไกล์กับ contact line จากนั้นดึงไมโครบีเพตออกอย่างรวดเร็วโดยใช้ความเร็วประมาณ $1 \times 10^{-4} \text{ m s}^{-1}$ นาโนไฟเบอร์จะถูกดึงออกมา พร้อมๆ กับการระเหยใบของตัวทำละลาย เทคนิคนี้ จะต้องมีการทำชาหละลายครั้งจึงจะได้นาโนไฟเบอร์ในปริมาณที่มากพอต่อการนำไปใช้ ระบบจึงไม่สามารถทำได้อย่างต่อเนื่อง ในกระบวนการ drawing จะต้องใช้วัตถุที่มี viscoelastic เพียงพอต่อการเปลี่ยนรูปร่างในระหว่างการดึง โดยเทคนิคนี้มักจะเรียกว่า dry spinning at a molecular level



รูปที่ 10 แสดง Drawing

Template Synthesis เป็นกระบวนการผลิตนาโนไฟเบอร์ที่ใช้แม่พิมพ์ที่ประกอบด้วยรูที่มีขนาดในระดับนาโนเมตร Feng และคณะ ปี 2002 ใช้ Polyacrylonitrile ละลายใน Dimethylformamide นำมาผ่านแม่พิมพ์ สันผ่าศูนย์กลางระดับนาโนเมตร ภายใต้แรงดันน้ำสารละลายพอลิเมอร์จะออกมานเป็นเส้นใยขนาดนาโนเมตร เข้าสู่ solidifying solution กระบวนการนี้ลักษณะเส้นใยที่ได้จะเป็นรูบท่อหรือหลอด ที่มีลักษณะไม่ต่อเนื่อง จึงเป็นวิธีที่ไม่ได้รับความนิยม

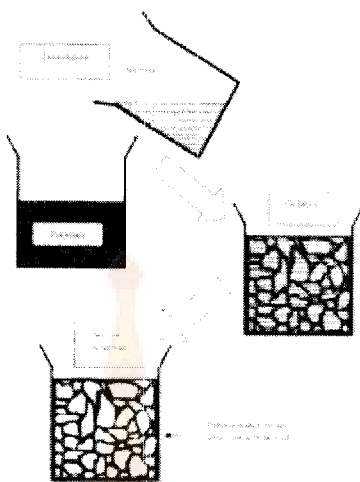


รูปที่ 11 แสดง Template synthesis

Phase separation ในกระบวนการนี้ มีหลักการคือพอลิเมอร์จะละลายในตัวทำละลายที่ละลายพอลิเมอร์ได้ที่ก่อน และจึงเปลี่ยนตัวทำละลายที่พอลิเมอร์นั้นละลายได้ไม่ดีลงไปทำให้เกิดเม็ด nano-particle เข้า

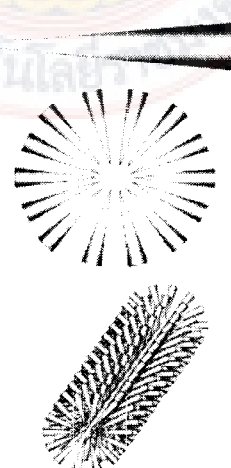
Ma and Zhang ค.ศ.1999 ได้ทำการศึกษา แบ่งกระบวนการออกเป็น

1. Polymer dissolution ละลาย Poly(L-lactic)acid PLLA ใน THF (tetrahydrofuran) คนที่ 60 °C 2 ชั่วโมง
2. Gelation เท 2 ml ของสารละลาย 50°C ใน Teflon vial ย้ายไปเก็บที่อุณหภูมิ -18°C to 45°C ทำให้เกิดการฟอร์มเจล
3. Solvent extraction นำ vial ที่มี เ洁จุ่มลงในน้ำกลัน ทำให้เกิดการแยกวัสดุภาค เป็นเวลา 2 วัน
4. Freezing นำเจลออกจากน้ำ กดลงบนกระดาษกรองให้แห้ง นำไป ไว้ที่อุณหภูมิ -18°C เป็นเวลา 2 ชั่วโมง
5. Freezing dry นำเจลไป freeze-dried ที่ -55°C ใน vacuum



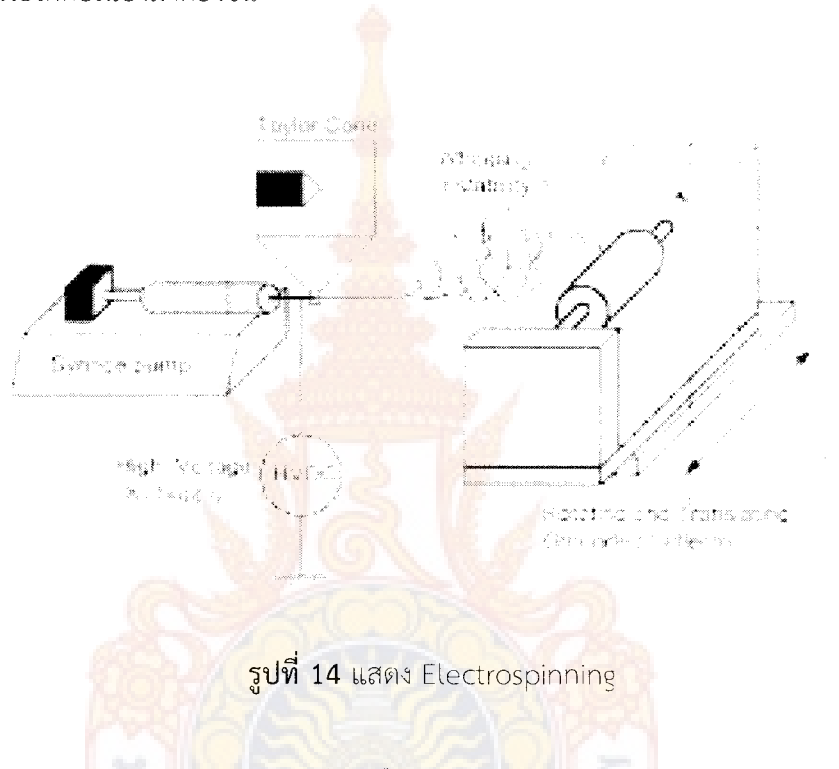
รูปที่ 12 แสดง Phase separation

Self-Assembly กระบวนการผลิตนาโนไฟเบอร์ที่เกิดขึ้นได้เองจากสภาวะที่เหมาะสม โดยใช้โมเลกุลขนาดเล็ก เป็นพื้นฐานในการสร้างนาโนไฟเบอร์ เมื่อมีโมเลกุลมากขึ้นทำให้เกิดแรงระหว่างกัน เกิดการจัดเรียงตัวดังรูปที่ 5 Zhang ซึ่งเป็นหนึ่งในทิมวิจัยได้ศึกษาเกี่ยวกับประโยชน์ต่าง ๆ ของ สาร เปปไทด์ที่สามารถประกอบตัวเองได้ (Peptide self assembling) จนกระทั่งในปี 1991 ได้ค้นพบ ด้วยความบังเอิญว่า เมื่อสายเปปไทด์อยู่ในสารละลายน้ำเกลือ จะเกิดการจับกันเป็นโครงร่าง โดยมี อัตราส่วนของโครงร่าง คือ เป็นน้ำ 99 % และ 1% เป็นสายเปปไทด์ สายเปปไทด์นี้ประกอบด้วย กรดอะมิโน 3 ชนิดคือ อาร์เจนิน (Argenene) อะลานิน (Alanine) และ กรดกลูตامิค (Glutamic acid) 16 โมเลกุลเรียงซ้ำไปมาและมีโครงร่างแบบ β -sheet



รูปที่ 13 แสดง Self assembly

Electrospinning เป็นกระบวนการที่อาชัยแรงทางไฟฟ้าที่เกิดจากศักย์ไฟฟ้ากำลังสูง ได้ประกอบด้วยส่วนประกอบสำคัญ 3 ส่วนคือ แหล่งกำเนิดศักย์ไฟฟ้ากำลังสูง (high voltage power supply) หลอดบรรจุสารละลายที่ติดเข็มโลหะ (syringe with needle) และวัสดุรองรับที่เป็นโลหะ (metal collector) เป็นระบบที่มีความซับซ้อนน้อย ต้นทุนต่ำ สามารถควบคุมขนาดและปริมาณการกัดเส้นได้ต่อเนื่องมากยิ่งขึ้น



รูปที่ 14 แสดง Electrospinning

อิเล็กโตรสปินนิ่งเป็นกระบวนการที่เกิดขึ้นมา 60 ปีแล้วแต่เพิ่งได้รับความสนใจศึกษา กันอย่างจริงจังเมื่อไม่นานมานี้ 10 ปีที่ผ่านมา ในปี ค.ศ. 1934 Formhals ได้จัดสิทธิบัตรกระบวนการและเครื่องมือที่ใช้แรงทางไฟฟ้าในการสังเคราะห์เส้นใย ในปี ค.ศ. 1969 Taylor ได้พิมพ์ผลงานที่อธิบายถึงปรากฏการณ์ที่เกิดขึ้นในขณะที่สารละลายพอลิเมอร์พูดออกจากเข็มโลหะที่ให้ศักย์ไฟฟ้ากำลังสูง ว่า มีการเปลี่ยนรูปร่างของสารละลายจากทรงกลมเป็นลักษณะของสามเหลี่ยมคล้ายโค้ง เมื่อแรงสนานไฟฟ้ามีค่าเท่ากับแรงตึงผิวของสารละลายพอลิเมอร์ ซึ่งต่อมา มีการเรียกลักษณะนี้ว่า Taylor cone โดยการเปลี่ยนแปลงรูปร่างเป็น Taylor cone จะขึ้นกับความหนืดของสารละลายพอลิเมอร์ ปี ค.ศ. 1971 Baumgarten เริ่มทำการศึกษาผลของการเปลี่ยนแปลงสารละลายพอลิเมอร์ และพารามิเตอร์ในกระบวนการ ทำให้รู้ว่าพารามิเตอร์ต่างๆ มีผลต่อสัณฐานวิทยาของ nano fiber ที่ได้ ปี ค.ศ. 1995 Reneker ได้ทำการศึกษาอย่างเป็นระบบมากขึ้น ทำให้อิเล็กโตรสปินนิ่งได้รับความสนใจจากนักวิจัยต่างๆ ทั่วโลก เช่นได้จำกัดจำนวนผลงานที่พิมพ์ในวารสารวิชาการนานาชาติเรื่องต่างๆ ที่เกี่ยวกับอิเล็กโตรสปินนิ่งเพิ่มจากประมาณ ปีละไม่ถึง 10 เรื่องตั้งแต่ปี ค.ศ. 2000 เป็น 40 เรื่องในปี ค.ศ. 2001 และมีแนวโน้มเพิ่มขึ้นเรื่อยๆ

การทำงานของอิเล็กโตรสเป็นนิ่ง แสดงดังรูปที่ 2 ประกอบด้วยส่วนประกอบสำคัญ 3 ส่วน คือแหล่งกำเนิดศักย์ไฟฟ้ากำลังสูง (High voltage DC supply) หลอดบรรจุสารละลายที่ติดเชื้มโลหะ (syringe with metal needle) และวัสดุรองรับ (collector) การทำงานของอิเล็กโตรสเป็นนิ่งเริ่มจากการให้ศักย์ไฟฟ้าแรงสูงแก่ สารละลายพอลิเมอร์หรือพอลิเมอร์ที่หลอมเหลว ผ่านเข็มโลหะที่มีเส้นผ่าศูนย์กลางขนาดเล็ก ทำให้แรงผลักทางไฟฟ้าในสารละลายพอลิเมอร์เพิ่มขึ้น เมื่อศักย์ไฟฟ้าเพิ่มขึ้น จากการดึงสารละลายรูปทรงกลมนับลายเข้มจะเริ่มเปลี่ยนรูปร่างเป็นรูปโคนเมื่อแรงผลักทางไฟฟ้ามีค่าเท่ากับแรงดึงผิวของสารละลายพอลิเมอร์ และเมื่อแรงผลักทางไฟฟ้ามีค่ามากกว่าแรงดึงผิวของสารละลายพอลิเมอร์ สารละลายจะพุ่งออกจาปลายของโคนไปยัง วัสดุรองรับซึ่งต่อเข้ากับศักย์ไฟฟ้าที่มีค่าต่ำ ทำให้เกิดเป็นสนามไฟฟาระหว่างปลายเข็มกับวัสดุรองรับ สารละลายจะพุ่งบัน แนวตรงในระยะหนึ่ง และจะผ่านเข้าไปในส่วนของ whipping instability ซึ่งจะเกิดการระเหยของตัวทำละลาย เส้นใยของแข็งเส้นผ่าศูนย์กลางขนาดเล็กจะตกซ้อนทับกันบน วัสดุรองรับในลักษณะที่ไม่ได้ทอ (Non-woven) ในส่วนของแข็งดีที่บรรจุสารละลายพอลิเมอร์ จะต้องมีการควบคุมให้มีอัตราการไหลที่สม่ำเสมอโดยวิธีต่างๆ เช่น แรงโน้มถ่วงของโลก (gravitational force) ปั๊ม (syringe pump) แรงดันก๊าซ (pressure gas) เป็นต้น ในส่วนของวัสดุรองรับก็มีหลายชนิด เช่น เพลท (stationary plate) ดรัม (rotating drum) ใช้สารละลายเช่น น้ำ เป็นต้น จากกระบวนการอิเล็กโตรสเป็นนิ่งจะเห็นได้วามีขั้นตอนต่างๆ ซึ่งแต่ละขั้นตอนก็มีพารามิเตอร์ที่เกี่ยวข้อง ซึ่งส่งผลต่อลักษณะสัณฐานวิทยาและคุณสมบัติของนาโนไฟเบอร์ที่ได้

จากการกระบวนการอิเล็กโตรสเป็นนิ่ง พบร่วมพารามิเตอร์ที่เกี่ยวข้อง ดังนี้

1. ศักย์ไฟฟ้า จากการศึกษาของ Deitzel et al.2001 ใช้ Polyethylene oxide/water การศึกษาพบว่าเมื่อเพิ่มศักย์ไฟฟ้าให้มีค่าสูงขึ้น จะทำให้เส้นใยมีขนาดเส้นผ่าศูนย์กลางเล็กลง และมีแนวโน้มที่จะเกิด bead ในระบบเส้นใยมากขึ้น ทั้งนี้เนื่องมาจาก ศักย์ไฟฟ้าส่งผลถึง การเกิด Taylor cone และ fiber jet ซึ่งจำเป็นต้องเลือกศักย์ไฟฟ้าที่มีค่าเหมาะสม
2. อัตราการไหล จากการศึกษาของ Megelski et al.2002 ใช้ Polystyrene / tetrahydro furan ในการศึกษา พบร่วมเมื่อเพิ่มอัตราการไหลของพอลิเมอร์จะทำให้เส้นผ่าศูนย์กลางและรูปมีขนาดเพิ่มขึ้น และแนวโน้มที่จะเกิด bead ในระบบเส้นใยมากขึ้น ทั้งนี้เนื่องจากกระบวนการระเหยของตัวทำละลายเกิดขึ้นอย่างไม่สมบูรณ์
3. ระยะทางระหว่างปลายเข็มจนถึง collector จากการศึกษาของ Jaeger et al.1998 ใช้ Polyethylene oxide/น้ำ พบร่วม เมื่อระยะทางเพิ่มขึ้นจะทำให้เส้นใยมีเส้นผ่าศูนย์กลางลดลง แต่ถ้าระยะทางลดลงก็จะมีแนวโน้มที่เกิด bead มากขึ้น การเพิ่มระยะทางจะทำให้การระเหยของตัวทำละลายเกิดได้อย่างสมบูรณ์

4. ความเข้มข้นของสารละลายพอลิเมอร์ จะส่งผลต่อความหนืดและแรงตึงผิวของสารละลายจาก การศึกษาของ Reneker et al,1995 ใช้ Poly(ethylene-co-vinyl alcohol) Propanol:Water พบร้า เมื่อความเข้มข้นของพอลิเมอร์เพิ่มขึ้นความหนืดจะเพิ่มขึ้นจะทำให้เส้นใยที่ได้มีเส้นผ่าศูนย์กลาง เพิ่มขึ้น เส้นใยที่มีความเข้มข้นน้อยจะมีแรงตึงผิวต่ำทำให้แรงไฟฟ้าอากาศตั้งผิวได้ง่ายขึ้นและยังมี ความหนืดต่ำทำให้การไหลดีขึ้นด้วยขนาดเส้นผ่าศูนย์กลางของเส้นใยจะมีขนาดเล็ก
5. ความสามารถในการนำไฟฟ้าของสารละลาย จากการศึกษาของ Zhang et al,2005 ใช้ Polyvinyl alcohol ละลายในน้ำและมีการเติมเกลือเพื่อเพิ่มการนำไฟฟ้าในปริมาณต่างๆ ผลพบว่า เมื่อเติมเกลือในปริมาณที่มากขึ้น ทำให้การนำไฟฟามากขึ้น ส่งผลให้ขนาดเส้นผ่าศูนย์กลางของเส้นใย มีค่าลดลงและมีการกระจายตัวของขนาดในช่วงที่แคบด้วย ทั้งนี้ผู้จัยได้อธิบายว่า เมื่อการนำไฟฟ้าในสารละลายเพิ่มมากขึ้นทำให้ความสามารถในการเก็บประจุของสารละลายเพิ่มขึ้น เมื่อออยู่ใน สนามไฟฟ้าจึงมีค่า tensile strength สูงขึ้นเส้นใยที่ได้จึงมีขนาดเล็กลง
6. ความสามารถในการระเหยของตัวทำละลาย จากการศึกษาของ Megelski et al,2002 ใช้ Polystyrene ละลายในส่วนผสมของตัวทำละลาย 2 ชนิดคือ tetrahydrofuran(THF) ซึ่งมี ความสามารถในการระเหยที่ดี และ dimethylformamide (DMF) ซึ่งมีความสามารถในการระเหย ต่ำ ผลพบว่า เมื่อใช้ THF 100% จะทำให้เส้นใยที่ได้มีความพรุนสูง ส่วนเมื่อใช้ DMF 100% จะได้ เส้นใยที่มีความเรียบและเส้นความเป็น microtexture ดังนั้นจะต้องเลือกใช้ระบบตัวทำละลายที่มี การระเหยที่เหมาะสมด้วย

2.5.2 ชนิดของอิเล็กโทรสปินนิ่ง

อิเล็กโทรสปินนิ่งเป็นกระบวนการที่สามารถนำไปประยุกต์ใช้ได้หลากหลาย ในปัจจุบันมี นักวิจัยพยายามดัดแปลงกระบวนการเล็กโทรสปินนิ่งไปในรูปแบบต่างๆ เพื่อให้ได้เส้นใยที่มีลักษณะที่ ตรงกับการนำไปใช้งาน ชนิดของอิเล็กโทรสปินนิ่ง จำแนกได้ตาม ชนิดของเข็มที่ใช้ และชนิดของ สารละลายพอลิเมอร์ที่นำมาใช้ ถ้าแบ่งตาม การเรียงตัวของเล่น capillary และเข็มโลหะ สามารถ แบ่งได้เป็น 3 ประเภท คือ

Single configuration ใช้ capillary ชิ้นเดียวและเข็มโลหะอันเดียว เป็นแบบที่ง่ายที่สุด ใช้ สารละลายพอลิเมอร์เพียง ชนิดเดียว หรืออาจจะเป็นพอลิเมอร์หลายชนิดแต่ละลายในตัวทำละลาย ชนิดเดียว

Side by side configuration เป็นการเรียงตัวด้านข้าง โดยใช้ capillary 2 ชิ้นที่มี สารละลายพอลิเมอร์ 2 ชนิด เทคนิคนี้ใช้สำหรับต้องการเส้นใยที่มีส่วนผสมของพอลิเมอร์ 2 ชนิด และ พอลิเมอร์ทั้ง 2 ชนิด มีการละลายที่แตกต่างกันจึงต้องแยกละลายพอลิเมอร์ทั้ง 2 ออกจากกัน โดย การใช้เทคนิคนี้จะต้องคำนึงถึงค่า การนำไฟฟ้าของสารละลายทั้ง 2 ให้มีค่าใกล้เคียงกัน

Coaxial configuration เป็นเทคนิคใหม่ที่ทำเส้นใยนาโนไฟเบอร์ มีลักษณะเป็น core-shell โดยลักษณะของ capillary จะประกอบด้วย capillary อันใหญ่ที่มี capillary อันเล็กอยู่ด้านใน ภายใน capillary จะบรรจุสารละลายพอลิเมอร์สองชนิดที่ละลายเข้ากันไม่ได้ โดยพอลิเมอร์ที่ต้องการให้เป็น core จะบรรจุอยู่ในหลอดด้านใน

หากแบ่งชนิดของกระบวนการอิเล็กโทรสปินนิ่งตามชนิดของพอลิเมอร์ที่มีความสามารถแบ่งได้ เป็น Polymer solution สารละลายพอลิเมอร์เทคนิคนี้เป็นเทคนิคที่ใช้กันมากที่สุด โดยนำพอลิเมอร์ที่ต้องการทำให้เป็นเส้นใยนาโนไฟเบอร์ มาละลายในตัวทำละลายที่เหมาะสม

Polymer melt พอลิเมอร์หลอมเหลว เทคนิคนี้เป็นการ electrospinning โดยใช้อุณหภูมิที่สูงจนพอลิเมอร์ที่เป็นของแข็งหลอมเป็นของเหลว ตัวอย่างของพอลิเมอร์ที่ใช้ เช่น Polyethylene, Polypropylene เป็นต้น

ตารางที่ 1 ตัวอย่างพอลิเมอร์ที่ใช้เทคนิค electrospinning และการนำไปใช้

Polymer	Solvent	Concentration	Perspective Application
Nylon6,6, PA 6,6	Formic acid	10 wt.%	Protective clothing
Polyurethanes, PU	Dimethyl formamide	10 wt.%	Electric filter
Collagen-PEO	Hydrochloric acid	1-2 wt%	Wound healing, tissue engineering
Polyaniline (PANI) /PEO	Chloroform	2-4 wt%	Conductive fiber
Polyvinylcarbazole	Dichlormethane	7.5 wt.%	Sensor, filter
Cellulose acetate, CA	Acetone, acetic acid, dimethylacetamide	12.5-20%	Membrane
PLGA PLGA(PLA/PGA)-(85/15)	Tetrahydrofuran:dimethylformamide (1:1)	1 g/20 ml	Scaffold for tissue engineering
Polyvinil alcohol, PVA	Distilled water	8-16 wt.%	Drug delivery system
Polylactic acid, PLA	Dichlormethane	14 wt%	Drug delivery system
Polyacrylonitrile, PAN	Dimethyl formamide	600 mg/10 ⁻³ m ³	Carbon nanotube
Polyethylene oxide, PEO	Distilled water	7-10 wt %	Electret filter, blend other polymer
polyacrylic acid-polypyrene methanol, PAA-PM	Dimethyl formamide	-	Optical sensor
poly vinyl phenol, PVP	Tetrahydrofuran	20, 60% (wt./vol.)	Antimicrobial agent
Polycaprolactone, PCL	Chloroform:methanol (3:1)	-	Biomedical application

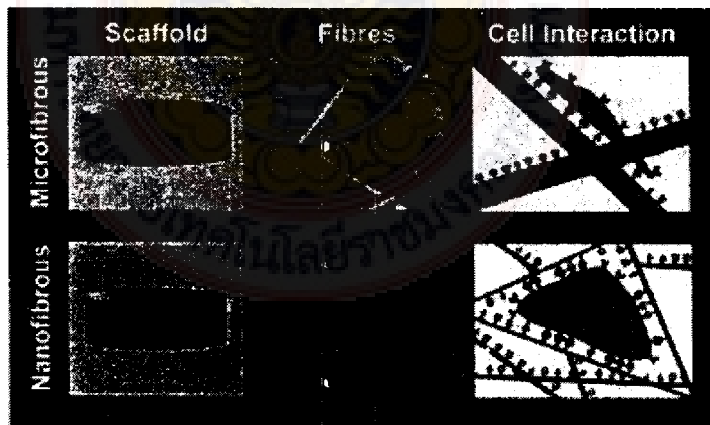
จากการศึกษาต่างๆ ของนักวิจัยได้พยาามนำ พอลิเมอร์ชนิดต่างๆ มาศึกษาโดยใช้กระบวนการ อิเล็กโตรสีนิ่ง กันมากกว่า 50 ชนิด ตัวอย่างของพอลิเมอร์ที่ใช้และการนำไปใช้ แสดงดังตารางที่ 1 ซึ่งการใช้พอลิเมอร์ที่มีความหลากหลายทำให้ได้สันใจที่สามารถนำไปใช้ได้ในมุมที่กว้าง สามารถแบ่งการประยุกต์ใช้ได้เป็น

2.5.3 การประยุกต์ใช้นาโนไฟเบอร์ในด้านต่างๆ

การประยุกต์ใช้ด้านการแพทย์

ในการนำไปใช้ทางด้านการแพทย์และสุขภาพมักจะเลือกใช้พอลิเมอร์ที่เข้ากันได้กับร่างกาย (biocompatibility) และ/หรือ สามารถย่อยสลายได้ในร่างกาย (biodegradability) ตัวอย่างของพอลิเมอร์ เช่น poly L-lactic (PLLA), Chitosan, Polycaprolactone(PCL), poly ethylene-co-vinyl acetate (PEVA) เป็นต้น การประยุกต์ใช้ทางด้านการแพทย์และสุขภาพสามารถแบ่งย่อยได้ ดังนี้

โครงร่างวิศวกรรมเนื้อเยื่อ (Tissue Engineering Scaffolds) การประยุกต์ใช้ทางด้านวิศวกรรมเนื้อเยื่อจะใช้ นาโนไฟเบอร์เป็นโครงร่างเพื่อช่วยในการเจริญเติบโตของเซลล์เนื้อเยื่อ โดยการใช้นาโนไฟเบอร์เป็นโครงร่างจะมีข้อดีกว่าไมโครไฟเบอร์คือ มีพื้นที่ให้เซลล์ยึดเกาะได้มากกว่า ตั้ง รูปที่ 3 ทำให้เซลล์สามารถเจริญเติบโตได้ดีกว่า และโครงสร้างของนาโนไฟเบอร์ยังมีลักษณะคล้ายกับ extracellular matrix อีกด้วย จึงมีผู้วิจัยทำการศึกษานาโนไฟเบอร์ที่นำไปใช้ทางด้านโครงร่างวิศวกรรมเนื้อเยื่อกันมากในปัจจุบัน



รูปที่ 3 แสดงการเปรียบเทียบความสามารถในการเป็นโครงร่างของไมโครไฟเบอร์กับนาโนไฟเบอร์

กายอุปกรณ์ (Medical prostheses) เป็นการนำไปใช้การเป็นอวัยวะเทียม หลอดเสือห้ เทียมเนื้อเยื่อเทียบสำหรับซ่อมแซมกระดูกอ่อน และเส้นประสาท โดยตัวอย่างของการนำไปใช้ เช่น

the new technology of Virginia commonwealth university ได้ศึกษาการขึ้นรูบนาโนไฟเบอร์ โดยใช้คอลลาเจนเป็นหลอดเลือดเทียม นำไปใช้ในการผ่าตัดทำ bypass หัวใจโดยแทนที่การใช้หลอดเลือดจาก Professor Gerald E. Scheider และ Rutledge Ellis-Behnke ได้ทำการศึกษา นำเสนอไฟเบอร์ที่เกิดขึ้นได้เองอาร์จินิน (Argenen) อะลานิน (Alanine) และ กรดกลูตامิค (Glutamic acid) 16 มิลลิกรัมเรียงช้าไปมาและโครงร่างแบบ β - sheet ที่สามารถช่วยให้การเจริญเติบโตของ axon ขึ้นมาใหม่เมื่อฉีดสารละลายของกรดอะมิโนเหล่านี้เข้าไปในสมองหนูที่ถูกทำลาย เนื่องจากน้ำเงาไฟเบอร์เข้าไปช่วยเสริมในสมองส่วนที่ถูกทำลายเมื่อเซลล์ประสาทเข้าไปอยู่ในโครงร่างนาโนไฟเบอร์ทำให้มีการเจริญเติบโตได้ดีขึ้น งานวิจัยนี้ถือเป็นความหวังใหม่ในการซ่อมแซมเซลล์สมองของมนุษย์

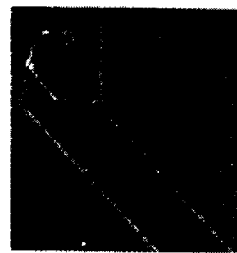
สิ่งตกแต่งแพล (Wound dressing) นาโนไฟเบอร์มีคุณสมบัติที่โดดเด่นในด้านพื้นที่ผิว ดังนี้ ในการนำไปใช้เป็นสิ่งตกแต่งแพลจะมีข้อดีกว่าผ้าก๊อช คือมีพื้นที่ผิวในการดูดซับของเหลวได้มากกว่าทำให้แพลแห้งเร็ว และยังเป็นโครงร่างทำให้เซลล์ใหม่เจริญเติบโตได้ดีทำให้แพลงไนท์และสามารถใช้กัน การเกิดแพลเป็นได้ดีกว่า นอกจากนี้ด้วยรูที่มีขนาดเล็กของนาโนไฟเบอร์ยังเป็นสิ่งกีดขวางไม่ให้แบคทีเรียผ่านเข้าไม่ได้ แต่ยังระยะยาวอากาศได้ดี นิยมใช้พอลิเมอร์ที่มีคุณสมบัติ似ถ่ายได้เงยในร่างกาย โดยสามารถ spray โดยตรงไปที่แพล ดังรูปที่ 4 หรือทำเป็นแผ่นสำหรับติดแพล พอลิเมอร์ที่นิยมใช้ เช่น คอลลาเจน โคโตชาแนน เป็นต้น

เครื่องสำอาง (Cosmetic) โดยใช้เป็นเครื่องมือในการนำส่งเครื่องสำอางเข้าสู่ผิว ในลักษณะของแผ่นมาส์ก เนื่องจากแผ่นเส้นใยมีพื้นที่ผิวมาก ทำให้การบรรจุสารต่างๆ ลงในแผ่นได้ปริมาณมาก สารที่นิยมใช้ เช่น สารทำความสะอาด สารเพิ่มความชุ่มชื้น สารแอนติออกซิเดชน์ เป็นต้น นอกจากจะสามารถใส่สารในแผ่นมาส์กนาโนไฟเบอร์ได้ในปริมาณมากแล้ว การบดบล่อนอย่างเกิดได้รวดเร็วในระยะเวลาอันสั้น

ระบบนำส่งยา (Drug delivery system ด้วยเหตุผลเดียวกันการประยุกต์ใช้เครื่องสำอาง ทำให้สามารถบรรจุได้มาก มีการบดบล่อนอย่างรวดเร็ว และยังสามารถควบคุมการบดบล่อนอย่างได้หากใช้เทคนิค coaxial electrospinning ดังรูปที่ 5 โดยสามารถควบคุมปริมาณยาปลดปล่อยได้โดยการควบคุมอัตราการไหลของตัวยาในสารละลายที่อยู่ใน capillary ด้านใน ทำให้เก็บมีปริมาณมาก หรือน้อยตามต้องการ ตัวอย่างยาที่มีการศึกษาวิจัย เช่น ยาในกลุ่มด้านเชื้อแบคทีเรีย โดยใช้ในการป้องกันการติดเชื้อหลังผ่าตัด โดยเมื่อผ่าตัดเสร็จแล้วจะผิงนาโนไฟเบอร์ที่ถ่ายได้ในร่างกายที่มียาต้านเชื้อแบคทีเรียอยู่อยู่ลุกลงไป ยาต้านมะเร็งใช้การฝังเข้าในอวัยวะที่เป็นมะเร็ง ยาแก้ปวดและต้านการอักเสบมีการศึกษาโดยการพัฒนาเป็นแผ่นแบบผิวนัง เป็นต้น



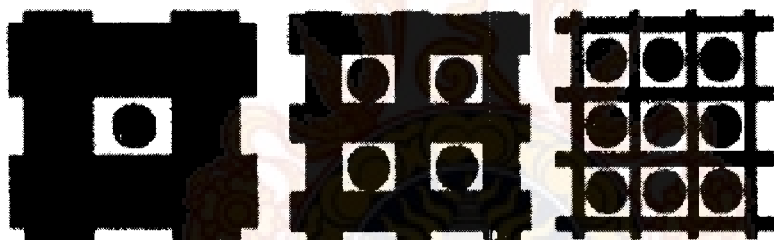
รูปที่ 4 แสดงการ
ประยุกต์ใช้เป็น
สิ่งตกแต่งผล



รูปที่ 5 แสดงเส้นใยนาโนไฟเบอร์
ที่มีการใช้ในการนำส่งฯ

การประยุกต์ด้านการกรองสาร

ในด้านการกรองสาร แผ่นเส้นใยที่ถักห่อจากเส้นใยที่เล็กในระดับนาโนเมตร จะมีช่องว่างขนาดเล็กมากและสามารถกรองอนุภาคได้จำนวนมากกว่าหลายเท่าตัว แผ่นเส้นใยนาโนไฟเบอร์ซึ่งสามารถนำมาใช้สามารถนำมาใช้สร้างระบบกรองที่มีประสิทธิภาพสูง แสดงดังรูปที่ 6



รูปที่ 6 แสดงผลของขนาดเส้นใยที่เล็กลงต่อประสิทธิภาพการกรองสาร

นอกจากนี้ได้มีความพยายามนำเส้นใยนาโนมาเคลือบบนชุดเครื่องแบบทหาร (protective clothing) เพื่อป้องกันอาวุธทางชีวภาพ สารพิษทางเคมี นิวเคลียร์

การประยุกต์ใช้ด้านอิเล็กทรอนิกส์

ในกรณีที่เส้นใยมีสมบัติการนำไฟฟ้าที่ดีหรือสมบัติของสารกึ่งตัวนำ สามารถนำไปประยุกต์ใช้ทางด้านอิเล็กทรอนิกส์โดยเฉพาะเทคโนโลยีด้านตัวตรวจจับต่างๆ เช่น ตัวตรวจจับก๊าซ (gas sensor) ตัวตรวจจับความร้อน (thermal sensor) เป็นต้น

การประยุกต์ใช้ด้านวัสดุศาสตร์

เส้นใยนาโนไฟเบอร์บางชนิดถูกนำไปเสริมกับวัสดุอื่นเพื่อให้มีสมบัติที่ดีขึ้น ทั้งนี้ขึ้นกับสมบัติของเส้นใย เช่น เส้นใยนาโนคาร์บอน (carbon nanofibre) ซึ่งมีค่าอัย়মোড়ুলাস (Young's modulus) และความแข็งแรง (strength) สูง อีกทั้งค่าแรงต้านทานแรงดึงตามยาว (tensile strength) ยังสูงกว่า

เหล็กถึงประมาณ 3 เท่า ในขณะที่มีความหนาแน่นกว่าเหล็กประมาณ 6 เท่า ดังนั้นจึงสามารถนำไปใช้เป็นวัสดุเสริมในสตุคคอมโพสิตเชิงกลที่ต้องการ ลักษณะเดียวกับการทำให้คอนกรีตมีความแข็งแรงมากขึ้นโดยการเสริมด้วยเหล็กเส้น และยังเป็นก้าวสำคัญในการนำไปประยุกต์ใช้ในงานอุตสาหกรรมได้อีกด้วย

การประยุกต์ใช้ต้านอื่นๆ

มีการนำโนไฟเบอร์ไปประยุกต์ใช้ในด้านอื่นๆ อีกเช่น เป็นวัสดุนำส่งยาฆ่าแมลงในทางเกษตรกรรม เป็นเส้นใยในเสื้อผ้าที่ผสมโลหะทำให้สามารถต้านเชื้อแบคทีเรียได้เป็นต้น

กล่าวโดยสรุปนาโนไฟเบอร์เป็นเส้นใยที่มีคุณสมบัติที่โดดเด่นคือมีพื้นที่ผิวบริ茫茫สูง มีรูขนาดเล็ก มีความพรุนมาก มีค่าแรงต้านทานแรงตึงตามยาวสูง เป็นต้น ซึ่งในการผลิตนาโนไฟเบอร์สามารถทำได้หลายวิธี เช่น drawing, template synthesis, phase separation, self-assembly และ electrospinning โดยกระบวนการอิเล็กโทรสปินนิ่งเป็นกระบวนการที่ได้รับความนิยมมากที่สุด เนื่องจากเป็นกระบวนการที่ง่ายไม่ยุ่งยากซับซ้อน และสามารถควบคุมเส้นใยนาโนไฟเบอร์ ในแบบที่ต้องการได้โดยการควบคุมกระบวนการและพารามิเตอร์ที่เกี่ยวข้อง ด้วยคุณสมบัติที่โดดเด่นของนาโนไฟเบอร์นี้เอง ทำให้มีการนำไปประยุกต์ใช้ในหลากหลายด้าน และทางด้านเภสัชกรรมมีความน่าสนใจในการพัฒนาเป็นระบบนำส่งยาแบบใหม่

บทที่ 3

วิธีดำเนินการวิจัย

การวิจัยครั้งนี้ได้ทำการทดลองเกี่ยวกับการบำบัดน้ำเสียและคุณลักษณะของน้ำเสียชุมชนที่ผ่านการบำบัดในถังปฏิกรณ์ชีวภาพเมมเบรน ณ มหาวิทยาลัยเทคโนโลยีราชมงคลกรุงเทพโดยมีรายละเอียดของการดำเนินการวิจัย ดังนี้

3.1 วิธีการดำเนินการวิจัย

3.1.1 การเตรียมการเลี้ยงตะกอนจุลินทรีย์ตั้งต้น

การเลี้ยงตะกอนจุลินทรีย์เพื่อ ช. ในระบบบำบัดน้ำเสียแบบเมมเบรน จะใช้ เชื้อจุลินทรีย์ตั้งต้นจากโรงงานแปรรูปเนื้อไก่และโรงงานอาหารแปรรูปมีนบุรี 1 ในเครือบริษัท เจริญโภคภัณฑ์อาหาร จำกัด (มหาชน) ที่มีความเข้มข้นของมวลตะกอนจุลินทรีย์เริ่มต้น 6,200 มิลลิกรัม ต่อลิตร จากนั้นนำเชื้อจุลินทรีย์ทั้งหมดปริมาตร 75 ลิตร ใส่ในถังที่เตรียมไว้ เติมอากาศตลอดเวลา และทำการป้อนให้สารอาหารกับจุลินทรีย์โดยใช้สารละลายน้ำเสียสังเคราะห์ตาม Meng et al. (2006) ซึ่งประกอบด้วย C6H12O6 20 g/L, Urea 5.39 g/L, K2HPO4 2.64 g/L, CaCl2 0.34 g/L และ NaHCO3 2.75 g/L

3.1.2 การศึกษาคุณลักษณะของน้ำเสียที่ผ่านการบำบัด

น้ำเสียขาเข้า และขาออกที่ผ่านการบำบัดด้วยถังปฏิกรณ์ชีวภาพเมมเบรนในกรงทดลองจะถูกทำการวิเคราะห์ค่าต่างๆทางกายภาพและทางเคมี ได้แก่ pH, TDS, Conductivity, Salinity, MLSS, COD, BOD, DO, NH4+-N, NO2-N และ P เป็นต้น

ตารางที่ 3.1 จุดเก็บและพารามิเตอร์วิเคราะห์ที่ウォ่าย่างน้ำเสีย และความถี่การวิเคราะห์

ตัวอย่าง	พารามิเตอร์	ความถี่
Feed tank	pH , TDS , Conductivity , Salinity , NH4+-N , NO2-N และ P	2 ครั้งต่อสัปดาห์
	MLSS , COD , BOD5 และ DO	1 ครั้งต่อสัปดาห์
MBR tank	pH , TDS , Conductivity , Salinity , NH4+-N , NO2-N และ P	2 ครั้งต่อสัปดาห์

	MLSS , COD , BOD5 และ DO	1 ครั้งต่อสัปดาห์
Permeate tank	pH , TDS , Conductivity , Salinity , NH4+-N , NO2-N และ P	2 ครั้งต่อสัปดาห์
	MLSS , COD , BOD5 และ DO	1 ครั้งต่อสัปดาห์
	EPS (โปรตีน และคาร์บอไฮเดรต)	1 ครั้งต่อสัปดาห์

3.1.3 การออกแบบและติดตั้งถังปฏิกรณ์ชีวภาพเมมเบรน

ระบบถังปฏิกรณ์ชีวภาพเมมเบรนแบบเมมเบรนจมตัวแบบแผ่นที่ใช้ในการศึกษาครั้งนี้ได้ถูกออกแบบและทำการติดตั้งดังภาพดังภาพ 3.1 โดยประกอบด้วย



รูปที่ 3.1 ไดอะแกรมแบบจำลองและภาพถ่ายระบบถังปฏิกรณ์ชีวภาพเมมเบรนที่ใช้ในการวิจัย

- ถังป้อนน้ำเสียสั่งเคราะห์ (Feed tank) ขนาด 100 ลิตร จำนวน 1 ใบ
- ถังปฏิกรณ์ชีวภาพเมมเบรน คือ ถังปฏิกรณ์ทรงสี่เหลี่ยม ทำด้วยกระชาก ขนาดปริมาตร 75 ลิตร ที่มีเมมเบรนจมตัวแบบแผ่น (flat sheet membrane) จำนวน

ตัวอย่างภายในระบบโดยคุณสมบัติเฉพาะของเมมเบรนที่ใช้ในการศึกษาแสดงในตาราง 3.2

3. ปั๊มอากาศ (Air pump) ทำหน้าที่ให้อากาศแก่จุลินทรีย์ในถังปฏิกรณ์ชีวภาพ
4. ปั๊มน้ำ (Water pump) ทำหน้าที่สูบน้ำผ่านออกจากตัวเมมเบรนที่จมอยู่ในถังบำบัด
5. ถังเก็บน้ำที่ผ่านการบำบัด (Permeate tank) คือถังพลาสติกขนาด 100 ลิตร จำนวน 1 ใบ



รูปที่ 3.2 ชุดเมมเบรนประเภทแผ่น (flat sheet membrane)

ตารางที่ 3.2 คุณสมบัติเฉพาะของเมมเบรนในงานวิจัย

คุณสมบัติเฉพาะ	รายละเอียด
ประเภทเมมเบรน	เมมเบรนแบบแผ่น (flat sheet)
วัสดุผลิตเมมเบรน	พอลิเอทธิลีน
ขนาดรูเปิด	0.4 ไมโครเมตร

3.1.4 ทำการทดลองศึกษาตัวแปรต่างๆ ที่คาดว่าจะมีอิทธิพลต่อระบบบำบัดน้ำเสียแบบชั้น

ปฏิกรณ์ชีวภาพเมมเบรน ได้แก่

- อิทธิพลของความเข้มข้นของสารเคมีล้อย
- อิทธิพลของความเข้มข้นของตักษอนจุลินทรีย์

- อิทธิพลของปริมาณและชนิดของสารโพลีเมอร์ชีวภาพที่จุลินทรีย์ผลิต

3.1.5 ทำการศึกษาประสิทธิภาพและปัจจัยทางสิ่งแวดล้อมที่มีผลกระทบต่อการอุดตันของเมมเบรนเมื่อมีการเติมน้ำในไฟเบอร์โพลีเมอร์บีด ได้แก่ ปริมาณการเติม และค่า pH ของน้ำในไฟเบอร์ โพลีเมอร์บีด เป็นต้น

3.1.6 ทำการศึกษาเบรย์บเทียบลักษณะการอุดตันของเมมเบรนเมื่อมีและไม่มีการเติมน้ำในไฟเบอร์โพลีเมอร์บีดในระบบ ด้วยเทคนิคทางเคมีและทางกายภาพ ได้แก่ การเปลี่ยนแปลงของความดันตกคลื่น (Pressure drop) และการเปลี่ยนแปลงของความต้านทานการกรอง (Filtration resistance) เป็นต้น

3.1.7 ทำการศึกษาคุณภาพของน้ำทึ่งที่ผ่านกระบวนการบำบัดแบบถังปฏิกรณ์ชีวภาพเมมเบรนเมื่อมีและไม่มีการเติมน้ำในไฟเบอร์โพลีเมอร์บีด โดยการวิเคราะห์เบรย์บเทียบคุณภาพของน้ำเสียที่เข้าและออกจากระบบบำบัด ได้แก่ ค่าปริมาณธาตุอาหาร เช่น แอมโมเนียม ในโตรเจน พอสฟอรัส เป็นต้น

3.2 วัสดุอุปกรณ์ที่ใช้ในการทดลอง

3.2.1 อุปกรณ์ที่ใช้ในการวิเคราะห์คุณภาพน้ำเสียในห้องปฏิบัติการ

- 1) UV-vis spectrophotometer ผลิตภัณฑ์ Thermo โดยมีการวัดคือ 625 nm
- 2) Colorimeter ผลิตภัณฑ์ Hach analysis รุ่น DR/890
- 3) เครื่องวัดค่าต่างๆ
 - ความเป็นกรด-ด่าง (pH meter)
 - เครื่องวัดค่าการนำไฟฟ้า (Conductivity meter)
 - เครื่องวัดค่าความเป็นเกลือ (Salinity meter)
 - เครื่องวัดปริมาณของแข็งละลายน้ำทั้งหมด (TDS meter)
 - เครื่องวัดกรดด่าง pH meter รุ่น PCSTestr 35
- 4) เตาไฟฟ้า (Hot plate)
- 5) กระดาษกรอง ขนาดเส้นผ่าศูนย์กลาง

3.2.2 สารเคมีที่ใช้ในการศึกษาทั้งหมด

- 1) น้ำกลั่น
- 2) Folin-Ciocalteau reagent
- 3) Anthrone
- 4) โซเดียมไฮดรอกไซด์ (Sodium hydroxide: NaOH)

- 5) กรดซัลฟิวริก (Sulfuric acid)
- 6) คอปเปอร์ซัลเฟต (Copper sulfate; CuSO₄)
- 7) Sodium potassium tartrate x 4 H₂O
- 8) โซเดียมคาร์บอเนต (sodium carbonate; Na₂CO₃)
- 9) Na-K tartrate
- 10) กลูโคส (C₆H₁₂O₆)
- 11) ยูเรีย (Urea)
- 12) แคลเซียมคลอไรด์ (Calcium chloride ;CaCl₂)
- 13) ไดโพแทสเซียมฟอสฟे�ต (Dipotassium Hydrogen Orthophosphate; K₂HPO₄)
- 14) โซเดียมไฮโดรเจนคารบอนเนต (Sodium hydrogen carbonate; NaHCO₃)

3.2.3 การวิเคราะห์ค่าต่าง ๆ ทางเคมีที่ใช้ในการทดลอง ได้แก่

- 1) ความเข้มข้นตะกอนจุลินทรีย์ (MLSS)
- 2) ปริมาณฟอสฟอรัส
- 4) ปริมาณแอมโมเนีย-ไนโตรเจน
- 5) ความเข้มข้นจุลินทรีย์พอลิเมอร์ชีวภาพ (EPS)
- 6) ค่าปริมาณความต้องการออกซิเจนทางชีวเคมี (BOD)
- 7) ค่าปริมาณความต้องการออกซิเจนทางเคมี (COD)
- 8) ปริมาณออกซิเจนที่ละลายน้ำ (DO)
- 9) ปริมาณไนโตรท

3.2.4 การวิเคราะห์ค่าต่าง ๆ ทางกายรูบที่ใช้ในการทดลอง ได้แก่

- 1) ค่าความเป็นกรด-ด่าง (pH)
- 2) ค่าการนำไฟฟ้า (Conductivity)
- 3) ค่าความเค็ม (Salinity)
- 4) ปริมาณของแข็งที่ละลายน้ำ (TDS)

3.3 ขั้นตอนและวิธีการวิเคราะห์ค่าต่างๆในการทดลอง

3.3.1 การตรวจวัดค่า EPS carbo-hydrolytic

- 1) นำสารตัวอย่างมา 1 mL + Anthrone reagent 2 mL
- 2) นำมาต้มในน้ำร้อนอุณหภูมิ 50 °C เป็นเวลา 10 นาที
- 3) ทิ้งไว้ให้เย็นที่อุณหภูมิห้อง

- 4) นำไปวิเคราะห์ด้วยเครื่อง Spectrophotometer ที่ความยาวคลื่น 625 nm
จากนั้นนำไปเทียบกับ calibration curve

5)

3.3.2 การตรวจวัดค่า EPS โปรตีน

- 1) เตรียมสารดังต่อไปนี้

สารประกอบ A

Na-K tartrate ·4 H₂O จำนวน 2 g

Na₂CO₃ จำนวน 100 g

NaOH 1 N จำนวน 500 mL

สารประกอบ B

Na-K tartrate ·4 H₂O จำนวน 2 g

CuSO₄ × 5H₂O จำนวน 1 g

H₂O จำนวน 90 mL

NaOH 1 N จำนวน 10 mL

สารประกอบ C

เจือจาง Folin-Ciocalteau reagent : น้ำ (1:2)

2) นำสารตัวอย่างมา 1 mL + สารประกอบ A จำนวน 0.9 mL

3) นำมาต้มในน้ำร้อนอุณหภูมิ 50 °C เป็นเวลา 10 นาที

4) ทิ้งไว้ให้เย็นที่อุณหภูมิห้อง จากนั้น เติม สารประกอบ B จำนวน 0.1 mL

5) ทิ้งไว้ 10 นาที ที่อุณหภูมิห้อง แล้วเติม สารประกอบ C 3 mL อย่างรวดเร็ว

6) ทิ้งไว้ให้เย็น 10 นาที ที่อุณหภูมิห้องอีกครั้ง จากนั้นนำไปวิเคราะห์ด้วยเครื่อง Spectrophotometer ที่ความยาวคลื่น 625 nm

7) นำไปเทียบกับ calibration curve

3.3.3 การตรวจวัดค่าฟลักซ์

1) เก็บตัวอย่างน้ำที่ผ่านการกรองเมื่อครบ 30 นาที บันทึกปริมาตรน้ำข้าอกอกที่ได้

2) ทำการทดลองซ้ำเมื่อครบ 60, 90, 120, 150, 180 นาที

3) นำมาคำนวณหาค่าฟลักซ์จากสูตร

$$\text{ฟลักซ์} = \frac{\text{ปริมาณ}}{\text{พื้นที่} \times \text{เวลา}}$$

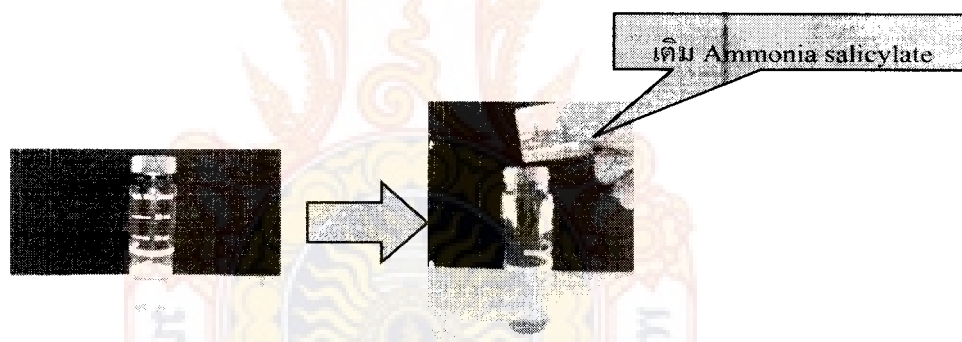
3.3.4 การวิเคราะห์ค่าแอมโมเนีย-ในต่อเลน

- 1) ตั้งระบบเครื่อง Hach analysis รุ่น DR/890 โดยการ กด prgm > พิมพ์ 64



เครื่อง Hach analysis รุ่น DR/890

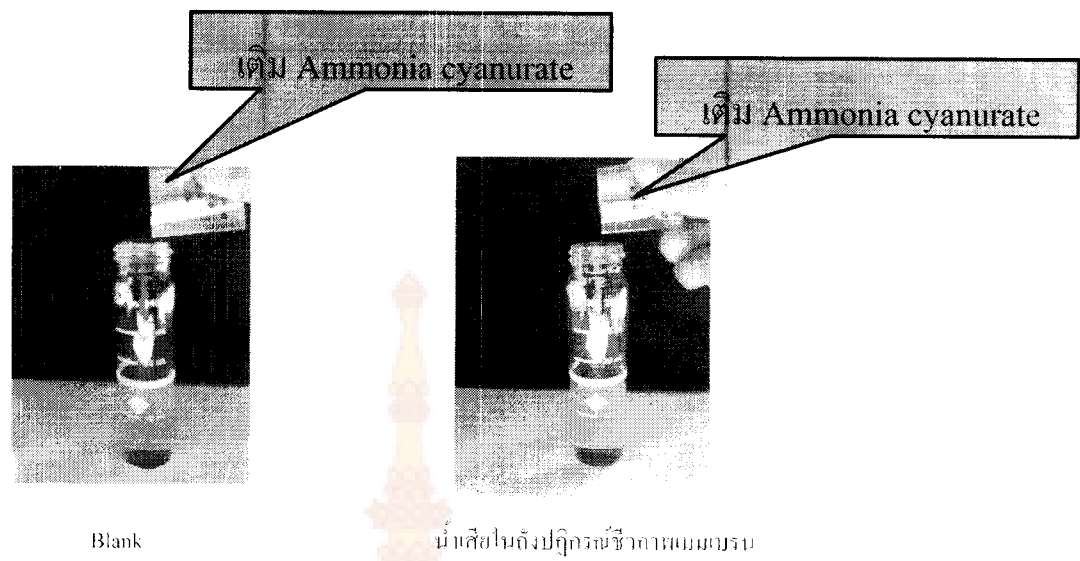
- 2) ใช้ Blank น้ำกลั่นจากน้ำนำมาเติม Ammonia salicylate



- 3) เก็บตัวอย่างน้ำในระบบนำมายาเติม Ammonia salicylate จากนั้นทิ้งไว้ 3 นาที



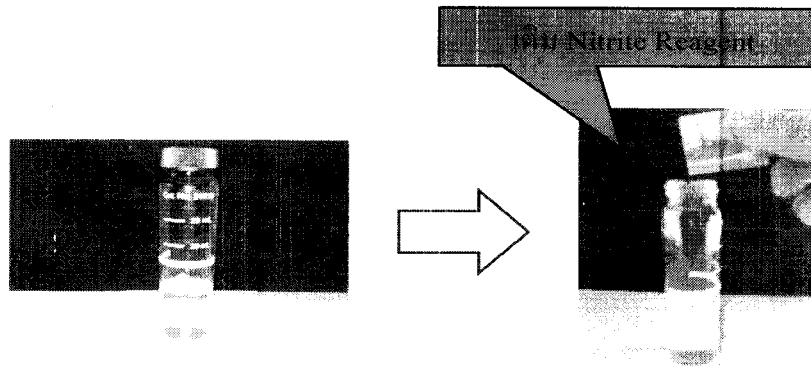
- 4) นำ Blank และน้ำเสียในรังปฏิกรณ์ชีวภาพมาเติม Ammonia Cyanurate



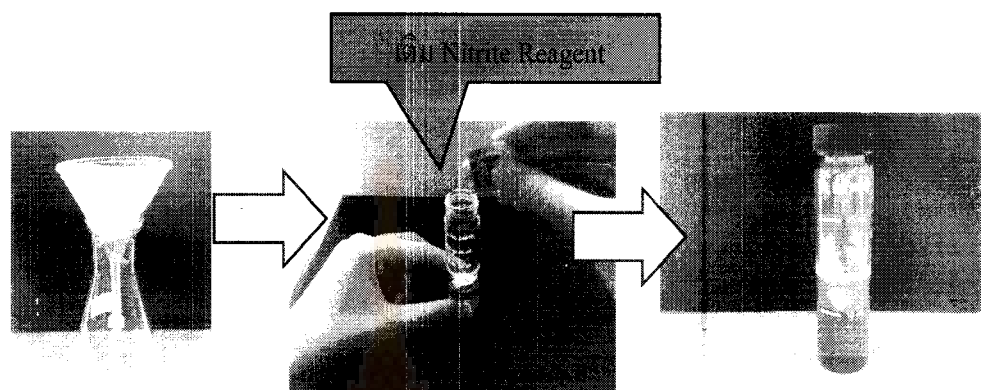
- 5) ทิ้งไว้ 15 นาที จากนั้นนำไปวิเคราะห์หาค่าแอมโมเนีย-ไนโตรเจนด้วยเครื่อง Hach

3.3.5 การวิเคราะห์ค่าไนโตรที

- 1) ตั้งระบบเครื่อง Hach analysis รุ่น DR/890 โดยการ กด prgm > พิมพ์ 60
- 2) เตรียม Blank น้ำกลั่น จากนั้นเติม Nitrite Reagent



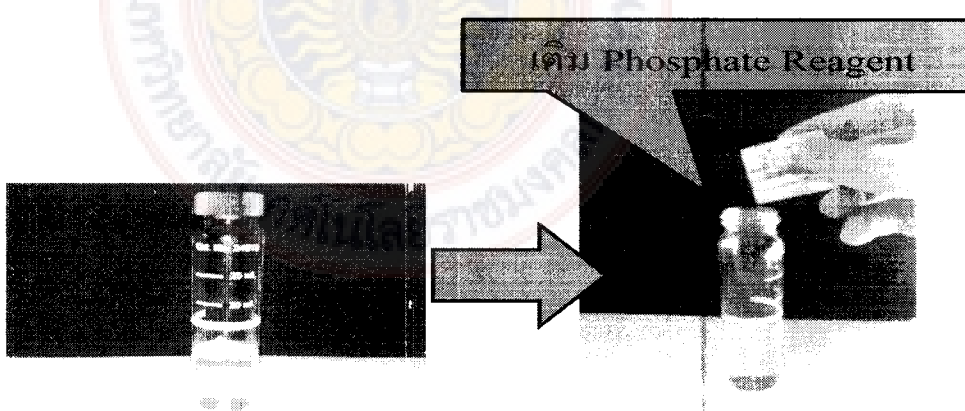
3) เก็บน้ำตัวอย่างในถังปฏิกรณ์ชีวภาพเมมเบรนจากนั้นนำมาเติม Nitrite Reagent



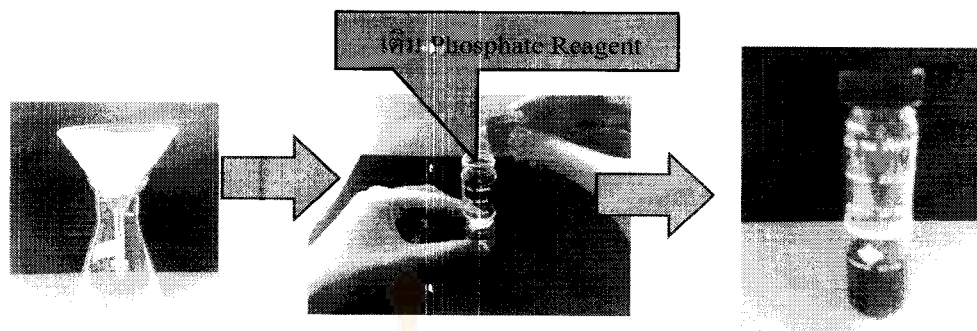
4) ทิ้งไว้ 15 นาที จากนั้นนำไปวิเคราะห์หาค่าในต่อที่ด้วยเครื่อง Hach analysis

3.3.6 การวิเคราะห์ค่าฟอสฟอรัส

- 1) ตั้งระบบเครื่อง Hach analysis รุ่น DR/890 โดยการ กด prgm > พิมพ์ 79
- 2) เตรียม Blank น้ำกลั่น จากนั้นเติม Phosphate Reagent



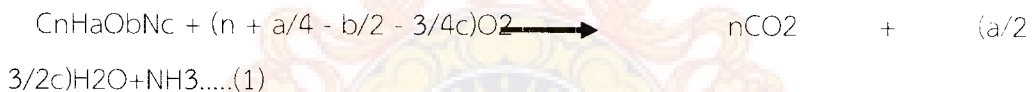
- 3) เตรียมจากน้ำเสียในถังปฏิกรณ์ชีวภาพเมมเบรนจากนั้นนำมาเติม Phosphate Reagent



4) ที่ร้าว 2 นาทีจากนั้นนำไปวิเคราะห์หาค่าฟอสฟอรัสด้วยเครื่อง Hach analysis

3.3.7 การวิเคราะห์ปริมาณความต้องการออกซิเจนทางเคมี (COD)

ค่า COD หมายถึง ปริมาณออกซิเจนทั้งหมดที่ต้องการ เพื่อใช้ในการ oxidize สารอินทรีย์ในน้ำเสียให้กลายเป็นคาร์บอนไดออกไซด์และน้ำ โดยที่สารอินทรีย์เกือบทั้งหมด (95-100 %) จะถูก oxidize โดยตัวเติมออกซิเจนอย่างแรง (Strong oxidizing agent) ภายใต้สภาวะที่เป็นกรด ดังสมการที่ 1



จะเห็นว่าสมการการเกิดปฏิกิริยาของ COD คล้ายกับ BOD คือสารอินทรีย์ในน้ำจะถูก oxidize จนได้คาร์บอนไดออกไซด์กับน้ำ ต่างกันตรงที่ BOD นั้นใช้แบคทีเรียในการย่อยสลาย ส่วน COD ใช้ตัวเติมออกซิเจน (oxidizer) ตั้งกล่าวแล้ว โดยปกติค่า COD จะสูงกว่าค่า BOD ทั้งนี้ เพราะสารอินทรีย์carbonจะถูก oxidize อย่างสมบูรณ์โดยไม่ต้องผ่านกระบวนการดูดซึมทางชีวะ (biological assimilation) ของสารเหล่านั้น เช่น กลูโคส ลิกนิน เซลลูโลส โดยเฉพาะถ้าน้ำเสียนั้นมีสารอินทรีย์ที่ไม่สามารถถูก oxidize ทางชีวะปนอยู่ด้วย จะทำให้ค่า COD สูงกว่าค่า BOD มาก ในกรณีที่น้ำเสียมีสารอินทรีย์บางพวกเช่น straight-chain aliphatic compound, aromatic hydrocarbon, pyridine และ betaine ปะปนอยู่ ซึ่งสารเหล่านี้จะไม่ถูก oxidize ทางเคมี ค่า COD จะน้อยกว่าค่า BOD อีกนิดหนึ่งของสารอินทรีย์บางตัว เช่น halogen (F_- , Cl_- , Br_-), NO_2^- , S_2^- และ Fe^{2+} มีผลทำให้ค่า COD มีค่ามากกว่าความเป็นจริง การหาค่า COD จะรู้ผลในเวลาไม่เกิน 3 ชม. ดังนั้นจึงเหมาะสมในการควบคุมระบบบำบัดน้ำเสีย เพราะสามารถแก้ไขข้อบกพร่องได้ทันท่วงที และใช้ในการประเมินค่า BOD อย่างคร่าวๆ

Strong oxidizing agent ที่ใช้ในการหาค่า COD มีด้วยกันหลายตัวคือ potassium permanganate, ferric sulfate, potassium iodate และ potassium dichromate การหาค่า

COD โดยใช้ปฏิกัดออกไซด์โคเรเมตเป็นวิธีที่นิยมใช้กันมาก เพราะให้ผลที่น่าเชื่อถือและแน่นอน หลักการของวิธีนี้คือสารอินทรีคาร์บอนจะถูก oxidized โดยปฏิกัดออกไซด์โคเรเมตในสภาวะที่เป็นกรดอย่างรุนแรง ดังนั้นจึงใช้การ reflux เพื่อป้องกันการระเหยสูญเสียของสารเคมี จากนั้นจึงให้เทเรต ห้าบริมาณปฏิกัดออกไซด์-โคเรเมตที่เหลืออยู่ด้วย ferrous ammonium sulfate โดยใช้ ferroin เป็นอินดิเคเตอร์ ปฏิกิริยาที่เกิดเป็นดังนี้



มีการเติม AgSO_4 เป็นตัว catalyst เพื่อเร่งปฏิกิริยาการออกซิเดช์ของพวกกรดไขมันที่มีน้ำหนักโมเลกุลต่ำๆ (straight chain aliphatic) นอกจากนี้ AgSO_4 ที่ใส่ไปจะไปทำปฏิกิริยากับ Cl^- , Br^- หรือ I^- ได้ แต่ AgSO_4 เป็น catalyst ที่ไม่ได้ผลในการออกซิเดช์สารประกอบพวก aromatic และ pyridine สารระบุวนที่สำคัญคือ Cl^- จึงต้องใส่ HgSO_4 ลงไปก่อนเพื่อใบจับกับ Cl^- ให้อยู่ในรูปของ mercuric chloride complex โดยวิธีนี้สามารถวิเคราะห์ตัวอย่างที่มีค่า COD ตั้งแต่ 50 มก./ล ขึ้นไปได้และแน่นอน ขั้นตอนการวิเคราะห์ค่า COD ที่ใช้ในงานวิจัยนี้มีดังนี้

- 1) ใส่ HgSO_4 ประมาณ 0.4 กรัม ลงในขวดรีฟลักซ์พร้อมด้วย glass bead 2-3 เม็ด จากนั้นเติมตัวอย่างน้ำที่ได้ห้าปริมาณที่เหมาะสมแล้วลงในขวด ปิดบ่อกลางสาย K2Cr2O7 10 มล. เติมลงไปเขย่าให้เข้ากัน
- 2) ค่อย ๆ เติม กรด Sulfuric เข้มข้นที่ผสม AgSO_4 ลงไป 30 มล. (ไม่ต้องเขย่า)
- 3) นำขวดรีฟลักซ์นี้ไปต่อ กับเครื่องควบแนน ทำการรีฟลักซ์หรือต้มให้เดือดเป็นเวลา 2 ชม. ปล่อยทิ้งไว้ให้เย็น ใช้น้ำกลั่นฉีดล้างเครื่องควบแนนก่อนที่จะถอดขวดรีฟลักซ์ออกให้เทเรต
- 4) ทำ Blank โดยใช้น้ำกลั่น 20 มล. และน้ำยาเคมีต่าง ๆ เมื่อันที่ใช้วิเคราะห์น้ำที่ตัวอย่างแล้วทำการรีฟลักซ์ไปพร้อมกับตัวอย่าง
- 5) ให้เทเรตห้าปริมาณ K2Cr2O7 ที่เหลือ หรือมาเกินพอด้วยสารละลาย $\text{Fe}(\text{NH}_4)_2(\text{SO}_4)_2$ โดยใช้สารละลาย ferroin เป็นอินดิเคเตอร์ 2-3 หยด จะมีการเปลี่ยนแปลงจากสีเหลือง เป็นสีฟ้าอมเขียวและเป็นสีน้ำตาลแดงที่จุดยุติ อ่านปริมาตรที่ให้เทเรตตอนเริ่มเปลี่ยนสี เป็นสีน้ำตาลแดงทันที

$$\text{COD, mg/L} = \frac{(a - b) \times N \times 8000}{\text{ml sample}}$$

a = ml ของ $\text{Fe}(\text{NH}_4)_2(\text{SO}_4)_2$ ที่ใช้ให้เทเรต Blank

b = ml ของ $\text{Fe}(\text{NH}_4)_2(\text{SO}_4)_2$ ที่ใช้ให้เทเรต น้ำตัวอย่าง

$$N = \text{Normality of } \text{Fe}(\text{NH}_4)_2(\text{SO}_4)_2 \text{ ที่ใช้}$$

3.3.8 การวิเคราะห์ปริมาณออกซิเจนละลายน้ำ (DO)

Membrane electrode method หรือเครื่องมือที่เรียกว่า DO meter เป็นเครื่องมือที่ใช้บวนการเคมีไฟฟ้า โดยถือหลักอัตราการแพร่ของโมเลกุลออกซิเจนผ่านเยื่อ (membrane) ที่มีความเฉพาะเจาะจงกับออกซิเจน โดยที่เยื่อนี้อยู่ใน working electrode การวิเคราะห์ DO จะใช้วิธีเดินขึ้นอยู่กับสารรบกวนที่มีอยู่ในน้ำตัวอย่างนั้นๆ และความแม่นยำของผลที่ได้จากการวิเคราะห์

3.3.9 การวิเคราะห์ปริมาณความเข้มข้นจุลินทรีย์ (MLSS)

Mixed Liquor Suspended Solids (MLSS) หมายถึง ปริมาณหรือความเข้มข้นโดยประมาณของจุลชีพในถังเติมอากาศในระบบ Activated sludge คิดเป็นปริมาณสารแขวนลอยหรือ Mixed liquor ซึ่งเป็นของสมรรถะห่วงน้ำทึ้งกับตากอนจุลชีพในถังเติมอากาศ การหาค่า MLSS มีประโยชน์ในการควบคุมระบบบำบัดน้ำเสียโดยจะใช้ในการคำนวณหาอัตราส่วนของอาหารต่อมวลของจุลชีพ (Food/Microorganism Ratio; F/M) ซึ่งคำนวณได้จาก $F/M = \text{BOD Loading}/\text{MLSS}$ อัตราส่วน F/M นี้มีความสำคัญมากในระบบบำบัดน้ำเสียแบบ Activated Sludge เพราะจะเป็นปัจจัยที่ควบคุมและกำหนดองค์ประกอบที่สำคัญของระบบ คือ ขนาดของถังเติมอากาศ(Aeration tank) เวลาที่ใช้ในการเติมอากาศ(Aeration time) ปริมาณจุลชีพ(MLSS) และประสิทธิภาพของระบบ ตัวอย่างเช่น ในระบบบำบัดแบบ Activated Sludge ที่มีประสิทธิภาพในการลดค่า BOD มากกว่า 90% จะมีอัตราส่วน F/M ไม่เกิน 0.4 และมี MLSS อยู่ในช่วงประมาณ 4000 – 5000 มิลลิกรัม/ลิตร

- 1) อบกระดาษกรองให้แห้งที่อุณหภูมิ 103 - 105 องศาเซลเซียส เป็นเวลา 1 ชั่วโมง ทิ้งให้เย็นในเตสกิเคเตอร์แล้วซึ่งน้ำหนัก
- 2) วางกระดาษกรองลงในกรวยบุคเนอร์ซึ่งต่อเข้ากับเครื่องดูดสูญญากาศ
- 3) ใช้น้ำกัลลันฉีดกระดาษกรองให้เปียกแล้วเปิดเครื่องดูดสูญญากาศเพื่อให้กระดาษกรองติดกับกรวยบุคเนอร์
- 4) กรองตัวอย่างน้ำที่ผสมเข้ากันดีแล้ว 50-100 มิลลิลิตร โดยใช้เครื่องดูดอากาศ แล้วถ้างเครื่องกรองด้วยน้ำกัลลัน 10 มิลลิลิตร เปิดเครื่องทิ้งไว้ 3 นาที
- 5) เมื่อแห้งแล้วนำกระดาษกรองออกมาระบายน้ำในภาชนะเดิม (อาจใช้ถ้วยระเบียงหรือกระดาษอลูมิเนียมก็ได้) และนำไปบนให้แห้งที่อุณหภูมิ 103-105 องศาเซลเซียส เป็นเวลาอย่างน้อย 1 ชั่วโมง ทิ้งให้เย็นในเตสกิเคเตอร์ และซึ่งน้ำหนักจนได้เท่าหนักคงที่

การคำนวณ

$$SS = (A - B) \times 1000/C$$

เมื่อ SS = ปริมาณสารแขวนลอย (มิลลิกรัม/ลิตร)

A = น้ำหนักกระดาษกรองและสารแขวนลอย, มิลลิกรัม

B = น้ำหนักของกระดาษกรอง, มิลลิกรัม

C = ปริมาตรร้น้ำตัวอย่างที่ใช้, มิลลิลิตร

3.3.10 การวิเคราะห์ค่า pH, Conductivity, Salinity, TDS (Total Dissolved solid)

- 1) เตรียมน้ำกลั่นและกระดาษเพื่อทำความสะอาดเครื่องวัด Multi-Parameter รุ่น PCSTestrTM35
- 2) เก็บตัวอย่างน้ำที่ต้องการวัดค่าอย่างน้อย 150 มิลลิลิตร
- 3) จุ่มน้ำวัดเครื่อง Multi-Parameter รุ่น PCSTestrTM35
- 4) กดอ่านค่าพารามิเตอร์ที่ต้องการวัด

บทที่ 4

ผลการทดลอง

การดำเนินการทดลองเพื่อศึกษาอิทธิพลของตัวแปรต่างๆที่มีผลต่อการกรองของเมมเบรน แบบสื้นyleกลวงในกระบวนการกรองแบบน้ำเสียและคุณลักษณะน้ำเสียที่ผ่านการกรองในกระบวนการถังปฏิกรณ์ชีวภาพเมมเบรน ซึ่งการวิเคราะห์คุณลักษณะของน้ำเสียนั้นเราจะแบ่งเป็น 2 ประเภทคือ การวิเคราะห์ทางกายภาพสามารถวัดด้วยเครื่องมือประเภทต่างๆและการวิเคราะห์ทางเคมีเช่นการวิเคราะห์ที่ต้องอาศัยสารเคมีเป็นส่วนหนึ่งในการวิเคราะห์ ผลการทดลองต่างๆในงานวิจัยนี้แสดงดังรายละเอียดด้านล่าง

4.1 ผลการทดสอบเพื่อหาค่าความต้านทานของเมมเบรนสะอาดในน้ำกลั่น

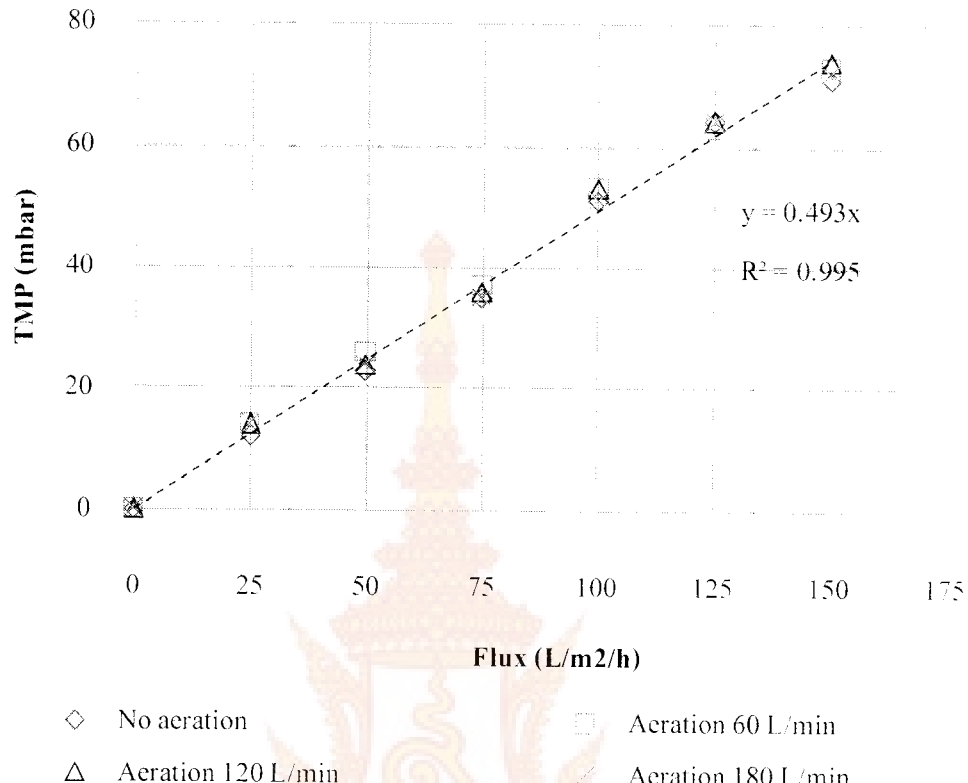
ในการศึกษาการทดสอบสภาพให้น้ำซึมผ่านได้ของเมมเบรนสะอาดในน้ำกลั่นเพื่อให้เดียวซึ่งค่าความต้านทานการกรองตั้งตันก่อนใช้งานของเมมเบรน (intrinsic membrane resistance: R_m) จะสามารถทำได้โดยการหาความสัมพันธ์จากการพิจารณาว่าค่าฟลักซ์กับค่าความดันสั่งผ่านเมมเบรน จากรูป 4.2 แสดงผลการกรองน้ำกลั่นผ่านเมมเบรน 2 ครั้งและบันทึกการเปลี่ยนแปลงของค่าฟลักซ์ และค่าความดันสั่งผ่านเมมเบรน จากนั้นนำค่าความชันของกราฟระหว่างค่าฟลักซ์กับค่าความดันสั่งผ่านเมมเบรนมาแทนค่าในสมการที่ 4.1 และทำการคำนวณ ก็จะได้ค่าความต้านทานตั้งตันของเมมเบรนประมาณ $1.46E+10$ ต่อมเมตร ซึ่งค่า R_m ที่ได้นี้ถือว่าใกล้เคียงกับค่า R_m โดยทั่วไปของเมมเบรนแบบแผ่น

$$J = \frac{\Delta P}{\mu R_m} \quad (4.1)$$

สมการการกรอง (Darcy's law):

$$R_m = \frac{1}{\mu} \cdot \frac{\Delta P}{J} \quad (4.2)$$

เมื่อ J คือค่าการส่งผ่านฟลักซ์, ΔP คือค่าความดันสั่งผ่านเมมเบรน, μ คือค่าความหนืดของของเหลว (ในที่นี้คือน้ำกลั่น อุณหภูมิห้อง = 0.862×10^{-3}) และ R_m คือค่าความต้านทานตั้งตันของเมมเบรนสะอาด

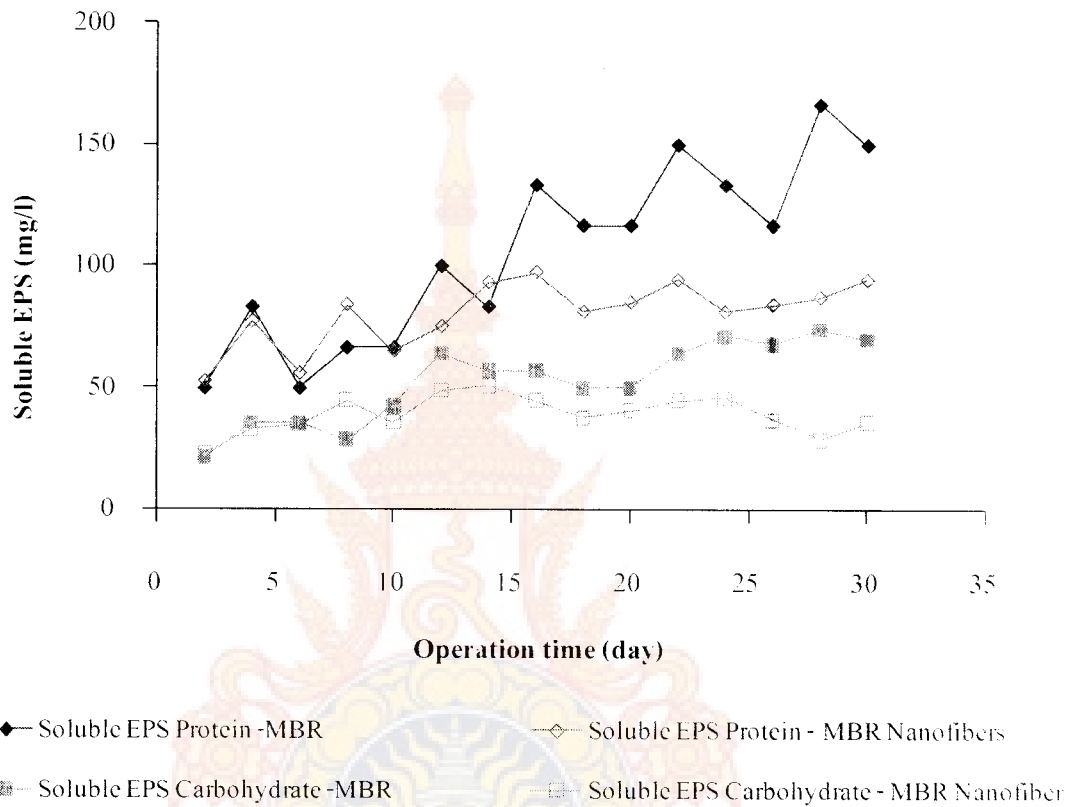


รูปที่ 4.1 ผลการทดลองการกรองน้ำกัลล์ของเมมเบรนสะอัด

4.2 ผลการศึกษาคุณลักษณะเฉพาะของนาโนไฟเบอร์กับการจับตัวและพฤติกรรมการสร้างสารโพลีเมอร์ชีวภาพที่จุลินทรีย์ในระบบผลิตได้

มีการรายงานถึงอิทธิพลของสารโพลีเมอร์ชีวภาพในบางงานวิจัยว่ามีส่วนเกี่ยวพันอย่างมีนัยสำคัญกับการอุดตันของเมมเบรนในระบบการบำบัดน้ำเสียแบบตะกอนเร่งร่วมกับการใช้เมมเบรนจมตัว (Chang and Lee 1998) Laspidou และ Rittman (2002) รวมทั้ง Hsieh et al. (1994) สารโพลีเมอร์ชีวภาพที่พบในระบบการบำบัดน้ำเสียแบบตะกอนเร่งจะสามารถแบ่งออกได้เป็นสองประเภท คือ 1) สารโพลีเมอร์ชีวภาพตรึงเซลล์ที่ยึดติดอยู่ในตะกอนจุลินทรีย์ (bound extracellular polymeric substance: bound EPS) ได้แก่ สารโพลีเมอร์จากแคบซูลของเซลล์ เมื่อถูกคลุกเคลล์และเมื่อถูกยึดติดเซลล์ และ 2) สารโพลีเมอร์ชีวภาพละลายน้ำที่เซลล์ผลิตและปล่อยออกสู่สิ่งแวดล้อม (soluble extracellular polymeric substance: soluble EPS) ได้แก่ สารอินทรีย์ละลาย สารอินทรีย์แขวนลอย และเมื่อแยกแยะแล้ว เป็นที่ทราบกันโดยทั่วไปว่า องค์ประกอบของสารโพลีเมอร์ชีวภาพจะประกอบด้วยสารต่างๆ อันได้แก่ คาร์บอไฮเดรต, โปรตีน, กรดอิมิคิก, กรดยูริก และสารตีเอนเอ อย่างไรก็ได้สารประเภทโพลีเมอร์คาร์บอไฮเดรตและโปรตีนนัก

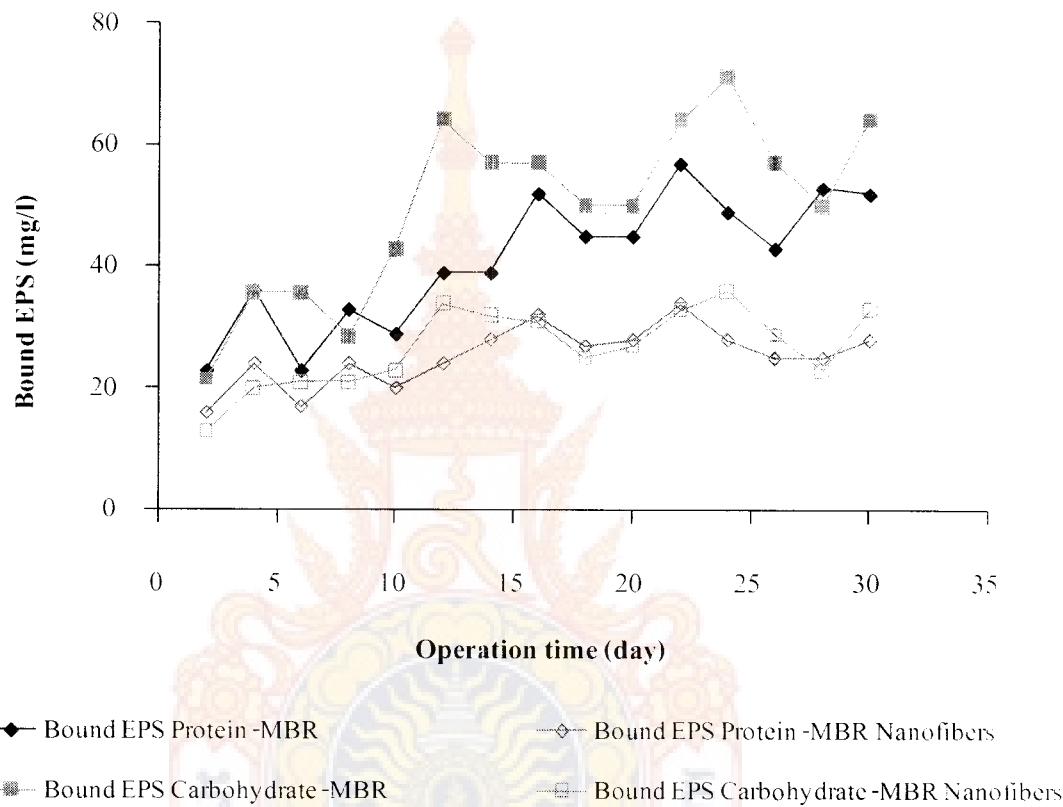
ยอมรับว่าเป็นองค์ประกอบของส่วนใหญ่เมื่อเทียบกับองค์ประกอบอื่นๆ (Ji and Zhou 2006) ดังนั้น การวัดเฉพาะค่าโพลีเมอร์คาร์บอไฮเดรตและโพลีเมอร์โปรตีนจึงมักใช้ในงานวิจัยโดยทั่วไป



รูปที่ 4.2 ปริมาณโพลีเมอร์ชีวภาพละลายน้ำ (Soluble EPS) ในระบบบำบัดแบบถังบัญกรรมชีวภาพ เมมเบรนที่เติมและไม่เติมนานาไฟเบอร์ (นาโนไฟเบอร์ 0.3 ȝ/ȝ MLSS)

จากรูปที่ 4.2 พบร่วมกับการเพิ่มขึ้นของปริมาณโพลีเมอร์ชีวภาพละลายน้ำ (Soluble EPS) พบว่าระยะเวลาการดำเนินงานเพิ่มขึ้นจะทำให้สารโพลีเมอร์ชีวภาพละลายน้ำประเภทโปรตีนเพิ่มขึ้นมากกว่าเท่าตัวจาก 50 มิลลิกรัม/กรัมของตะกอนจุลินทรีย์ ไปเป็น 150 มิลลิกรัม/กรัมของตะกอนจุลินทรีย์ ในขณะที่สารโพลีเมอร์ชีวภาพละลายน้ำประเภทคาร์บอไฮเดรตเพิ่มขึ้นมากเช่นกันจาก 24 มิลลิกรัม/กรัมของตะกอนจุลินทรีย์ ไปเป็น 65 มิลลิกรัม/กรัมของตะกอนจุลินทรีย์ ในขณะที่เมื่อพิจารณาระบบทั้งบัญกรรมชีวภาพเมมเบรนจะตัวที่มีการเติมนานาไฟเบอร์ พบร่วมกับสารโพลีเมอร์ชีวภาพละลายน้ำทั้งประเภทโปรตีนและคาร์บอไฮเดรตจะต่างกันในสังเวชคุณ โดยในถังบัญกรรมชีวภาพเมมเบรนที่มีนานาไฟเบอร์จะมีสารโพลีเมอร์ชีวภาพละลายน้ำประเภทโปรตีนและคาร์บอไฮเดรตอยู่ระหว่าง 50 – 94 และ 23-36 มิลลิกรัม/กรัมของตะกอนจุลินทรีย์ ตามลำดับ จะ

เห็นได้ว่าในระบบที่มีการเติมนานาโนไฟเบอร์ จุลินทรีย์จะมีการสร้างสารโพลีเมอร์ชีวภาพหลายน้ำสีตองมาก อาจเป็นเพราะอนุภาคนาโนไฟเบอร์ขัดขวางการดูดซึมธาตุอาหารและการผลิตสารโพลีเมอร์ชีวภาพหลายน้ำ



รูปที่ 4.3 ปริมาณโพลีเมอร์ชีวภาพตรึงเซลล์ (Bound EPS) ในระบบบำบัดแบบถังปฏิกรณ์ชีวภาพ เมมเบรนที่เติมและไม่เติมนานาโนไฟเบอร์

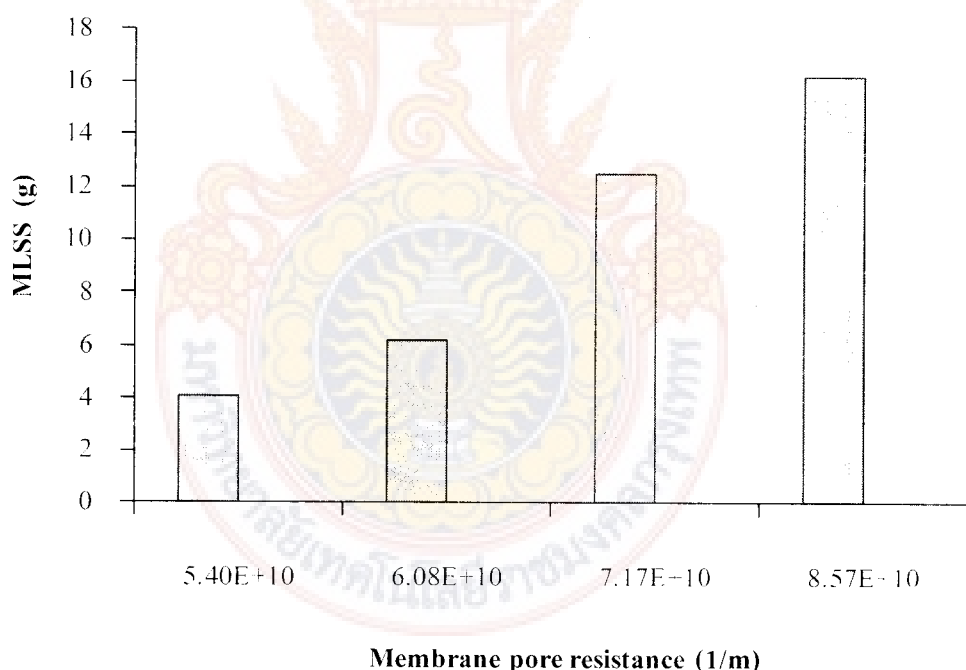
จากรูปที่ 4.3 พบว่ามีการเพิ่มขึ้นของปริมาณโพลีเมอร์ชีวภาพตรึงเซลล์ (Bound EPS) พบว่า ระยะเวลาการดำเนินงานเพิ่มขึ้นจะทำให้สารโพลีเมอร์ชีวภาพตรึงเซลล์ประเภทโปรตีนเพิ่มขึ้นมากกว่าเท่าตัวจาก 21 มิลลิกรัม/กรัมของตากอนจุลินทรีย์ ไปเป็น 52 มิลลิกรัม/กรัมของตากอนจุลินทรีย์ ในขณะที่สารโพลีเมอร์ชีวภาพตรึงเซลล์ประเภทคาร์โบไฮเดรตเพิ่มขึ้นมากเช่นกันจาก 21 มิลลิกรัม/กรัมของตากอนจุลินทรีย์ ไปเป็น 64 มิลลิกรัม/กรัมของตากอนจุลินทรีย์ ในขณะที่เมื่อพิจารณาระบบทั้งปฏิกรณ์ชีวภาพเมมเบรนจะตัวที่มีการเติมนานาโนไฟเบอร์ พบว่าค่าสารโพลีเมอร์ชีวภาพตรึงเซลล์ทั้งประเภทโปรตีนและคาร์โบไฮเดรตจะต่ำกว่าในถังควบคุม โดยในถังปฏิกรณ์ชีวภาพเมมเบรนที่มีนาโนไฟเบอร์จะมีสารโพลีเมอร์ชีวภาพตรึงเซลล์ประเภทโปรตีนและ

การนำไปใช้เดรอตอยู่ระหว่าง 14 – 33 และ 13-23 มิลลิกรัม/กรัมของตะกอนจุลินทรีย์ ตามลำดับ จะเห็นได้ว่าในระบบที่มีการเติมน้ำโนไฟเบอร์ จุลินทรีย์จะมีการสร้างสารโพลิเมอร์ชีวภาพซึ่งเซลล์ลดลงมาก

4.3 ผลการศึกษาตัวแปรที่มีอิทธิพลต่อระบบอุดตันของเมมเบรนในระบบบำบัดน้ำเสีย

4.3.1 อิทธิพลของความเข้มข้นของตะกอนจุลินทรีย์ที่มีต่อการกรองของเมมเบรนในถังปฏิกิริย์ชีวภาพ

มีรายงานว่าพฤติกรรมการกรองของเมมเบรนจะอยู่ภายใต้อิทธิพลของตัวแปรต่างๆ รวมทั้งความเข้มข้นจุลินทรีย์ (MLSS) จากรูปที่ 4.4 แสดงการเปลี่ยนแปลงของความต้านทานภายในรูกรองเมมเบรนเมื่อมีการเปลี่ยนแปลงความเข้มข้นจุลินทรีย์ในระบบ



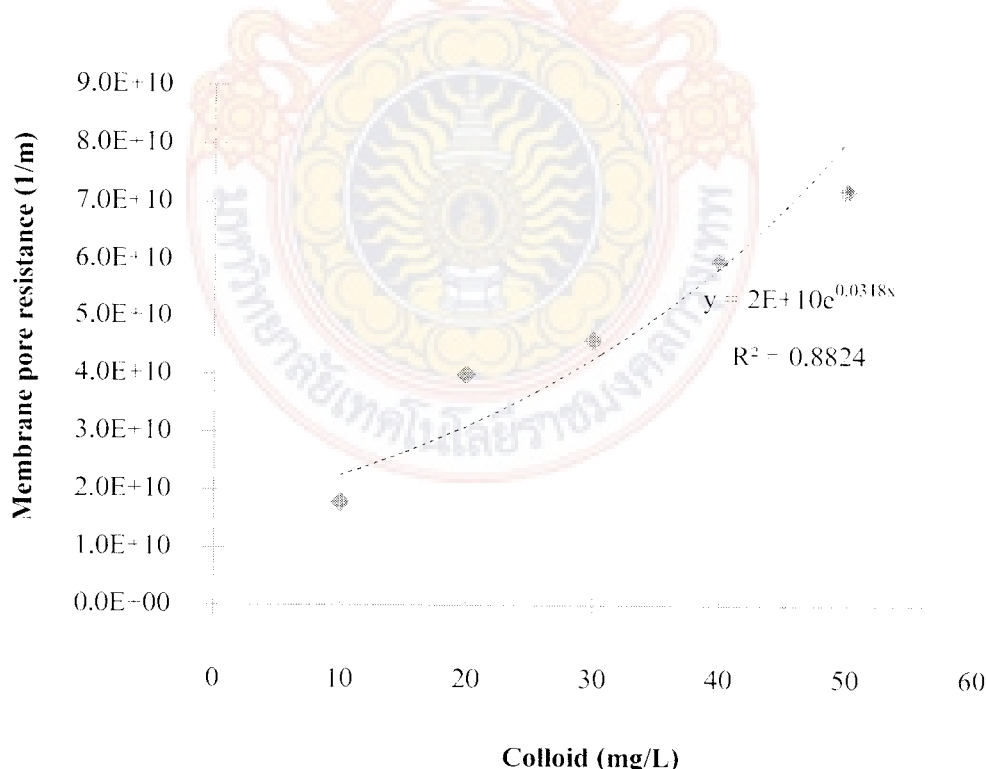
รูปที่ 4.4 ความเข้มข้นของตะกอนจุลินทรีย์กับการเปลี่ยนแปลงความต้านทานภายในรูกรองเมมเบรน

จากรูปที่ 4.4 พบว่าความเข้มข้นของจุลินทรีย์จะมีอิทธิพลอย่างมากต่อการเปลี่ยนแปลงของความต้านทานภายในรูกรองเมมเบรน การเพิ่มขึ้นของความเข้มข้นจุลินทรีย์จะทำให้เกิดการไหลเวียนของอนุภาคบนพื้นผิวน้ำของเมมเบรนมากขึ้น เกิดการอุดตันง่ายขึ้น ส่งผลให้ความต้านทานภายในรูกรองเมมเบรนของระบบมีค่าเพิ่มขึ้น ความสำคัญของความเข้มข้นของตะกอนจุลินทรีย์ที่มีต่อการอุด

ต้นการกรองของเมมเบรนได้ถูกกล่าวถึงในงานวิจัยต่างๆ โดยส่วนใหญ่มักกล่าวถึงการเพิ่มขึ้นของการอุดตันเมมเบรนเมื่อมีการเพิ่มของความเข้มข้นของตะกอนจุลินทรีย์ (ขึ้นอยู่กับกระบวนการชีวภาพที่ประยุกต์ใช้ในระบบ ได้แก่ ระบบการให้และไม่ให้อากาศ : aerobic and anaerobic) (Brindle and Stephenson 1996) แต่อย่างไรก็ตี บางงานวิจัยแสดงให้เห็นว่า การอุดตันของเมมเบรนไม่ขึ้นกับความเข้มข้นของตะกอนจุลินทรีย์จนกว่าจะถึงค่าค่าหนึ่งที่ค่อนข้างสูง (Rose et al. 1990; Yamamoto et al. 1999) นอกจากนี้ยังมีบางงานวิจัยที่แสดงให้เห็นว่าไม่มีความสัมพันธ์ที่ชัดเจนระหว่างการอุดตันของเมมเบรน (หรือการลดลงของค่าฟลักซ์) กับความเข้มข้นของตะกอนจุลินทรีย์ (Manem and Sanderson, 1996)

4.3.2 อิทธิพลของความเข้มข้นของสารแขวนลอยที่มีต่อการกรองของเมมเบรนในถังปฏิกิริณ์ชีวภาพ

ในระบบการบำบัดน้ำเสียแบบตะกอนเร่งร่วมกับการใช้เมมเบรนจะมี มีการรายงานถึงอิทธิพลของสารแขวนลอยในบางงานวิจัยว่ามีส่วนเกี่ยวพันอย่างมั่นคงกับการอุดตันของเมมเบรน (Fan et al. 2006)

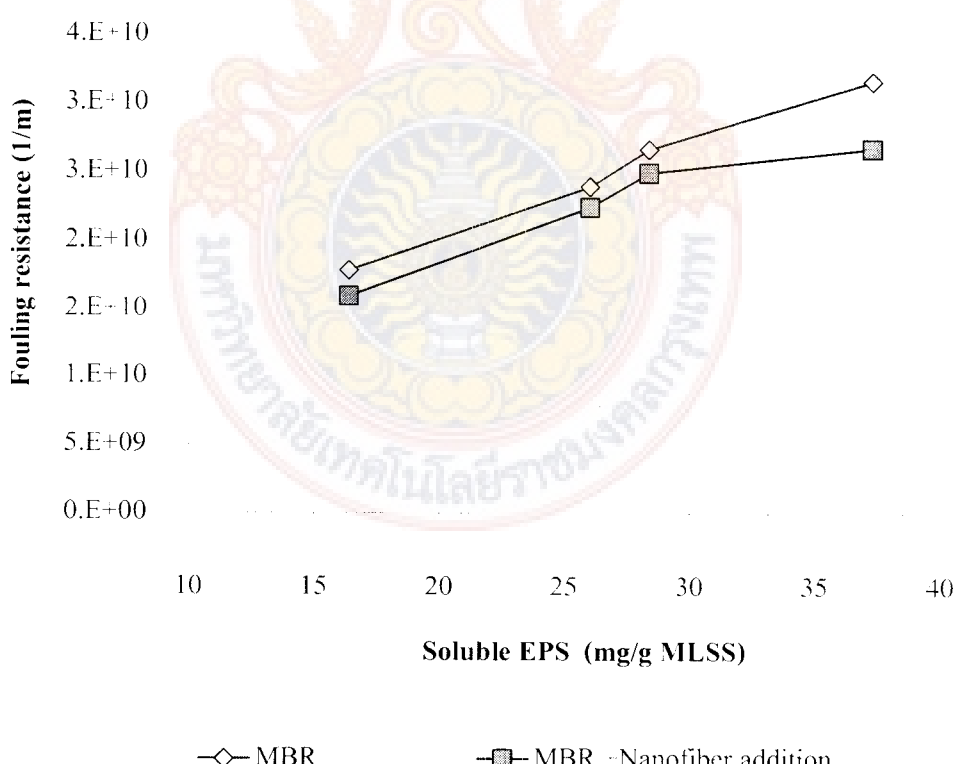


รูปที่ 4.5 ปริมาณสารแขวนลอยกับการเปลี่ยนแปลงความต้านทานภายใต้กรองเมมเบรน

สารแขวนลอยในระบบการบำบัดน้ำเสียจะหมายถึงส่วนของอนุภาคที่มีขนาดอยู่ระหว่าง 0.01 to 1.0 ไมโครเมตร (Tchobanoglou et al. 2003) ซึ่งจะมีค่าไกล์คิยงกับขนาดดูรูปเปิดของเมมเบรน สารแขวนลอยนี้จะประกอบด้วยส่วนที่เป็นสารอนินทรีย์และสารอินทรีย์ที่รวมถึงองค์ประกอบอื่นๆ ของเชลล์และสารชีวะรูปที่เชลล์ผลิตได้ จากรูปที่ 4.5 แสดงความสัมพันธ์ระหว่างความเข้มข้นของบริมาณสารแขวนลอยกับการเปลี่ยนแปลงความต้านทานภายในรูกรองของเมมเบรน พบร่วงการเปลี่ยนแปลงของความเข้มข้นของบริมาณสารแขวนลอยที่เพิ่มขึ้นจะส่งผลอย่างมากต่อการอุดตันของเมมเบรนและส่งผลให้ความต้านทานภายในของรูกรองเมมเบรนเพิ่มขึ้นแบบเอกซ์โพเนนเชียล

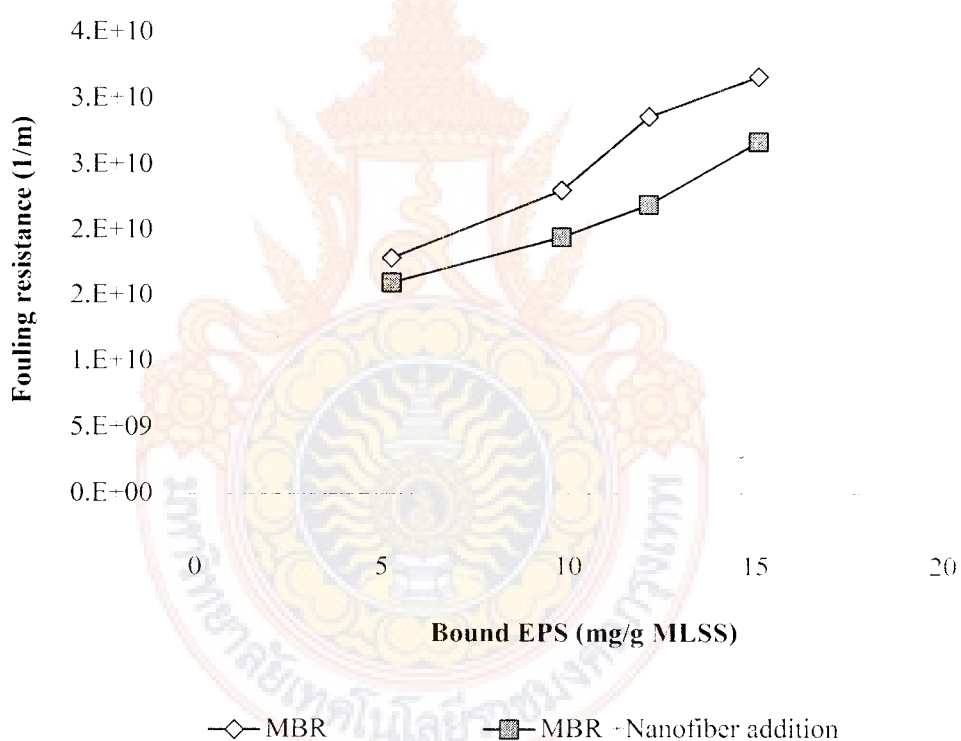
4.3.3 อิทธิพลของปริมาณและชนิดของสารโพลีเมอร์ชีวภาพที่จุลทรีย์ผลิตที่มีต่อการกรองของเมมเบรนตามตัวในถังปฏิกรณ์ชีวภาพ

จากรูปที่ 4.6 และ 4.7 พบร่วง การเพิ่มขึ้นของสารโพลีเมอร์ชีวภาพตึงเชลล์และสารโพลีเมอร์ชีวภาพละลายน้ำจะส่งผลให้เกิดความต้านทานการกรองภายในรูกรองของเมมเบรนเพิ่มขึ้น



รูปที่ 4.6 ปริมาณสารโพลีเมอร์ชีวภาพละลายน้ำ (soluble EPS) กับการเปลี่ยนแปลงของความต้านทานการกรองภายในรูกรองของเมมเบรน (ปริมาณการเติมนาโนไฟเบอร์ 0.25 g/ g MLSS)

จากรูปที่ 4.6 พบร>การเพิ่มขึ้นของปริมาณโพลีเมอร์ชีวภาพละลายน้ำ (Soluble EPS) ในระบบที่มีและไม่มีการเติมนานาโนไฟเบอร์ในระบบจะมีค่าไอล์เดียงกันและอยู่ระหว่าง 15-40 mg/g MLSS และในระบบที่มีการเติมนานาโนไฟเบอร์จะมีค่าการอุดตันของเมมเบรน ต่ำกว่าระบบควบคุมที่ไม่มีการเติมนานาโนไฟเบอร์อยู่โดยเฉลี่ย 9% 乍jn<องการเติมนานาโนไฟเบอร์ในระบบ (ในกรณีคือ 0.25 g nanofiber/ g MLSS) จะช่วยให้เกิดการขัดถูบผิวนานาเมมเบรนมากขึ้น จึงลดโอกาสการอุดตันของเมมเบรนลงตัวในระบบลง ในทำนองเดียวกัน จากรูปที่ 4.7 พบร>การเพิ่มขึ้นของปริมาณโพลีเมอร์ชีวภาพตรึงเซลล์ (Bound EPS) ในระบบที่มีและไม่มีการเติมนานาโนไฟเบอร์ในระบบจะมีค่าไอล์เดียงกันและอยู่ระหว่าง 5-17 mg/g MLSS และในระบบที่มีการเติมนานาโนไฟเบอร์จะมีค่าการอุดตันของเมมเบรน ต่ำกว่าระบบควบคุมที่ไม่มีการเติมนานาโนไฟเบอร์อยู่โดยเฉลี่ย 16%

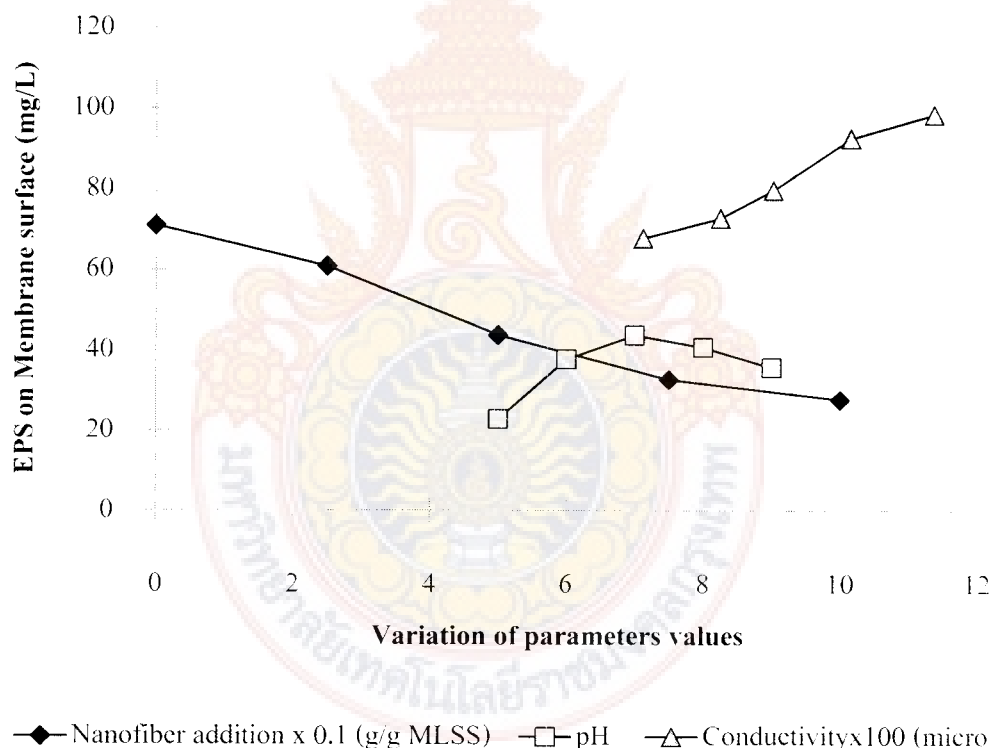


รูปที่ 4.7 ปริมาณสารโพลีเมอร์ชีวภาพตรึงเซลล์ (bound EPS) กับการเปลี่ยนแปลงของความต้านทานการกรองภายในรูกรองของเมมเบรน (ปริมาณการเติมนานาโนไฟเบอร์ 0.25 g/ g MLSS)

4.4 ผลการศึกษาประสิทธิภาพและปัจจัยทางสิ่งแวดล้อมที่มีผลกระทบต่อการจับตัวกันของโพลีเมอร์ชีวภาพบนผิวนานาเมมเบรนเมื่อมีการประยุกต์ใช้นานาโนไฟเบอร์ในระบบ

จากรูปที่ 4.8 เมื่อมีการเปลี่ยนแปลงอัทธิพลของปัจจัยทางสิ่งแวดล้อมในการประยุกต์ใช้นานาโนไฟเบอร์ (ปริมาณการเติมนานาโนไฟเบอร์, ค่า pH และค่าศักย์ไฟฟ้า) กับระบบบำบัดน้ำเสียแบบถัง

ปฏิกรณ์ชีวภาพเมมเบรน พบว่าจะส่งผลต่อการเปลี่ยนแปลงของปริมาณโพลีเมอร์ชีวภาพบนผิวน้ำเสียเมมเบรน โดยการเพิ่มปริมาณการเติมน้ำในไฟเบอร์ระหว่าง 0 - 10 กรัม/กรัมของตะกอนจุลินทรีย์ จะส่งผลให้เกิดการยึดเกาะของปริมาณสารโพลีเมอร์ชีวภาพบนผิวน้ำเสียเมมเบรนลดลงเป็นอย่างมาก (จาก EPS 76 มิลลิกรัม/กรัมของตะกอนจุลินทรีย์ เป็น EPS 27 มิลลิกรัม/กรัมของตะกอนจุลินทรีย์) ในทางตรงกันข้ามจะพบความสัมพันธ์ในเชิงบวกระหว่างการเพิ่มขึ้นของค่าศักย์ไฟฟ้าในระบบกับการเพิ่มขึ้นของปริมาณสารโพลีเมอร์ชีวภาพบนผิวน้ำเสียเมมเบรน โดยการค่าศักย์ไฟฟ้าในระบบระหว่าง 712 – 1,136 มิโครซีเมนต์ จะส่งผลให้เกิดการยึดเกาะของปริมาณสารโพลีเมอร์ชีวภาพบนผิวน้ำเสียเมมเบรนเพิ่มขึ้นกว่า 45% (จาก EPS 67 มิลลิกรัม/กรัมของตะกอนจุลินทรีย์ เป็น EPS 99 มิลลิกรัม/กรัมของตะกอนจุลินทรีย์)



รูปที่ 4.8 อิทธิพลของปัจจัยทางสิ่งแวดล้อมเมื่อมีการประยุกต์ใช้น้ำในไฟเบอร์ (ปริมาณการเติมน้ำในไฟเบอร์, ค่า pH และค่าศักย์ไฟฟ้า) ที่มีต่อการเปลี่ยนแปลงปริมาณสารโพลีเมอร์ชีวภาพบนผิวน้ำเสียเมมเบรน

จากรูปที่ 4.8 ในขณะที่การเปลี่ยนแปลงค่า pH ของระบบระหว่าง 5 - 9 (เมื่อเติมน้ำในไฟเบอร์คงที่ที่ 0.25 กรัม/กรัมของตะกอนจุลินทรีย์) จะส่งผลให้เกิดกราฟเส้นแบบโค้งลงโดยมีค่า

ปริมาณสารโพลีเมอร์ชีวภาพบนผิวน้ำ เมมเบรนสูงสุดที่ pH 7 คาดว่าอาจเป็น เพราะที่ค่า pH เป็นกลางเป็นค่าที่เหมาะสมที่สุดต่อการเจริญเติบโตของจุลินทรีย์ในระบบบำบัดน้ำเสีย

4.5 ผลการศึกษาเบรเยลลักษณะการอุดตันของเมมเบรนเมื่อมีและไม่มีการเติมนาโนไฟเบอร์

ในงานวิจัยนี้จะทำการศึกษาคุณลักษณะการอุดตันของเมมเบรนที่ใช้ในระบบถังน้ำกักกรดชีวภาพ โดยจะทำการวิเคราะห์ทางกายภาพด้วยภาพถ่าย Scanning Electron microscopic (SEM) และการวิเคราะห์ความต้านทานเชิงชลศาสตร์ของเมมเบรน (Hydraulic resistance of membrane)

4.5.1 การวิเคราะห์คุณลักษณะการอุดตันของเมมเบรนโดยการพิจารณาความต้านทานเชิงชลศาสตร์ (Hydraulic resistance of membrane)

ค่าความต้านทานเชิงชลศาสตร์ของเมมเบรนเป็นค่าหนึ่งที่แสดงถึงสมรรถนะเชิงลึกของกระบวนการกรองผ่านเมมเบรน โดยค่าความต้านทานเชิงชลศาสตร์ของเมมเบรน (R_t) สามารถคำนวณได้จากการเปลี่ยนแปลงของความตันตกลงและ การเปลี่ยนแปลงของความต้านทานกรอง ตามสมการ 4.4

$$J = \frac{\Delta P}{\mu R_t} \quad (4.4)$$

สมการการกรอง (Darcy's law):

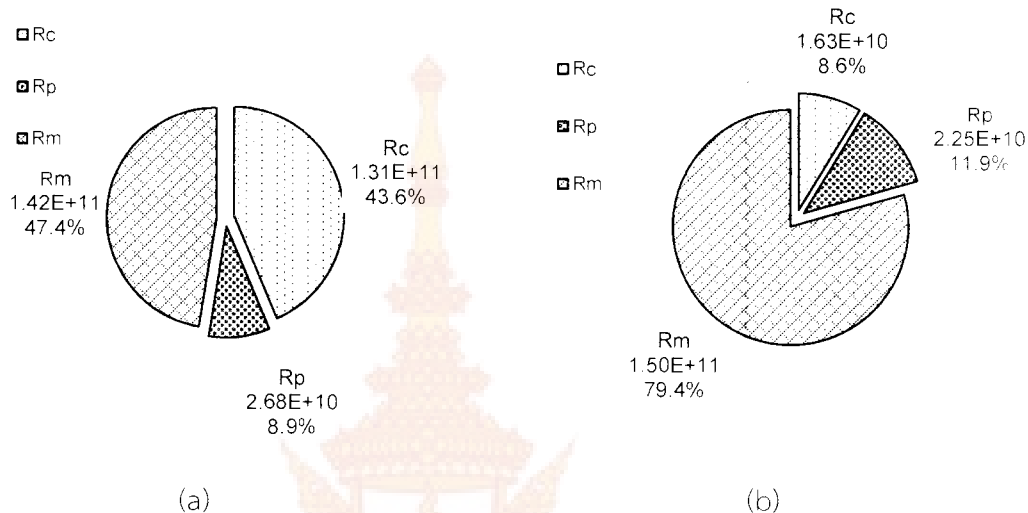
เมื่อ J คือค่าการส่งผ่านฟลักซ์, ΔP คือความตันส่งผ่านเมมเบรน, μ คือค่าความหนืดของของเหลว และ R_t คือค่าความต้านทานรวมของการกรอง

ทั้งนี้ค่าความต้านทานเชิงชลศาสตร์ทั้งหมดจะประกอบด้วย ค่าความต้านทานจากสาเหตุต่างๆ ของ การอุดตันดังนี้

$$R_t = R_m + R_c + R_p \quad (4.5)$$

เมื่อ R_t คือค่าความต้านทานรวมของการกรอง, R_m คือค่าความต้านทานของเมมเบรนสะอาด, R_c คือค่าความต้านทานเด็กบนผิวน้ำเมมเบรน, R_p คือค่าความต้านทานรูกรองของเมมเบรน

จากการทดลองในงานวิจัยนี้เมื่อทำการทดลองโดยเปรียบเทียบระหว่างการเติมและไม่เติมน้ำโนไฟเบอร์ในระบบการบำบัดน้ำเสียแบบถังปฏิกิริยาระบบเชิงชลศาสตร์ทั้งหมดของระบบจะแสดงได้ดังรูป 4.9 ความต้านทานเชิงชลศาสตร์ทั้งหมดของระบบจะแสดงได้ดังรูป 4.9



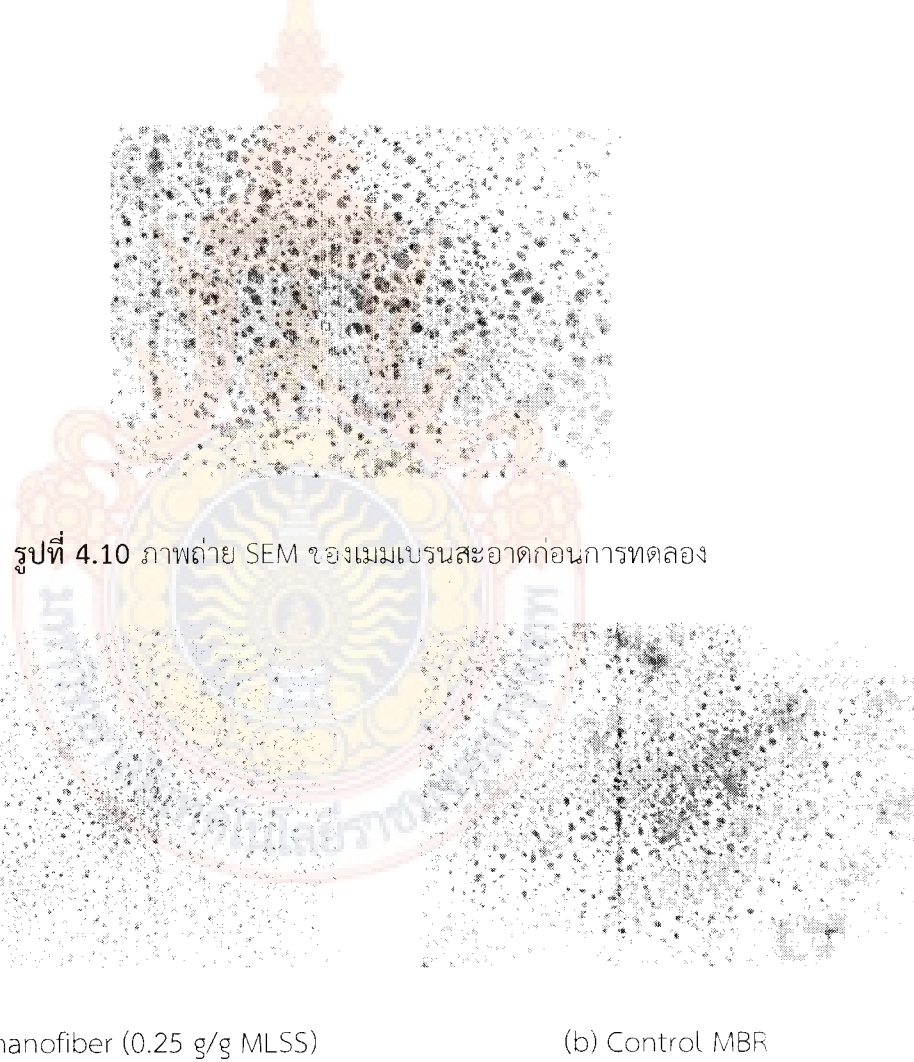
รูปที่ 4.9 การเปลี่ยนแปลงของค่าความต้านทานเชิงชลศาสตร์ของการกรองในระบบที่ (a) ไม่มีการเติมน้ำโนไฟเบอร์ และ (b) มีการเติมน้ำโนไฟเบอร์ ($0.25 \text{ g nanofiber/g MLSS}$)

จากรูปที่ 4.9 พบร่วมกันที่สภาวะไม่มีการเติมน้ำโนไฟเบอร์ในระบบจะมีค่าความต้านทานการกรองโดยรวมสูงมากกว่าเมื่อเทียบกับการกรองที่สภาวะมีการเติมน้ำโนไฟเบอร์เนื่องจากเกิดการสะสมตัวของเด็กน้ำผิวน้ำ膜บนผิวน้ำ membrane ทำให้เกิดการสะสมตัวมากส่งผลให้เกิดการสะสมตัวมากขึ้นของอนุภาคในผิวน้ำ membrane และทำให้เกิดการเพิ่มขึ้นของความหนาชั้นเด็กและเกิดการอัดตัวแน่นของชั้นเด็กได้จากเหตุดังกล่าวนี้จะเห็นได้ว่าความต้านทานการกรองที่เกิดจากชั้นเด็กจะเป็นความต้านทานส่วนใหญ่ของระบบ (มากกว่า 30%) นอกจากนี้พบว่าเมื่อมีการเติมน้ำโนไฟเบอร์เบอร์ ($0.4 \text{ กรัม/กรัมของตะกอนจุลินทรีย์}$) ในระบบบำบัดน้ำเสียแบบถังปฏิกิริยาระบบเชิงชลศาสตร์ทั้งหมดของระบบจะทำให้ความต้านทานการกรองของระบบลดลงกว่า 44% (จากความต้านทานการกรองของระบบควบคุม 2.99×10^{11} ลดลงเป็น 1.98×10^{11} เมื่อมีการเติมน้ำโนไฟเบอร์) เนื่องจากการลดลงของการอุดตันภายนอก (cake resistance : Rc) เป็นสาเหตุหลัก

4.5.2 การวิเคราะห์คุณลักษณะการอุดตันของเมมเบรนทางกายภาพโดยภาพถ่าย Scanning Electron microscopic (SEM)

จากรูปที่ 4.10-4.11 แสดงภาพถ่าย SEM ของผิวน้ำ membrane ที่ใช้ในการกรองภายใต้สภาวะต่างๆ พบร่วมกันของของเมมเบรนใหม่ (รูปที่ 4.10) ก่อนนำมาใช้ในการทดลองมีลักษณะ

สะอาด รูกรองสม้ำสมอและสังเกตได้ชัดเจน ขณะที่ภาพถ่าย SEM ของรูกรองเมมเบรนที่สภาพการกรองโดยมีและไม่มีการเติมนานาโนไฟเบอร์ (รูปที่ 4.11) จะยังคงสังเกตเห็นรูกรองของเมมเบรนได้ชัดเจนทั้งในชุดควบคุมของระบบบำบัดน้ำเสียแบบลังบภิกรณ์ชีวภาพเมมเบรนและในระบบที่มีการเติมนานาโนไฟเบอร์ โดยพบว่าในระบบที่มีการเติมนานาโนไฟเบอร์มีรูกรองบางส่วนมีลักษณะอุดตันอยู่บ้างเล็กน้อยดังแสดงในรูปที่ 4.11 (a)) ในทางกลับกันภาพถ่าย SEM ของรูกรองเมมเบรนที่สภาพการกรองโดยไม่มีการเติมนานาโนไฟเบอร์ ((รูปที่ 4.11 (b)) จะไม่สามารถสังเกตเห็นรูกรองของเมมเบรนได้ชัดนักเนื่องจากมีการปอกคลุ่มของชั้นเค็กอุดตันบนผิวน้ำเมมเบรน หรือกล่าวอีกในหนึ่งคือ การเติมนานาโนไฟเบอร์จะช่วยลดการสะสมตัวของเค็กบนผิวน้ำเมมเบรนนั่นเอง

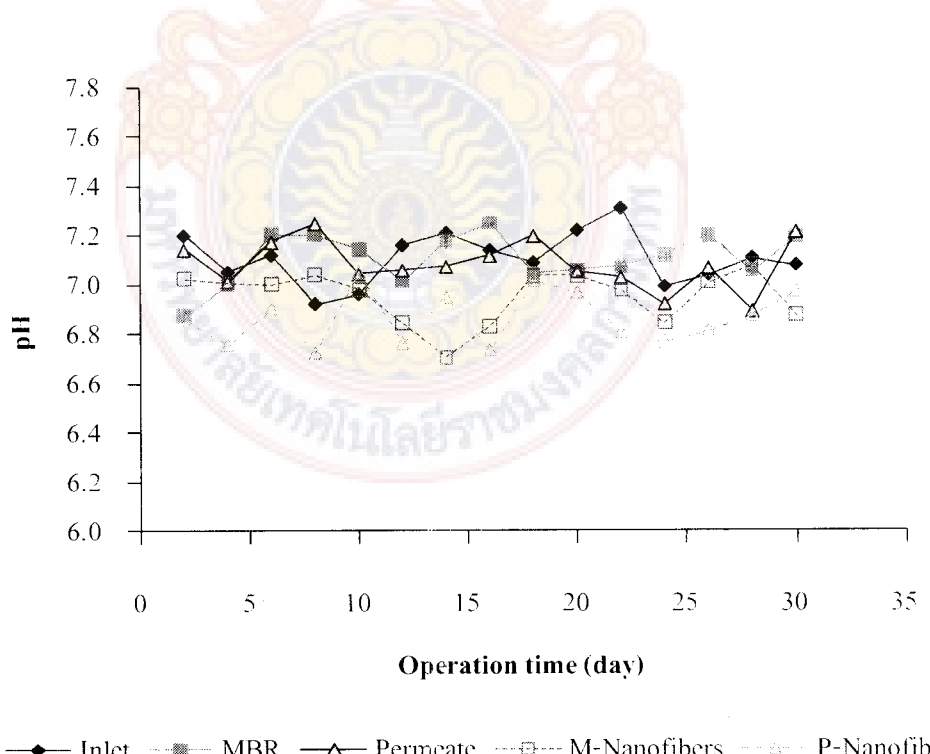


รูปที่ 4.11 ภาพถ่าย SEM ของรูกรองเมมเบรนที่สภาพการกรองโดยมีและไม่มีการเติมนานาโนไฟเบอร์

4.6 ผลการศึกษาคุณภาพของน้ำที่ผ่านกระบวนการบำบัดแบบถังปฏิกรณ์ชีวภาพเมมเบรนเมื่อมีและไม่มีการเติมน้ำโนไฟเบอร์

4.6.1 pH

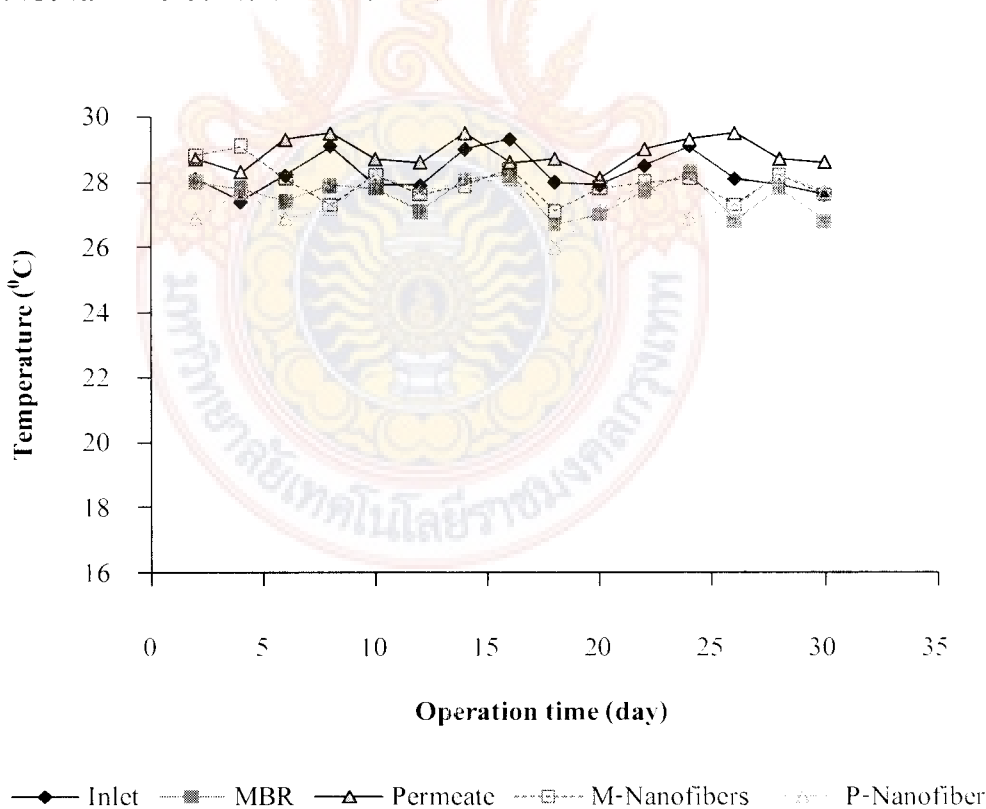
ผลการติดตามค่า pH ในระบบถังปฏิกรณ์ชีวภาพเมมเบรนจะตัวแสดงดังรูป 4.12 พบร้าในน้ำทึ้งขาเข้ามีค่า pH ระหว่าง 7.31 - 6.92 ค่า pH เอชในถังควบคุมปฏิกรณ์ชีวภาพเมมเบรนจะตัวอยู่ระหว่าง 7.20 - 6.87 และค่า pH เอชของน้ำที่ผ่านการบำบัดจากระบบถังปฏิกรณ์ชีวภาพเมมเบรนจะตัวจะอยู่ระหว่าง 7.20 - 6.80 ในขณะที่เมื่อพิจารณาระบบถังปฏิกรณ์ชีวภาพเมมเบรนจะตัวที่มีการเติมน้ำโนไฟเบอร์ พบร้าค่า pH เอชจะต่ำกว่าในถังควบคุม โดยในถังปฏิกรณ์ชีวภาพเมมเบรนที่มีน้ำโนไฟเบอร์จะอยู่ระหว่าง 7.08 - 6.7 และค่า pH เอชของน้ำที่ผ่านการบำบัดจากระบบถังปฏิกรณ์ชีวภาพเมมเบรนเติมน้ำโนไฟเบอร์จะอยู่ระหว่าง 7.04 - 6.62 จะเห็นได้ว่าค่า pH เอชในระบบมีการเปลี่ยนแปลงเล็กน้อย ค่า pH เอชที่เปลี่ยนแปลงนี้เกิดขึ้นเนื่องจากกิจกรรมของจุลินทรีย์ในระบบเติมอากาศที่ทำปฏิกริยาในตรีพิเศษทำให้ค่าความเป็นกรดเพิ่มขึ้น (pH ต่ำ) การเปลี่ยนแปลงค่า pH เอชในถังปฏิกรณ์พบว่ามีความหมายสูงต่อการทำงานของจุลินทรีย์ตามค่ามาตรฐานที่แนะนำซึ่งมีค่าอยู่ระหว่าง 6.50 - 8.50 (สมาคมวิศวกรรมสิ่งแวดล้อมแห่งประเทศไทย, 2548)



รูปที่ 4.12 ค่า pH เอชในถังปฏิกรณ์ชีวภาพเมมเบรนที่เติมและไม่เติมน้ำโนไฟเบอร์

4.7.2 อุณหภูมิ

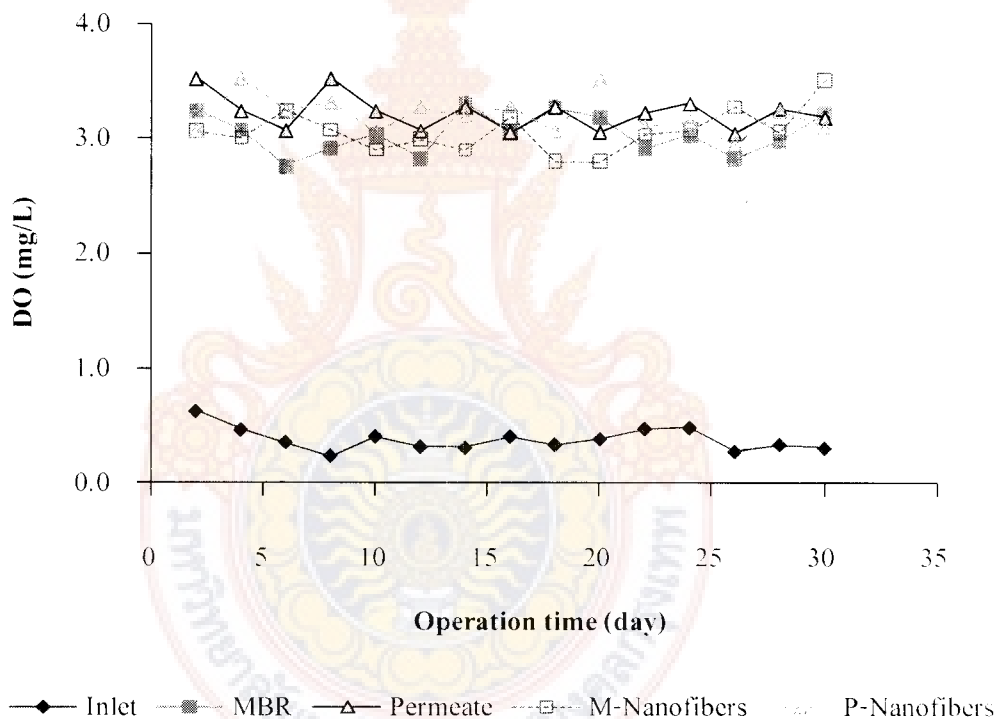
อุณหภูมิมีผลต่อการทำงานของจุลินทรีย์ในระบบบำบัดน้ำเสีย (งขัย พรรรณสวัสดิ์, 2545) และสมรรถนะของระบบบำบัดน้ำเสียด้วยเมมเบรน (Clech et al., 2006) จากการติดตามผลของอุณหภูมิในระบบดังแสดงในรูปที่ 4.13 พบว่าค่าอุณหภูมิของน้ำขาเข้า อุณหภูมิของน้ำที่ผ่านการบำบัดจากออก และอุณหภูมิภายในถังปฏิกรณ์ชีวภาพเมมเบรนจะตัวอยู่ระหว่าง 25.4 – 29.8 องศาเซลเซียส ในขณะที่ระบบถังปฏิกรณ์ชีวภาพเมมเบรนจะตัวที่มีการเติมน้ำในไฟเบอร์จะมีอุณหภูมิอยู่ระหว่าง 25.1 – 29.5 องศาเซลเซียส อุณหภูมิตั้งกล่าวนี้มีความเหมาะสมต่อการทำงานและการเจริญเติบโตของจุลินทรีย์ และจากการศึกษาของ Clech et al., 2006 พบว่าการบำบัดน้ำเสียที่ระบบมีอุณหภูมิต่ำกว่า 17 องศาเซลเซียส ทำให้ค่าความหนืดของ MLSS เพิ่มขึ้น ทำให้ความสามารถในการสัมผัสอินทรีย์สารในน้ำเสียของจุลินทรีย์ต่ำลงและส่งผลต่อประสิทธิภาพในการบำบัดน้ำเสียที่ลดลงด้วย อีกทั้งอุณหภูมิที่ต่ำลงมีผลทำให้จุลินทรีย์ที่จับตัวเป็นก้อนแขวนลอย (floc) เกิดการแตกตัว และแบคทีเรียจะมีการปล่อยสารประกอบออกมานอกเซลล์ซึ่งมีผลต่อการเกิดอุดตันของเมมเบรนและทำให้สมรรถนะของเมมเบรนลดลง



รูปที่ 4.13 อุณหภูมิในถังปฏิกรณ์ชีวภาพเมมเบรนที่เติมและไม่เติมน้ำในไฟเบอร์

4.7.3 ปริมาณของออกซิเจนละลายน้ำ

จากผลการติดตามปริมาณของออกซิเจนละลายน้ำดังแสดงในรูปที่ 4.14 พบร่วมกับค่าปริมาณออกซิเจนละลายน้ำในน้ำทึ้งขาเข้ามีค่าต่ำมากและอยู่ระหว่าง 0.24 – 0.63 มิลลิกรัมต่อลิตร ค่าปริมาณออกซิเจนละลายน้ำในถังปฏิกรณ์ชีวภาพmembrane ตัวและน้ำที่ผ่านการบำบัดจะอยู่ระหว่าง 2.65 – 3.31 มิลลิกรัมต่อลิตร ในขณะที่เมื่อพิจารณาระบบถังปฏิกรณ์ชีวภาพmembrane ตัวที่มีการเติมน้ำโนไฟเบอร์ พบร่วมกับค่าปริมาณออกซิเจนละลายน้ำในถังปฏิกรณ์ชีวภาพmembrane ที่มีนาโนไฟเบอร์และน้ำขากอกที่ผ่านการบำบัดจะอยู่ระหว่าง 2.72 – 3.52 มิลลิกรัมต่อลิตร



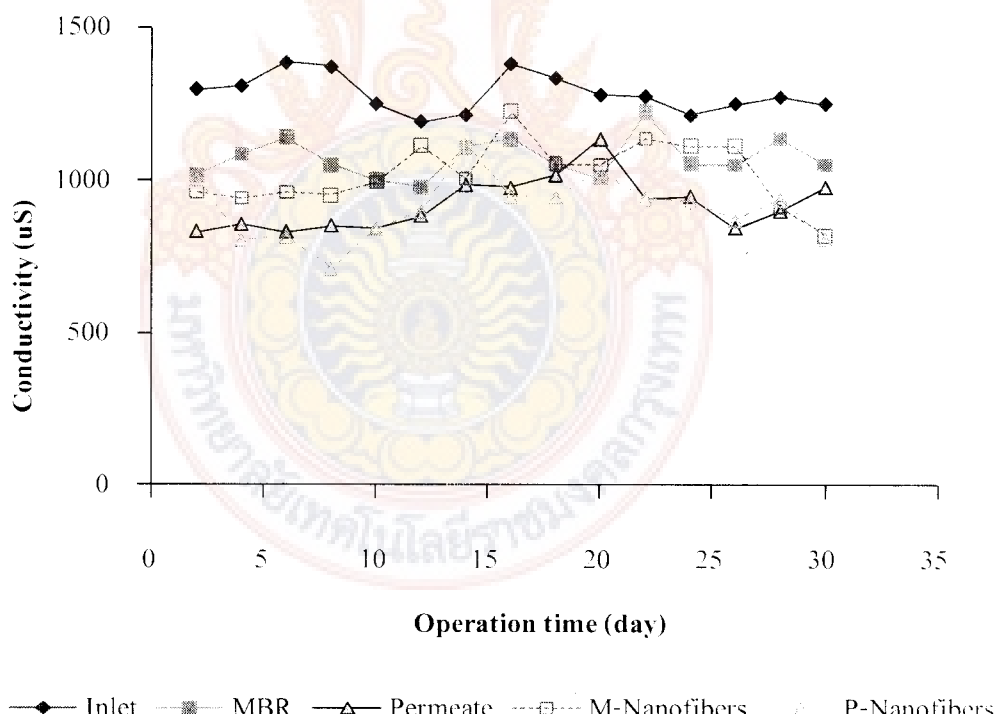
รูปที่ 4.14 ปริมาณ DO ในถังปฏิกรณ์ชีวภาพmembrane ที่เติมและไม่เติมน้ำโนไฟเบอร์

จะเห็นได้ว่าปริมาณออกซิเจนละลายน้ำในระบบบำบัดทั้งแบบที่มีและไม่มีการเติมน้ำโนไฟเบอร์จะมีค่าสูงและมากกว่า 2.0 มิลลิกรัมต่อลิตร และเป็นไปตามค่าปริมาณออกซิเจนที่แนะนำในการเกิดปฏิกิริยาไนตริฟิเคชั่น เหมาะสมต่อการเจริญเติบโตของแบคทีเรียกลุ่มไฮโรโทฟิก และกลุ่มแบคทีเรียนทริฟายอิงในการบำบัดสารอินทรีย์คาร์บอนและไนโตรเจน นอกจากนี้จากการศึกษาของ Han et al. (2005) พบร่วมกับความเข้มข้นของปริมาณออกซิเจนละลายน้ำที่ไม่เหมาะสมในการบำบัดด้วยระบบแօโรบิกคือ ต่ำกว่า 2 มิลลิกรัมต่อลิตร เนื่องจากปริมาณออกซิเจนละลายน้ำที่ต่ำกว่า

นี้จะทำให้ปริมาณการถ่ายโอนออกซิเจนในรูปของออกซิเจนอิสระเข้าสู่เซลล์ของกลุ่มจุลินทรีย์แครบอน ลดลง ส่งผลให้ความสามารถในการย่อยสลายสารอินทรีย์карบอนและไนโตรเจนต่างๆ ตามไปด้วย และในอีกทางหนึ่งปริมาณออกซิเจนละลายน้ำที่สูงย่อมแสดงถึงอัตราการให้อكسิเจนที่สูงด้วย มีผลให้เกิดการเคลื่อนไหวของฟองอากาศเกิดแรงเนื้อนขัดขวางผิวน้ำของเมมเบรนช่วยลดอัตราการอุดตันบนผิวน้ำเมมเบรนด้วย

4.7.4 ค่าการนำไฟฟ้า

จากรูปที่ 4.15 แสดงผลการติดตามค่าการนำไฟฟ้าในระบบบำบัดถังปฏิกรณ์ชีวภาพเมมเบรนจมตื้นและไม่มีการเติมน้ำในไฟเบอร์ในระบบ พบร่วมกับค่าการนำไฟฟ้าของน้ำทึบเข้ามีความสูดเนื้องจากในน้ำทึบเข้ามีความเข้มข้นของไอออนโดยรวมในน้ำมากซึ่งเป็นผลมาจากการที่น้ำทึบเข้ามีความเข้มข้นของสารอินทรีย์สูงอันได้แก่พอกเกลือแร่และเกลือโลหะต่างๆ โดยที่ตัวอย่างน้ำในถังปฏิกรณ์ชีวภาพเมมเบรนมีค่าการนำไฟฟ้าลดลง



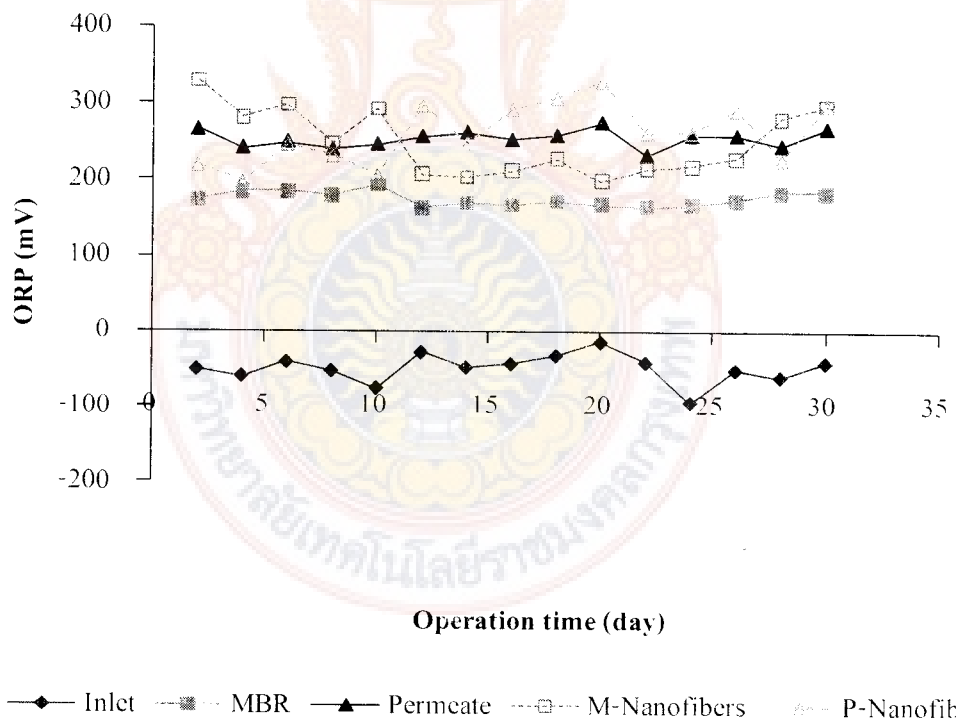
รูปที่ 4.15 ค่าการนำไฟฟ้าในถังปฏิกรณ์ชีวภาพเมมเบรนที่เติมและไม่เติมน้ำในไฟเบอร์

ในขณะที่ระบบถังปฏิกรณ์ชีวภาพเมมเบรนจมตื้นที่มีการเติมน้ำในไฟเบอร์จะมีค่าการนำไฟฟ้าต่ำกว่าแบบที่ไม่มีการเติมน้ำในไฟเบอร์ ซึ่งแสดงให้เห็นถึงประสิทธิภาพในการกำจัดสารอาหาร

ของเชื้อตاتกอนจุลินทรีย์ในระบบว่าจุลินทรีย์มีประสิทธิภาพการกำจัดสารอาหารที่ดี และนำไปเพื่อปรับเปลี่ยนจับตัวและตักตอกของจุลินทรีย์ในระบบ ทำให้การบำบัดน้ำมีประสิทธิภาพดีขึ้น นอกจากนี้พบว่านาําข้าออกที่ผ่านการบำบัดมีค่าการนำไฟฟ้าลดต่ำลงกว่าภายในถังปฏิกรณ์ชีวภาพเมมเบรนอีกด้วย

4.7.5 ค่าศักย์รีดักชั่น-ออกซิเดชั่น

จากรูปที่ 4.16 ผลการติดตามค่าศักย์รีดักชั่น-ออกซิเดชั่นในระบบบำบัดถังปฏิกรณ์ชีวภาพ เมมเบรนทั้งที่มีและไม่มีการเติมน้ำในไฟเบอร์ พบร่วมกันตัวอย่างน้ำทึบเข้าค่าศักย์รีดักชั่น-ออกซิเดชั่นจะมีค่าเป็นลบซึ่งแสดงให้เห็นถึงปริมาณของของแข็งละลายน้ำที่มีอยู่มากและมีความบริสุทธิ์ของน้ำตัวอย่างต่ำ หรือกล่าวอีกในหนึ่งคือค่าศักย์รีดักชั่น-ออกซิเดชั่นที่สูงจะบ่งบอกถึงปริมาณสารออกซิเดช (ในที่นี้คือออกซิเจน) ที่สูงตามไปด้วย



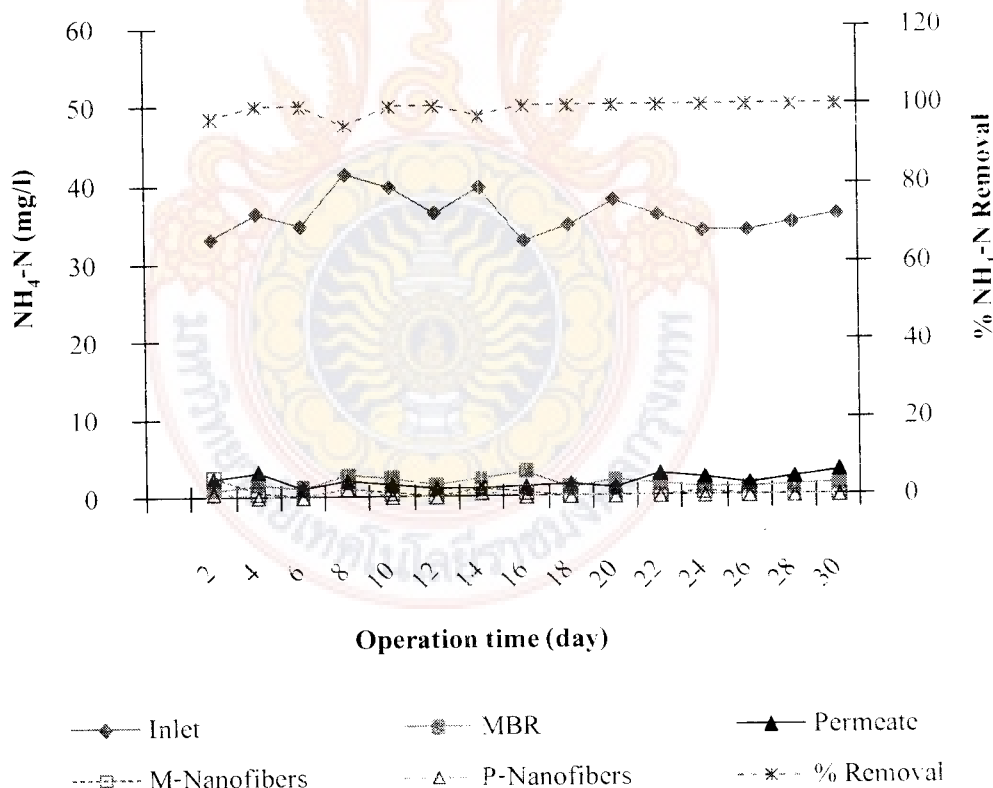
รูปที่ 4.16 ศักย์รีดักชั่น-ออกซิเดชั่นในถังปฏิกรณ์ชีวภาพเมมเบรนที่เติมและไม่เติมน้ำในไฟเบอร์

เมื่อพิจารณาถึงค่าศักย์รีดักชั่น-ออกซิเดชั่นของตัวอย่างน้ำจากถังปฏิกรณ์ชีวภาพเมมเบรน และนาําข้าออกที่ผ่านการบำบัดพบว่า มีค่าศักย์รีดักชั่น-ออกซิเดชั่นสูงระหว่าง 233 – 276 mV

ในขณะที่ระบบถังปฏิกรณ์ชีวภาพเมมเบรนจะตัวที่มีการเติมน้ำโนไฟเบอร์จะมีค่าศักย์เรดักชัน-ออกซิเดชันในถังทดลองและน้ำข้าออกที่ผ่านการบำบัดอยู่ระหว่าง 255 – 329 mV ซึ่งแสดงให้เห็นถึงปริมาณสารออกซิไดซ์ที่มากอันเนื่องมาจากการให้อากาศร่วมกับการเติมน้ำโนไฟเบอร์ในระบบ นอกจากนี้ยังมีการรายงานว่าปริมาณสารออกซิไดซ์ที่สูงเพียงพอที่ระดับค่าศักย์เรดักชัน-ออกซิเดชันมากกว่า 650 mV สามารถฆ่าเชื้อแบคทีเรียได้เกือบทั้งหมด และสามารถนำไปประยุกต์ใช้ในการท้าทายต่อไปได้

4.7.7 ปริมาณความเข้มข้นแอมโมเนีย - ในโตรเจน

จากรูปที่ 4.17 ผลการติดตามค่าปริมาณความเข้มข้นแอมโมเนีย - ในโตรเจนในระบบบำบัดถังปฏิกรณ์ชีวภาพเมมเบรนจะตัว พบร้าในตัวอย่างน้ำทึ้งขาเข้าปริมาณแอมโมเนียในโตรเจนจะมีค่าสูงและอยู่ระหว่าง 33 - 41 มิลลิกรัมต่อลิตร

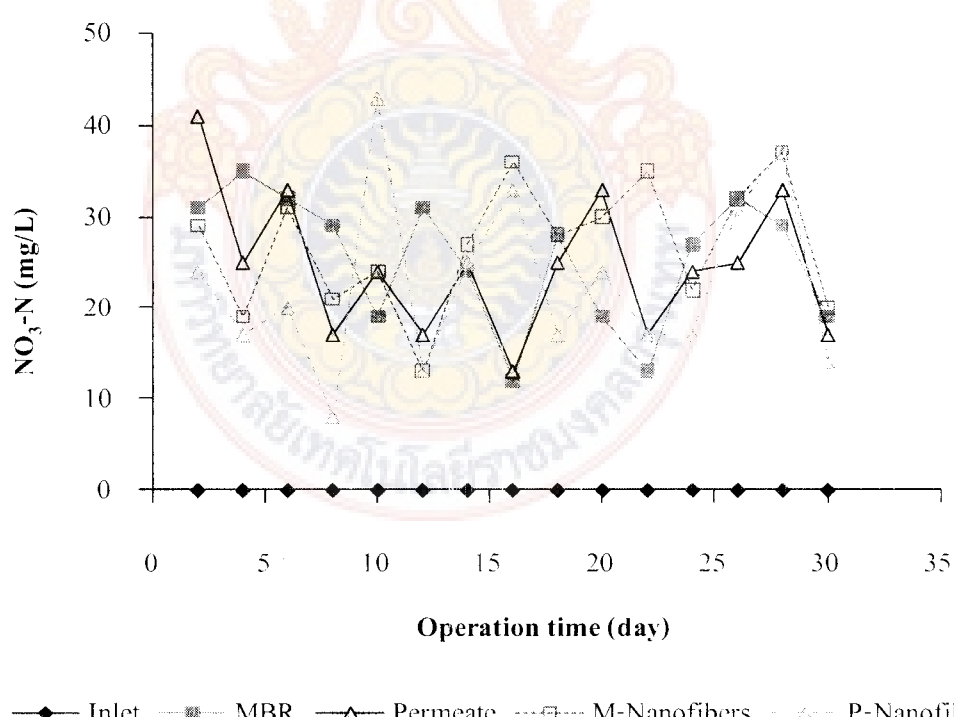


รูปที่ 4.17 ปริมาณแอมโมเนีย - ในโตรเจนในถังที่เติมและไม่เติมน้ำโนไฟเบอร์

เมื่อพิจารณาถึงค่าปริมาณความเข้มข้นแอมโมเนีย – ในต่อเรجنของตัวอย่างน้ำจากถังปฏิกรณ์ชีวภาพเมมเบรนทั้งที่มีและไม่มีการเติมน้ำโน๊ตเพเบอร์และน้ำข้าวอกที่ผ่านการบำบัดในทั้งสองระบบพบว่าปริมาณความเข้มข้นแอมโมเนีย – ในต่อเรจนจะมีค่าน้อยมากและต่ำกว่า 2 มิลลิกรัมต่อลิตร ส่งผลให้ประสิทธิภาพการกำจัดแอมโมเนีย-ในต่อเรجنของระบบอยู่ในระดับดีมากและมีค่าใกล้เคียง 100% ปริมาณแอมโมเนีย-ในต่อเรجنในน้ำเสียแสดงถึงปริมาณในต่อเรจนที่อยู่ในรูปของแอมโมเนียทั้งหมด ส่วนใหญ่มักเกิดจากการย่อยสลายของสารอินทรีย์น้ำเสียที่มีปริมาณแอมโมเนียสูงอาจจะเนื่องมาจากการนำน้ำเสียเกิดการหมักและสารอินทรีย์เกิดการย่อยสลายได้แก่ส่วนแอมโมเนียออกนามีความสำคัญในการบ่งชี้สภาพความสกปรกของสภาพน้ำ

4.7.8 ปริมาณความเข้มข้นในต่อที่ – ในต่อเรجن

จากรูปที่ 4.18 ผลการติดตามค่าปริมาณความเข้มข้นในต่อที่ – ในต่อเรجنในระบบบำบัดถังปฏิกรณ์ชีวภาพเมมเบรนรวมตัว พบร่วมกันที่ตัวอย่างน้ำทั้งขาเข้าปริมาณในต่อที่ – ในต่อเรจนจะมีค่าเป็นศูนย์

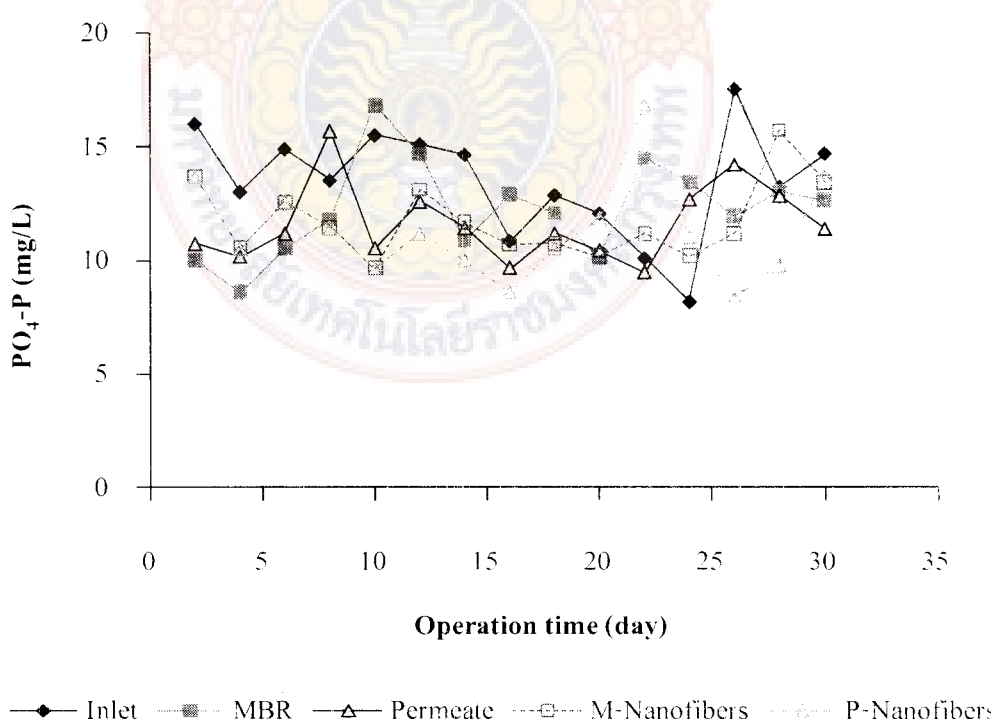


รูปที่ 4.18 ปริมาณในต่อที่ – ในต่อเรجنในถังปฏิกรณ์ชีวภาพเมมเบรนที่เติมและไม่เติมน้ำโน๊ตเพเบอร์

เมื่อพิจารณาถึงค่าปริมาณความเข้มข้นในไตรท์ – ในไตรเจนของตัวอย่างน้ำจากถังปฏิกิริณีชีวภาพ เมมเบรนทั้งที่เติมและไม่เติมน้ำโนไฟเบอร์และน้ำขากอกที่ผ่านการบำบัดของทั้งสองระบบฯ ปริมาณความเข้มข้นในไตรท์ – ในไตรเจนจะมีค่าใกล้เคียงกันและอยู่ 8 - 43 มิลลิกรัมต่อลิตร ปริมาณในไตรท์เป็นสารประกอบในไตรเจน โดยการเปลี่ยนแปลงสภาพจากสารอินทรีย์ในไตรเจนเช่น จุลินทรีย์จะเปลี่ยนไปเป็นสารอนินทรีย์ในไตรเจนหรืออยู่ในรูปใบไตรท์ การที่น้ำในถังปฏิกิริณีชีวภาพ เมมเบรนและน้ำขากอกที่ผ่านการบำบัดมีปริมาณในไตรท์สูง เป็นผลจากมีจุลินทรีย์บริเวณ Autotrophic ammonia oxidizing bacteria (AOB) อยู่ในระบบ จุลินทรีย์ดังกล่าวจะทำการออกซิเดช์แอมโมเนียนียให้เป็นไตรท์ทำให้ในถังปฏิกิริณีชีวภาพเมมเบรนมีปริมาณในไตรท์มาก

4.7.9 ปริมาณความเข้มข้นฟอสฟेट – ฟอสฟอรัส

จากรูปที่ 4.19 ผลการติดตามค่าปริมาณความเข้มข้นฟอสฟेट – ฟอสฟอรัสในระบบบำบัด ถังปฏิกิริณีชีวภาพเมมเบรน พบว่าในตัวอย่างน้ำทึบขาเข้า, น้ำตัวอย่างจากถังปฏิกิริณีชีวภาพเมมเบรน ทั้งที่มีการเติมและไม่เติมน้ำโนไฟเบอร์และน้ำขากอกที่ผ่านการบำบัดของทั้งสองระบบ พบว่าปริมาณฟอสฟेट – ฟอสฟอรัสจะมีค่าใกล้เคียงกันและอยู่ระหว่าง 8 - 18 มิลลิกรัมต่อลิตร ส่วนผลให้ประสิทธิภาพการกำจัดฟอสฟेट – ฟอสฟอรัสของระบบไม่สูงมากและมีค่าเฉลี่ยประมาณ 14%

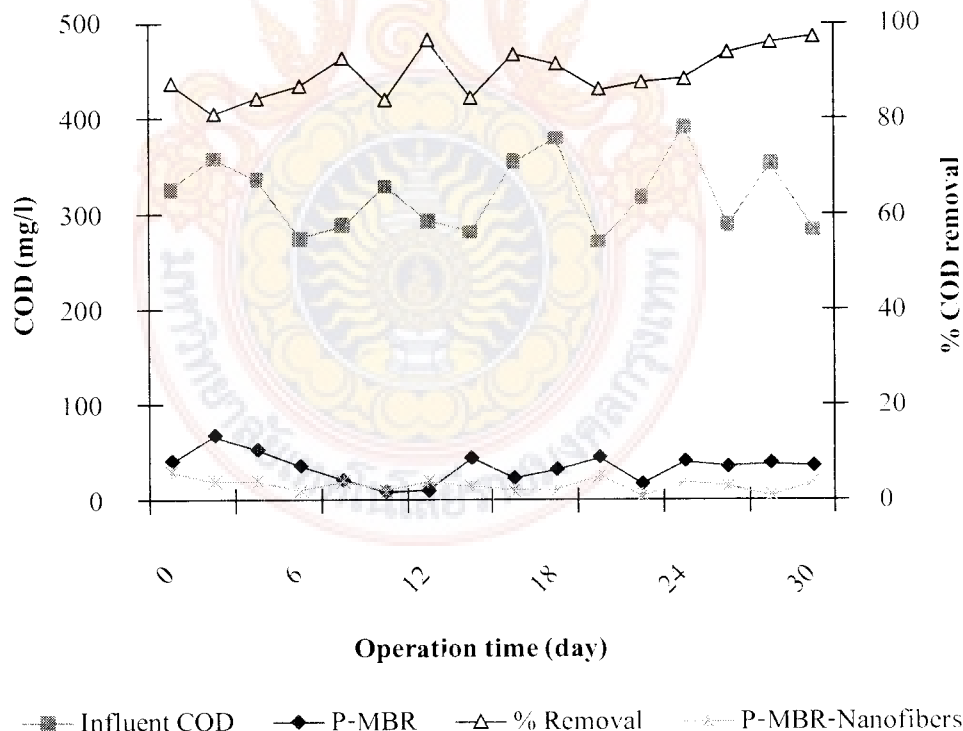


รูปที่ 4.19 ปริมาณฟอสฟอรัสในถังปฏิกิริณีชีวภาพเมมเบรนที่เติมและไม่เติมน้ำโนไฟเบอร์

ฟอสฟอรัสเป็นสารอาหารที่สำคัญสำหรับสิ่งมีชีวิตในการสร้างเซลล์ใหม่ มักอยู่ในรูปของ พอสเฟต โพลีฟอสเฟตและอินทรีย์ฟอสเฟต โดยฟอสฟอรัสจะเป็นตัวที่เร่งการเจริญเติบโตของสาหร่ายอย่างรวดเร็ว (algae bloom) จะเห็นได้ว่านาข้าวออกที่ผ่านแม่น้ำเบรน (ทั้งที่มีและไม่มีการเติมน้ำโนไฟเบอร์ในระบบ) จะมีปริมาณฟอสฟอรัสลดลงเล็กน้อยและค่าไม่ต่างกัน เนื่องจากเป็นการบำบัดน้ำเสียด้วยระบบตั้งต้นเรื่อง หรือการให้อาหาร ซึ่งระบบนี้ไม่สามารถกำจัดฟอสฟอรัสได้ แต่จะสามารถกำจัดฟอสฟอรัสได้ในระบบที่ไม่มีอาหารและแม่น้ำเบรนไม่สามารถกำจัดปริมาณฟอสฟอรัสออกได้ (มหาวิทยาลัยศรีนครินทร์วิโรฒ. 2542: ออนไลน์)

4.7.10 ปริมาณความความต้องการออกซิเจนทางเคมี

จากรูปที่ 4.20 ผลการติดตามค่าปริมาณความต้องการออกซิเจนทางเคมี (COD) ในระบบบำบัดถังปฏิกรณ์ชีวภาพแม่น้ำเบรนจะมีตัวอย่างน้ำทึ้งขาเข้าจะมีค่าสูงและอยู่ระหว่าง 272 – 392 มิลลิกรัมต่อลิตร



รูปที่ 4.20 ปริมาณ COD ในถังปฏิกรณ์ชีวภาพแม่น้ำเบรนที่เติมและไม่เติมน้ำโนไฟเบอร์

เมื่อพิจารณาถึงค่าปริมาณความออกซิเจนทางเคมี (COD) ของตัวอย่างน้ำข้าวอกที่ผ่านการบำบัดทั้งสองระบบจากถังปฏิกรณ์ชีวภาพเมมเบรนทั้งที่มีการเติมและไม่เติมน้ำโน๊ตเพเบอร์ พบร่วมค่าปริมาณความออกซิเจนทางเคมีทั้งสองระบบจะมีค่าใกล้เคียงกันและต่ำลงกว่าค่า COD ของน้ำข้าวเข้ามาก โดยทั้งสองระบบจะเฉลี่ยอยู่ระหว่าง 3 และ 33 มิลลิกรัมต่อลิตร ตามลำดับ ส่งผลให้ประสิทธิภาพการกำจัดซึ่งออกซิเจนทางเคมี (chemical oxygen demand) หมายถึงปริมาณออกซิเจนทั้งหมดที่ต้องการเพื่อใช้ในการออกซิเดช์สารอินทรีย์ในน้ำให้กลা�iy เป็นคาร์บอนไดออกไซด์และน้ำ โดยทั่วไปน้ำเสียข้าวเข้าจะมีค่าซึ่งสูงมากเนื่องจากมีปริมาณสารอินทรีย์และบริมาณสารอนินทรีย์ละลายอยู่มาก จึงมีความต้องการออกซิเจนในการออกซิเดช์สูง ขณะที่น้ำที่ผ่านการทำบัดจะมีค่าลดลงมาก เนื่องจากสารอาหารในน้ำเสียได้ถูกบำบัดแล้วจากการให้อากาศและการกินอาหารของจุลินทรีย์ซึ่งเป็นส่วนหนึ่งของระบบตะกอนเร่ง (activated sludge process)



บทที่ 5

สรุปผล

จากการดำเนินการทดลองเพื่อศึกษาการประยุกต์ใช้นาโนไฟเบอร์ในระบบบำบัดน้ำเสียแบบเมมเบรนจัตัวเพื่อกำหนดมาตรฐานใหม่ของน้ำทึ้งชุมชนได้ข้อสรุปต่างๆดังนี้

- ผลการทดสอบเพื่อหาค่าความต้านทานของเมมเบรนสะอาดในน้ำกลิ้น พบว่าจะได้ค่าความต้านทานตั้งต้นของเมมเบรนแบบแผ่นประมาณ $1.46E+10$ ต่อเมตร เพิ่มขึ้นมากกว่าเท่าตัวจาก 50 ไปเป็น 150 มิลลิกรัม/กรัมของตะกอนจุลินทรีย์ ในขณะที่สารโพลีเมอร์ชีวภาพละลายน้ำประเภทโปรตีนเพิ่มขึ้นมากเช่นกันจาก 24 ไปเป็น 65 มิลลิกรัม/กรัมของตะกอนจุลินทรีย์ การเติมนากโนไฟเบอร์จะพบร่วมค่าสารโพลีเมอร์ชีวภาพละลายน้ำประเภทโปรตีนและคาร์บอไฮเดรตจะต่ำกว่าในถังควบคุม โดยจะมีสารโพลีเมอร์ชีวภาพละลายน้ำประเภทโปรตีนและคาร์บอไฮเดรตอยู่ระหว่าง 50 – 94 และ 23-36 มิลลิกรัม/กรัมของตะกอนจุลินทรีย์ ตามลำดับ
- ระยะเวลาการดำเนินงานเพิ่มขึ้นจะทำให้สารโพลีเมอร์ชีวภาพตรึงเซลล์ประเภทโปรตีน เพิ่มขึ้นมากกว่าเท่าตัวจาก 21 ไปเป็น 52 มิลลิกรัม/กรัมของตะกอนจุลินทรีย์ ในขณะที่สารโพลีเมอร์ชีวภาพตรึงเซลล์ประเภทคาร์บอไฮเดรตเพิ่มขึ้นมากเช่นกันจาก 21 ไปเป็น 64 มิลลิกรัม/กรัมของตะกอนจุลินทรีย์ การเติมนากโนไฟเบอร์ พบว่าค่าสารโพลีเมอร์ชีวภาพตรึงเซลล์ทั้งประเภทโปรตีนและคาร์บอไฮเดรตจะต่ำกว่าในถังควบคุม โดยจะมีสารโพลีเมอร์ชีวภาพตรึงเซลล์ประเภทโปรตีนและคาร์บอไฮเดรตอยู่ระหว่าง 14 – 33 และ 13-23 มิลลิกรัม/กรัมของตะกอนจุลินทรีย์ ตามลำดับ
- การเพิ่มขึ้นของความเข้มข้นจุลินทรีย์จะส่งผลให้ความต้านทานภายในรูกรองเมมเบรนของระบบมีค่าเพิ่มขึ้น
- การเปลี่ยนแปลงของความเข้มข้นของปริมาณสารแหวนโลยที่เพิ่มขึ้นจะส่งผลอย่างมากต่อการอุดตันของเมมเบรนและส่งผลให้ความต้านทานภายในของรูกรองเมมเบรนเพิ่มขึ้นแบบเอกซ์ปันเนชั่นเฉียบ
- การเพิ่มขึ้นของปริมาณโพลีเมอร์ชีวภาพละลายน้ำ (Soluble EPS) ในระบบที่มีและไม่มีการเติมนากโนไฟเบอร์ในระบบจะมีค่าไกล์เคียงกันและอยู่ระหว่าง 15-40 mg/g MLSS และในระบบที่มีการเติมนากโนไฟเบอร์จะมีค่าการอุดตันของเมมเบรน ต่ำกว่าระบบควบคุมที่ไม่มีการเติมนากโนไฟเบอร์อยู่โดยเฉลี่ย 9%

7. การเพิ่มขึ้นของปริมาณโพลีเมอร์ชีวภาพตรึงเซลล์ (Bound EPS) ในระบบที่มีและไม่มีการเติมนาโนไฟเบอร์ในระบบจะมีค่าไกล์เดียงกันและอยู่ระหว่าง 5-17 mg/g MLSS และในระบบที่มีการเติมนาโนไฟเบอร์จะมีค่าการอุดตันของเมมเบรน ต่ำกว่าระบบควบคุมที่ไม่มีการเติมนาโนไฟเบอร์อยู่โดยเฉลี่ย 16%
8. การเพิ่มปริมาณการเติมนาโนไฟเบอร์ระหว่าง 0 - 10 กรัม/กรัมของตะกอนจุลินทรีย์ จะส่งผลให้เกิดการยึดเกาะของปริมาณสารโพลีเมอร์ชีวภาพบนผิวน้ำเมมเบรนลดลงเป็นอย่างมาก (76 ไปเป็น EPS 27 มิลลิกรัม/กรัมของตะกอนจุลินทรีย์)
9. การเพิ่มขึ้นของค่าศักย์ไฟฟ้าในระบบจะเกิดการเพิ่มขึ้นของปริมาณสารโพลีเมอร์ชีวภาพบนผิวน้ำเมมเบรน โดยการค่าศักย์ไฟฟ้าในระบบระหว่าง 712 – 1,136 มิโครซีเมนต์ จะส่งผลให้เกิดการยึดเกาะของปริมาณสารโพลีเมอร์ชีวภาพบนผิวน้ำเมมเบรนเพิ่มขึ้นกว่า 45%
10. การกรองที่สภาวะไม่มีการเติมนาโนไฟเบอร์ในระบบจะมีค่าความต้านทานการกรองโดยรวมสูงมากกว่าเมื่อเทียบกับการกรองที่สภาวะมีการเติมนาโนไฟเบอร์ 44% เนื่องจากการลดลงของการอุดตันภายนอก (cake resistance : R_c) เป็นสาเหตุหลัก
11. การวิเคราะห์คุณลักษณะการอุดตันของเมมเบรนทางกายภาพโดยภาพถ่าย Scanning Electron microscopic (SEM) พบว่าในระบบที่มีการเติมนาโนไฟเบอร์มีรูกรองบางส่วนมีลักษณะอุดตันอยู่บ้างเล็กน้อยดัง ในทางกลับกันภาพถ่าย SEM ของรูกรองเมมเบรนที่สภาวะการกรองโดยไม่มีการเติมนาโนไฟเบอร์จะไม่สามารถสังเกตเห็นรูกรองของเมมเบรนได้ชัดนักเนื่องจากมีการปักคลุมของชั้นเค้กอุดตันบนผิวน้ำเมมเบรน
12. การศึกษาคุณลักษณะการบำบัดน้ำเสียในระบบถังปฏิกรณ์ชีวภาพเมมเบรน พบร้าน้ำขากอกที่ผ่านการบำบัดจะมีพีเอชอยู่ระหว่าง 7.08 – 6.73, อุณหภูมิอยู่ระหว่าง 25.1 – 29.5 องศาเซลเซียส, ปริมาณของออกซิเจนละลายน้ำ 2.72 – 3.52 มิลลิกรัมต่อลิตร, ความเข้มข้นจุลินทรีย์เป็นศูนย์, ความเข้มข้นแอมโมเนียมในต่อเจน มีค่าต่ำกว่า 1 มิลลิกรัมต่อลิตร. ประสิทธิภาพการกำจัดฟอสฟेट – ฟอสฟอรัสของระบบมีค่าเฉลี่ยประมาณ 14%. ประสิทธิภาพการกำจัดซีอีดีของระบบมีค่าเฉลี่ยประมาณ 81% จากผลการบำบัดที่ได้พบว่า มีความเป็นไปได้ในการนำกลับมาใช้ใหม่ของน้ำทึ้งชุมชนที่ผ่านการบำบัดด้วยระบบถังปฏิกรณ์ชีวภาพเมมเบรน

บรรณานุกรม

กรมส่งเสริมคุณภาพสิ่งแวดล้อม, www.deqp.go.th.

กฤติยา เลิศโภคสมบัติ และธนาวุฒิ ส่งแสง. 2546. ผลของลักษณะเฉพาะของน้ำเสียต่อการกรองด้วย
ของไมโครพิวเทอร์ชั้นเมมเบรนในกระบวนการแยกทิเวเต็ตสลัดจ์สำหรับการบำบัดน้ำเสีย
ชุมชน. คณะวิศวกรรมศาสตร์ มหาวิทยาลัยธรรมศาสตร์.

เกรียงศักดิ์ อุดมสินโรจน์. 2542. การบำบัดน้ำเสีย. พิมพ์ครั้งที่ 2. กรุงเทพฯ: สยามสหชั่นอริชัพ
พลาสติก.

กำพล นันทพงษ์ ม.ป.ป. “ความรู้เบื้องต้นในการบำบัดน้ำเสีย” [ออนไลน์] เข้าถึงได้จาก:
<http://www.wwomc.com/index.php?lay=show&ac=article&id=538804283&Ntype=3>.

ณัฐพันธ์ กลีนเกรศ. 2545. “การกำจัดซีออดี ในโทรศัพท์ และพ่อฟอร์ส ด้วยกระบวนการทาง
ชีวภาพร่วมกับไมโครพิลเตอร์ชั้นเมมเบรน”, วิทยานิพนธ์มหาบัณฑิต ภาควิชาเคมีวิศวกรรม
สิ่งแวดล้อม จุฬาลงกรณ์มหาวิทยาลัย.

นักกฎหมาย ประเสริฐสังข์. 2546. “การกำจัดซีออดี ในโทรศัพท์ พ่อฟอร์สด้วยกระบวนการกำจัด
ธาตุอาหารทางชีวภาพ ร่วมกับกระบวนการไมโครพิลเตอร์ชั้นเมมเบรนแบบจำเพาะ”,
วิทยานิพนธ์ปริญญามหาบัณฑิต ภาควิชาเคมีวิศวกรรมสิ่งแวดล้อม จุฬาลงกรณ์มหาวิทยาลัย.

ธงชัย พรรณสวัสดิ์ และวิบูลย์ลักษณ์. 2540. วิเคราะห์น้ำเสีย. พิมพ์ครั้งที่ 3. กรุงเทพฯ: เรือน
แก้วการพิมพ์.

ปราณี พันธุ์สินชัย และศักดิ์ชัย สุริยจันทรากอง. 2550. วิศวกรรมสิ่งแวดล้อม. พิมพ์ครั้งที่ 1.
กรุงเทพฯ: สมาคมวิศวกรรมสิ่งแวดล้อมแห่งประเทศไทย.

มหาวิทยาลัยศรีนครินทรวิโรฒ. 2542. “ลักษณะของน้ำเสีย” [ออนไลน์] เข้าถึงได้จาก:
<http://www.swu.ac.th/royal/index.html>.

วีระ ชานวิทกุล. 2546. “ระบบบำบัดน้ำเสียแบบแยกทิเวเต็ตสลัดจ์” [ออนไลน์] เข้าถึงได้จาก:
http://www.tumcivil.com/engfanatic/article_gen.php?article_id=118&hit=1

สมพรัตน์ จิโรกาส, กัลยา ศรีสุวรรณ และ ไพบูลย์ อินนาจิต. 2550. “การเพรื่องอนุภาคแบบไฮโดร
ไดนามิกในการกรองไมโครพิลเตอร์ชั้น”, วารสารวิจัย มช. ฉบับ 7(1), หน้า 64-73

สันทัด ศิริอันน์ไฟบลูย์. 2549. ระบบบำบัดน้ำเสีย. พิมพ์ครั้งที่ 1. กรุงเทพฯ: สำนักพิมพ์ท้อบ.

อริยะ เตเกษานนท์. 2543. “การนำกลับน้ำเสียจากอาคารสูงมาใช้ใหม่โดยระบบถังบัญชีร่น
ชีวภาพที่ไม่ไมโครพิลเตอร์ชั้นเมมเบรนแบบจำเพาะ”, วิทยานิพนธ์ปริญญามหาบัณฑิต ภาควิชา
เคมีวิศวกรรมสิ่งแวดล้อม จุฬาลงกรณ์มหาวิทยาลัย.

- bioreactors." *Separation and Purification Technology* 22-23: 123-132.
- Brindle, K. and T. Stephenson (1996). "The application of membrane biological reactors for the treatment of wastewaters." *Biotechnol. Bioeng.* 49: 601.
- Chang, I.-S. and C.-H. Lee (1998). "Membrane filtration characteristics in membrane-coupled activated sludge system - the effect of physiological states of activated sludge on membrane fouling." *Desalination* 120(3): 221-233.
- Defrance, L. and M. Y. Jaffrin (1999). "Reversibility of fouling formed in activated sludge filtration." *Journal of Membrane Science* 157(1): 73-84.
- Defrance, L., M. Y. Jaffrin, et al. (2000). "Contribution of various constituents of activated sludge to membrane bioreactor fouling." *Bioresource Technology* 73(2): 105-112.
- Fan, F., H. Zhou, et al. (2006). "Identification of wastewater sludge characteristics to predict critical flux for membrane bioreactor processes." *Water Research* 40(2): 205-212.
- Han, S.-S., T.-H. Bae, et al. (2005). "Influence of sludge retention time on membrane fouling and bioactivities in membrane bioreactor system." *Process Biochemistry* 40(7): 2393-2400.
- Hernandez Rojas, M. E., R. Van Kaam, et al. (2005). "Role and variations of supernatant compounds in submerged membrane bioreactor fouling." *Desalination* 179(1-3): 95-107.
- Ji, L. and J. Zhou (2006). "Influence of aeration on microbial polymers and membrane fouling in submerged membrane bioreactors." *Journal of Membrane Science* 276(1-2): 168-177.
- Laspidou, C. S. and B. E. Rittmann (2002). "A unified theory for extracellular polymeric substances, soluble microbial products, and active and inert biomass." *Water Research* 36(11): 2711-2720.
- Le Clech, P., V. Chen, et al. (2006). "Fouling in membrane bioreactors used in wastewater treatment." *Journal of Membrane Science* 284(1-2): 17-53.
- Lee, J., W.-Y. Ahn, et al. (2001). "Comparison of the filtration characteristics between attached and suspended growth microorganisms in submerged membrane bioreactor." *Water Res.* 35(10): 2435-2445.

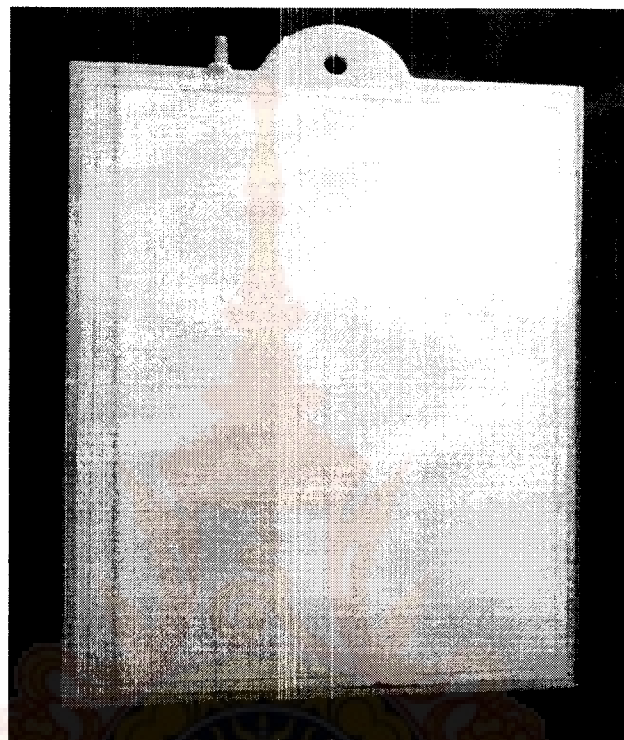
- Lee, W., S. Kang, et al. (2003). "Sludge characteristics and their contribution to microfiltration in submerged membrane bioreactors." *Journal of Membrane Science* 216(1-2): 217-227.
- Li, A., Kothari, D. and Corrado, J. J. Application of membrane anaerobic system for the treatment of industrial wastewater. Presented at 39th Annual purdue industrial waste conference West Lafayette. Indiana, May 1984
- Li, J., Y. Li, et al. (2007). "Impact of filamentous bacteria on properties of activated sludge and membrane-fouling rate in a submerged MBR." *Separation and Purification Technology*.
- Magara, Y. and M. Itoh (1991). "The effect of operational factors on solid/liquid separation by ultra-membrane filtration in a biological denitrification system for collected human excreta treatment plants." *Water Sci. Technol.* 23 1583-1590.
- Manem, J. and R. Sanderson (1996). Chapter 17 Membrane bioreactors in water treatment. *Water Treatment Membrane Process*. A. R. Foundation. New York. McGraw-Hill.
- Meng Fangang, Zhang Hanmin, Yang Fenglin, Zhang Shoutong, Li Yansong and Zhang Xingwen. 2006. "Identification of activated sludge properties affecting membrane fouling in submerged membrane bioreactors" *Separation and Purification Technology*. 51 (January): 95-103.
- Nagaoka, H., S. Yamanishi, et al. (1998). "Modeling of biofouling by extracellular polymers in a membrane separation activated sludge system." *Water Science and Technology* 38(4-5): 497-504.
- Ross, W. R., J. P. Barnard, et al. (1990). "Application of ultrafiltration membranes for solid-liquid separation in anaerobic digestion systems: the ADUF process." *WATER SA* 16(2): 85-91.
- Rosenberger, S. and M. Kraume (2003). Parameters influencing filterability of activated sludge in membrane bioreactors Proc. AWWA Membrane Technology, Atlanta
- Sopajaree, K. Domestic wastewater treatment using membrane bioreactor. Master's Thesis, Environmental Engineering Department, AIT. 1989.

- Sharman R . 1998. Water and Wastewater Technology. LBCC : Activated Sludge [online] Available:
<http://www.bcc.cc.or.us/process1/resource/asbasic/asbasic1.html>.
- Wisniewski, C. and A. Grasmick (1998). "Floc size distribution in a membrane bioreactor and consequences for membrane fouling." Colloids and Surfaces A: Physicochemical and Engineering Aspects 138(2-3): 403-411.
- Yamamoto, K., M. Hiasa, et al. (1999). "Direct solid-liquid separation using hollow fiber membrane in an activated sludge aeration tank." Water Sci. Technol. 21: 43-54.
- Yang Xiao-Li, Song Hai-Liang, Lu Ji-Lai and Cheng Bing . 2010. "Influence of diatomite addition on membrane fouling and performance in a submerged membrane bioreactor" Bioresource Technology. 101 (July): 9178-9184.

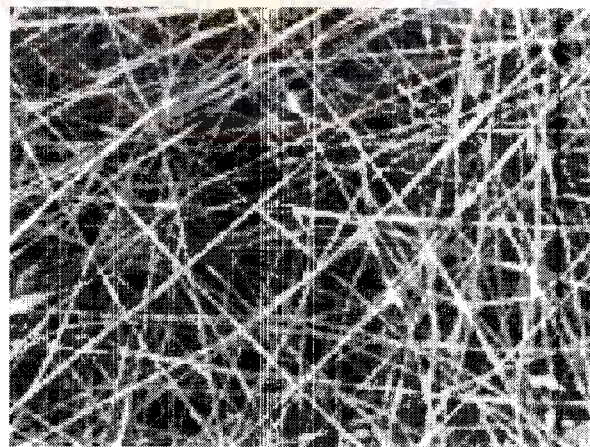
- Sharman R . 1998. Water and Wastewater Technology. LBCC : Activated Sludge [online] Available. <http://www.bcc.cc.or.us/process1/resource/asbasic/asbasic1.html>.
- Wisniewski, C. and A. Grasmick (1998). "Floc size distribution in a membrane bioreactor and consequences for membrane fouling." Colloids and Surfaces A: Physicochemical and Engineering Aspects 138(2-3): 403-411.
- Yamamoto, K., M. Hiasa, et al. (1999). "Direct solid-liquid separation using hollow fiber membrane in an activated sludge aeration tank." Water Sci. Technol. 21: 43-54.
- Yang Xiao-Li, Song Hai-Liang, Lu Ji-Lai and Cheng Bing . 2010. "Influence of diatomite addition on membrane fouling and performance in a submerged membrane bioreactor" Bioresource Technology. 101 (July): 9178-9184.

ภาคผนวก

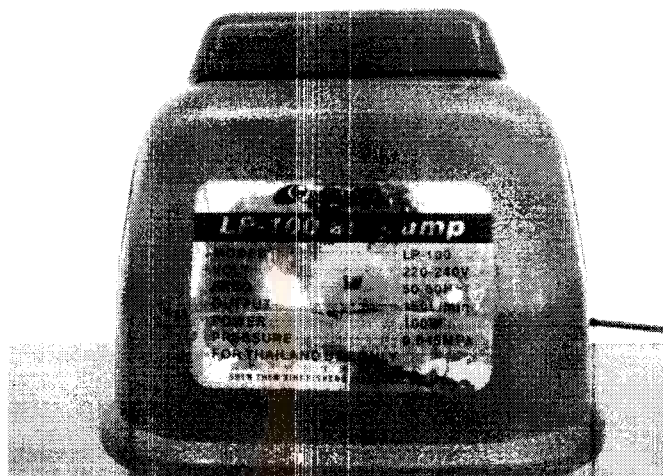
ก. 1 ภาพถ่ายเครื่องมือและอุปกรณ์ในศึกษา



รูปที่ ก.1 เมมเบรนแบบแผ่น



รูปที่ ก.2 PAN/CNT nanofibers



รูปที่ ก.3 บ้มอากาศ



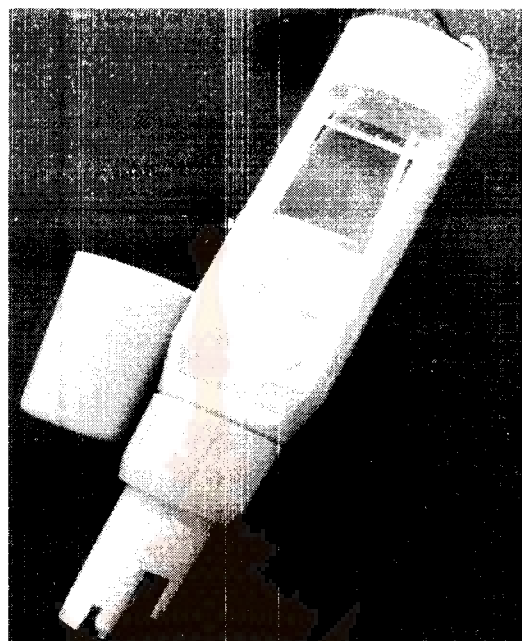
รูปที่ ก. 4 บ้มน้ำ



รูปที่ ก.5 Pressure guage



รูปที่ ก.6 Colorimeter ผลิตภัณฑ์ Hach analysis รุ่น DR/890



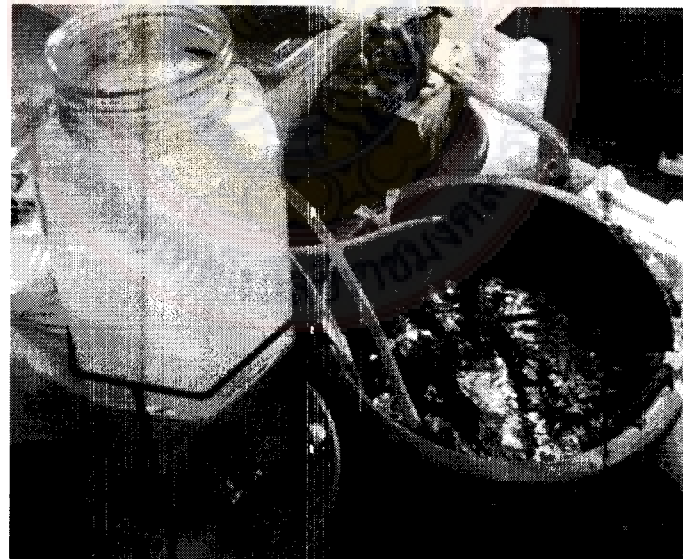
รูปที่ ก.7 เครื่อง Multi-Parameter แบบ Pocket ปากกา รุ่นPCS TestrTM 35



รูปที่ ก.8 UV-vis spectrophotometer ผลิตภัณฑ์ Thermo



รูปที่ ก.9 การสร้างถังปฏิกรณ์ชีวภาพเมมเบรนและติดตั้งระบบ



รูปที่ ก.10 ขั้นตอนการเลี้ยงหัวเชื้อจุลินทรีย์ก่อนถ่ายลงถังปฏิกรณ์ชีวภาพเมมเบรน

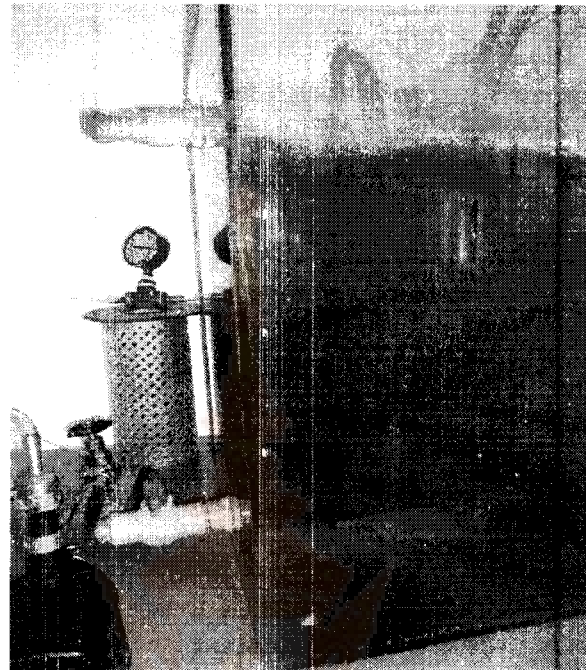
ก.2 ภาพการดำเนินการของระบบบำบัดน้ำเสีย



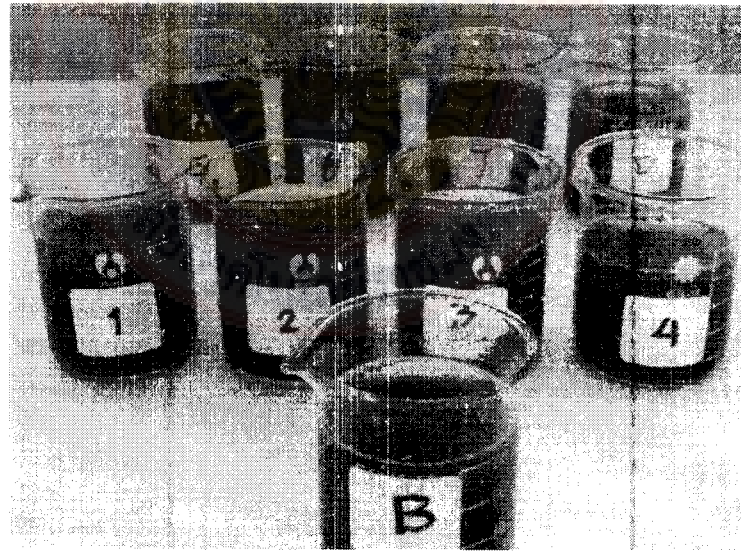
รูปที่ ก. 11 ถังปฏิกรรณ์ชีวภาพเมมเบรน



รูปที่ ก.12 ถังปฏิกรรณ์ชีวภาพเมมเบรนขณะให้อาหาร



รูปที่ ก.13 ถังปฏิกรณ์ชีวภาพเมมเบรนโดยมีการป้อนน้ำเสียเข้าสู่ระบบ



รูปที่ ก.14 ลักษณะของเหลวในสภาพการทดลองต่างๆที่เก็บจากถังปฏิกรณ์เมมเบรนรวมด้วย



รูปที่ ก. 15 รูปชี้ایเป็นน้ำที่ผ่านการกรองจากระบบลังปฏิกรณ์เมมเบรนจมตัว รูบกลางเป็นน้ำที่มีการผ่านการกรองจากระบบลังปฏิกรณ์เมมเบรนจมตัวที่มีเติมน้ำโนไฟเบอร์ และรูปขวาเป็นน้ำกลั่น



ภาคผนวก ข

หลักในการวิเคราะห์

ข.1 การเก็บตัวอย่าง (Sampling and Storage)

ในการเก็บตัวอย่างในแต่ละครั้ง ขาดหรืออุปกรณ์ที่ใช้สำหรับการเก็บตัวอย่างต้องดูแลให้ดี
ต้องมีความสะอาดไม่มีสารหรือสิ่งใดปนเปื้อน ในการเก็บตัวอย่างในแต่ละครั้งควรทำการวิเคราะห์
ทันทีเนื่องจากตัวอย่างเมื่อเก็บไว้เป็นเวลาสามารถของกราวิเคราะห์อาจเกิดความคลาดเคลื่อนได้

ข.2 การวิเคราะห์สารโพลิเมอร์ที่ละลายน้ำ

นำบริเวณส่วนที่สามารถหนีบได้ด้วยเครื่องหมุนหนีบด้วยความเร็วรอบ 2000 รอบ/นาที เป็นเวลา 30 นาที นำตากอนส่วนที่สนใจไปวิเคราะห์โดยตีนและคาร์บอไซเดรต

ข. 2.1 การวิเคราะห์สารโพลิเมอร์ละลายน้ำประเภทโปรตีน

การเตรียมสาร A

Na-K tartrate • 4H ₂ O	2 g
Na ₂ CO ₃	100 g
NaOH 1 N	500 ml

การเตรียมสาร B

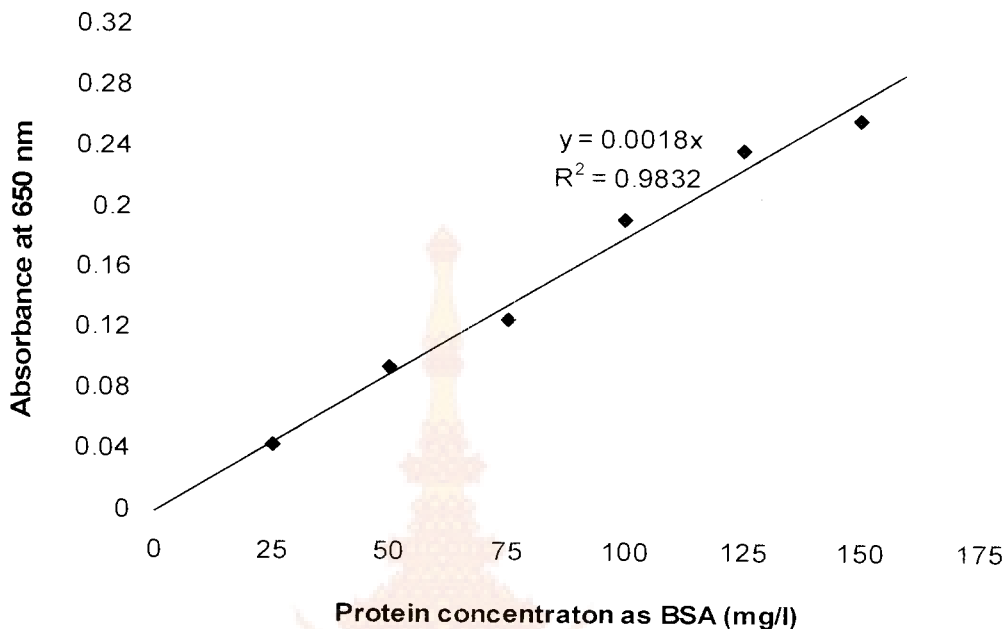
Na-K tartrate • 4H ₂ O	2 g
CuSO ₄ • 5H ₂ O	1 g
H ₂ O	90 ml
NaOH 1 N	10 ml

การเตรียมสาร C

เจือจาง Folin-Ciocalteau reagent: น้ำ (1:2)

วิธีการวิเคราะห์

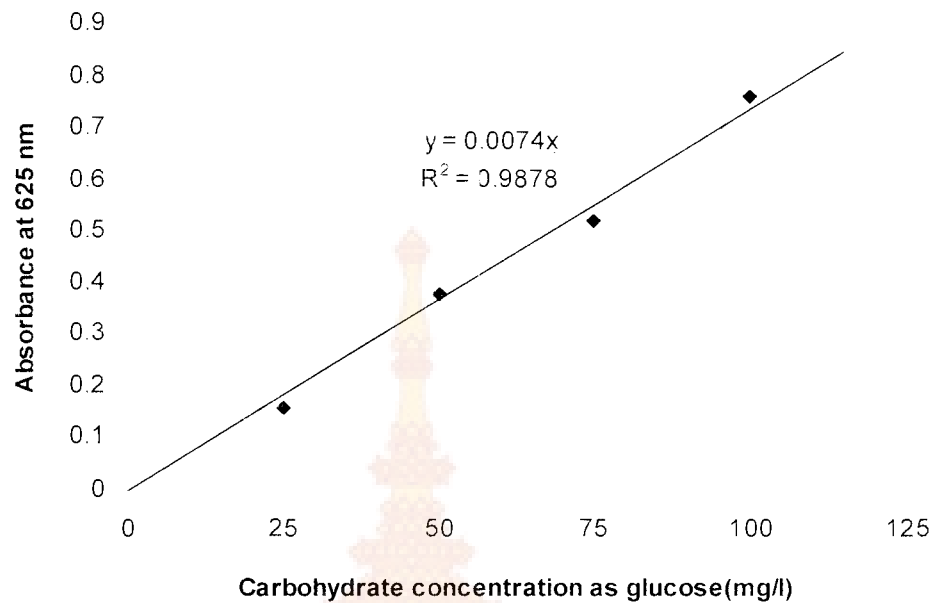
1. นำตัวอย่างมาใส่หลอดทดลองบริมาตร 1 ml ใส่สาร A 0.9 ml
2. นำไปต้มที่อุณหภูมิ 50 °C เป็นเวลา 10 นาที เติมสาร B 0.1 ml ที่ปรับ 10 ml ให้
3. เติมสาร C อย่างรวดเร็ว ทิ้งไว้ 10 นาที นำไปวิเคราะห์ด้วยเครื่อง UV-vis spectrophotometer ที่ความยาวคลื่น 650 nm
4. ค่าที่ได้ไปเปรียบเทียบกับกราฟมาตรฐาน CALIBRATION CURVES



กราฟ ข.1 กราฟมาตรฐานประเภทโปรตีน

ข. 2.2 การวิเคราะห์สารโพลิเมอร์ละลายเข้าประเภทการปฏิโภเดรต
วิธีการวิเคราะห์

1. นำน้ำตัวอย่างใส่ในหลอดทดลองปริมาตร 1 ml และใส่ Anthrone ปริมาตร 2 ml
2. นำไปต้มที่อุณหภูมิ 50 °C เป็นเวลา 20 นาที ทิ้งให้เย็นแล้วนำไปวิเคราะห์ด้วยเครื่อง UV-vis spectrophotometer ที่ความยาวคลื่น 625 nm
3. ค่าที่ได้ไปเปรียบเทียบกับกราฟมาตรฐาน CALIBRATION CURVES



กราฟ ข.2 กราฟมาตรฐานประเภทการปีโไฮเดรต